

50376  
1990  
345

**USTL**  
FLANDRES ARTOIS



50376  
1990  
345

W

**LABORATOIRE D'INFORMATIQUE FONDAMENTALE DE LILLE**

N° d'ordre: 551

## THESE

présentée à

L'UNIVERSITE DES SCIENCES ET TECHNIQUES DE LILLE  
FLANDRES ARTOIS

pour obtenir le titre de

**DOCTEUR en INFORMATIQUE**

par

**Ahmed SERHROUCHNI**

**ETUDE D'ARCHITECTURES PARALLELES A  
BASE DE  
PROCESSEURS GRAPHIQUES SPECIALISES**

THESE NON CORRIGÉE

Thèse soutenue le 28 Juin 1990 devant la commission d'Examen

Membres du jury

Mr. V. CORDONNIER	Président et Directeur de thèse
Mr. G. FONTENIER	Rapporteur
Mr. B. TOURSEL	Rapporteur
Mr. M. Mériaux	Examineur

B.U. LILLE I



D 030 084389 8

UNIVERSITE DES SCIENCES  
ET TECHNIQUES DE LILLE  
FLANDRES ARTOIS

DOYENS HONORAIRES DE L'ANCIENNE FACULTE DES SCIENCES

M.H. LEFEBVRE, M. PARREAU.

PROFESSEURS HONORAIRES DES ANCIENNES FACULTES DE DROIT  
ET SCIENCES ECONOMIQUES, DES SCIENCES ET DES LETTRES

MM. ARNOULT, BONTE, BROCHARD, CHAPPELON, CHAUDRON, CORDONNIER, DECUYPER,  
DEHEUVELS, DEHORS, DION, FAUVEL, FLEURY, GERMAIN, GLACET, GONTIER, KOURGANOFF,  
LAMOTTE, LASSERRE, LELONG, LHOMME, LIEBAERT, MARTINOT-LAGARDE, MAZET, MICHEL,  
PEREZ, ROIG, ROSEAU, ROUELLE, SCHILTZ, SAVARD, ZAMANSKI, Mes BEAUJEU, LELONG.

PROFESSEUR EMERITE

M. A. LEBRUN

ANCIENS PRESIDENTS DE L'UNIVERSITE DES SCIENCES ET TECHNIQUES DE LILLE

MM. M. PAREAU, J. LOMBARD, M. MIGEON, J. CORTOIS.

PRESIDENT DE L'UNIVERSITE DES SCIENCES ET TECHNIQUES  
DE LILLE FLANDRES ARTOIS

M. A. DUBRULLE.

PROFESSEURS - CLASSE EXCEPTIONNELLE

M. CONSTANT Eugène	Electronique
M. FOURET René	Physique du solide
M. GABILLARD Robert	Electronique
M. MONTREUIL Jean	Biochimie
M. PARREAU Michel	Analyse
M. TRIDOT Gabriel	Chimie Appliquée

PROFESSEURS - 1ère CLASSE

M. BACCHUS Pierre	Astronomie
M. BIAYS Pierre	Géographie
M. BILLARD Jean	Physique du Solide
M. BOILLY Bénoni	Biologie
M. BONNELLE Jean-Pierre	Chimie-Physique
M. BOSCOQ Denis	Probabilités
M. BOUGHON Pierre	Algèbre
M. BOURIQUET Robert	Biologie Végétale
M. BREZINSKI Claude	Analyse Numérique

M. BRIDOUX Michel  
 M. CELET Paul  
 M. CHAMLEY Hervé  
 M. COEURE Gérard  
 M. CORDONNIER Vincent  
 M. DAUCHET Max  
 M. DEBOURSE Jean-Pierre  
 M. DHAINAUT André  
 M. DOUKHAN Jean-Claude  
 M. DYMENT Arthur  
 M. ESCAIG Bertrand  
 M. FAURE Robert  
 M. FOCT Jacques  
 M. FRONTIER Serge  
 M. GRANELLE Jean-Jacques  
 M. GRUSON Laurent  
 M. GUILLAUME Jean  
 M. HECTOR Joseph  
 M. LABLACHE-COMBIER Alain  
 M. LACOSTE Louis  
 M. LAVEINE Jean-Pierre  
 M. LEHMANN Daniel  
 Mme LENOBLE Jacqueline  
 M. LEROY Jean-Marie  
 M. LHOMME Jean  
 M. LOMBARD Jacques  
 M. LOUCHEUX Claude  
 M. LUCQUIN Michel  
 M. MACKÉ Bruno  
 M. MIGEON Michel  
 M. PAQUET Jacques  
 M. PETIT Francis  
 M. POUZET Pierre  
 M. PROUVOST Jean  
 M. RACZY Ladislas  
 M. SALMER Georges  
 M. SCHAMPS Joel  
 M. SEGUIER Guy  
 M. SIMON Michel  
 Mlle SPIK Geneviève  
 M. STANKIEWICZ François  
 M. TILLIEU Jacques  
 M. TOULOTTE Jean-Marc  
 M. VIDAL Pierre  
 M. ZEYTOUNIAN Radyadour

Chimie-Physique  
 Géologie Générale  
 Géotechnique  
 Analyse  
 Informatique  
 Informatique  
 Gestion des Entreprises  
 Biologie Animale  
 Physique du Solide  
 Mécanique  
 Physique du Solide  
 Mécanique  
 Métallurgie  
 Ecologie Numérique  
 Sciences Economiques  
 Algèbre  
 Microbiologie  
 Géométrie  
 Chimie Organique  
 Biologie Végétale  
 Paléontologie  
 Géométrie  
 Physique Atomique et Moléculaire  
 Spectrochimie  
 Chimie Organique Biologique  
 Sociologie  
 Chimie Physique  
 Chimie Physique  
 Physique Moléculaire et Rayonnements Atmosph.  
 E.U.D.I.L.  
 Géologie Générale  
 Chimie Organique  
 Modélisation - calcul Scientifique  
 Minéralogie  
 Electronique  
 Electronique  
 Spectroscopie Moléculaire  
 Electrotechnique  
 Sociologie  
 Biochimie  
 Sciences Economiques  
 Physique Théorique  
 Automatique  
 Automatique  
 Mécanique

#### PROFESSEURS - 2ème CLASSE

M. ALLAMANDO Etienne  
 M. ANDRIES Jean-Claude  
 M. ANTOINE Philippe  
 M. BART André  
 M. BASSERY Louis

Composants Electroniques  
 Biologie des organismes  
 Analyse  
 Biologie animale  
 Génie des Procédés et Réactions Chimiques

Mme BATTIAU Yvonne  
M. BEGUIN Paul  
M. BELLET Jean  
M. BERTRAND Hugues  
M. BERZIN Robert  
M. BKOUICHE Rudolphe  
M. BODARD Marcel  
M. BOIS Pierre  
M. BOISSIER Daniel  
M. BOIVIN Jean-Claude  
M. BOUQUELET Stéphane  
M. BOUQUIN Henri  
M. BRASSELET Jean-Paul  
M. BRUYELLE Pierre  
M. CAPURON Alfred  
M. CATTEAU Jean-Pierre  
M. CAYATTE Jean-Louis  
M. CHAPOTON Alain  
M. CHARET Pierre  
M. CHIVE Maurice  
M. COMYN Gérard  
M. COQUERY Jean-Marie  
M. CORIAT Benjamin  
Mme CORSIN Paule  
M. CORTOIS Jean  
M. COUTURIER Daniel  
M. CRAMPON Norbert  
M. CROSNIER Yves  
M. CURGY Jean-Jacques  
Mlle DACHARRY Monique  
M. DEBRABANT Pierre  
M. DEGAUQUE Pierre  
M. DEJAEGER Roger  
M. DELAHAYE Jean-Paul  
M. DELORME Pierre  
M. DELORME Robert  
M. DEMUNTER Paul  
M. DENEL Jacques  
M. DE PARIS Jean Claude  
M. DEPREZ Gilbert  
M. DERIEUX Jean-Claude  
Mlle DESSAUX Odile  
M. DEVRAINNE Pierre  
Mme DHAINAUT Nicole  
M. DHAMELINCOURT Paul  
M. DORMARD Serge  
M. DUBOIS Henri  
M. DUBRULLE Alain  
M. DUBUS Jean-Paul  
M. DUPONT Christophe  
Mme EVRARD Micheline  
M. FAKIR Sabah  
M. FAUQUAMBERGUE Renaud

Géographie  
Mécanique  
Physique Atomique et Moléculaire  
Sciences Economiques et Sociales  
Analyse  
Algèbre  
Biologie Végétale  
Mécanique  
Génie Civil  
Spectroscopie  
Biologie Appliquée aux enzymes  
Gestion  
Géométrie et Topologie  
Géographie  
Biologie Animale  
Chimie Organique  
Sciences Economiques  
Electronique  
Biochimie Structurale  
Composants Electroniques Optiques  
Informatique Théorique  
Psychophysiologie  
Sciences Economiques et Sociales  
Paléontologie  
Physique Nucléaire et Corpusculaire  
Chimie Organique  
Tectonique Géodynamique  
Electronique  
Biologie  
Géographie  
Géologie Appliquée  
Electronique  
Electrochimie et Cinétique  
Informatique  
Physiologie Animale  
Sciences Economiques  
Sociologie  
Informatique  
Analyse  
Physique du Solide - Cristallographie  
Microbiologie  
Spectroscopie de la réactivité Chimique  
Chimie Minérale  
Biologie Animale  
Chimie Physique  
Sciences Economiques  
Spectroscopie Hertzienne  
Spectroscopie Hertzienne  
Spectrométrie des Solides  
Vie de la firme (I.A.E.)  
Génie des procédés et réactions chimiques  
Algèbre  
Composants électroniques

M. FONTAINE Hubert  
M. FOUQUART Yves  
M. FOURNET Bernard  
M. GAMBLIN André  
M. GLORIEUX Pierre  
M. GOBLOT Rémi  
M. GOSSELIN Gabriel  
M. GOUDMAND Pierre  
M. GOURIEROUX Christian  
M. GREGORY Pierre  
M. GREMY Jean-Paul  
M. GREVET Patrice  
M. GRIMBLOT Jean  
M. GUILBAULT Pierre  
M. HENRY Jean-Pierre  
M. HERMAN Maurice  
M. HOUDART René  
M. JACOB Gérard  
M. JACOB Pierre  
M. Jean Raymond  
M. JOFFRE Patrick  
M. JOURNEL Gérard  
M. KREMBEL Jean  
M. LANGRAND Claude  
M. LATTEUX Michel  
Mme LECLERCQ Ginette  
M. LEFEBVRE Jacques  
M. LEFEBVRE Christian  
Melle LEGRAND Denise  
Melle LEGRAND Solange  
M. LEGRAND Pierre  
Mme LEHMANN Josiane  
M. LEMAIRE Jean  
M. LE MAROIS Henri  
M. LEROY Yves  
M. LESENNE Jacques  
M. LHENAFF René  
M. LOCQUENEUX Robert  
M. LOSFELD Joseph  
M. LOUAGE Francis  
M. MAHIEU Jean-Marie  
M. MAIZIERES Christian  
M. MAURISSON Patrick  
M. MESMACQUE Gérard  
M. MESSELYN Jean  
M. MONTEL Marc  
M. MORCELLET Michel  
M. MORTREUX André  
Mme MOUNIER Yvonne  
Mme MOUYART-TASSIN Annie Françoise  
M. NICOLE Jacques  
M. NOTELET François  
M. PARSY Fernand

Dynamique des cristaux  
Optique atmosphérique  
Biochimie Sturcturale  
Géographie urbaine, industrielle et démog.  
Physique moléculaire et rayonnements Atmos.  
Algèbre  
Sociologie  
Chimie Physique  
Probabilités et Statistiques  
I.A.E.  
Sociologie  
Sciences Economiques  
Chimie Organique  
Physiologie animale  
Génie Mécanique  
Physique spatiale  
Physique atomique  
Informatique  
Probabilités et Statistiques  
Biologie des populations végétales  
Vie de la firme (I.A.E.)  
Spectroscopie hertzienne  
Biochimie  
Probabilités et statistiques  
Informatique  
Catalyse  
Physique  
Pétrologie  
Algèbre  
Algèbre  
Chimie  
Analyse  
Spectroscopie hertzienne  
Vie de la firme (I.A.E.)  
Composants électroniques  
Systèmes électroniques  
Géographie  
Physique théorique  
Informatique  
Electronique  
Optique-Physique atomique  
Automatique  
Sciences Economiques et Sociales  
Génie Mécanique  
Physique atomique et moléculaire  
Physique du solide  
Chimie Organique  
Chimie Organique  
Physiologie des structures contractiles  
Informatique  
Spectrochimie  
Systèmes électroniques  
Mécanique

M. PECQUE Marcel  
M. PERROT Pierre  
M. STEEN Jean-Pierre

Chimie organique  
Chimie appliquée  
Informatique

## **REMERCIEMENTS**

Je tiens à remercier ici:

Monsieur Vincent CORDONNIER, Professeur à l'Université des Sciences et Techniques de Lille Flandres-Artois, qui a bien voulu présider ce jury, m'a proposé ce sujet et m'a judicieusement conseillé tout au long de l'évolution de ce travail.

Messieurs Guy FONTENIER, Professeur à Télécom Paris, et Bernard TOURSEL, Professeur à l'Ecole Universitaire d'Ingénieurs de Lille, rapporteurs de cette thèse, qui m'ont fait l'honneur de consacrer leur temps à l'examen de ce travail,

Monsieur Michel MERIAUX, Chargé de recherche au C.N.R.S., qui m'a fait l'honneur de participer à ce jury, et qui n'a pas hésité à me fournir conseils et soutien scientifique,

J'ai apprécié l'ambiance agréable entretenue par les membres du L.I.F.L., et je remercie Monsieur Henri GLANC qui a reproduit avec diligence ce document.

Enfin, mes remerciements vont à mes parents, mes frères et soeurs, ma cousine Bouchra, mon cousin Boucif, et mes amis(es) pour leur soutien.



# PLAN

## **PLAN**

Chapitre I: Généralités	25
I - Introduction	29
II - Système Graphique	29
III - Système de Synthèse d'Images	30
A - Aspect Matériel	30
1 - Processeur Hôte	31
2 - Terminal	31
a - Unités d'Affichage	31
b - Processeur Graphique	31
3 - Unités de Stockage	32
4 - Logiciels Graphiques	32
5 - Unités de Communication	32
a - Stylo, Photostyle	33
b - Manche à Balai, Boule Roulante	33
c - Clavier de Fonctions	33
d - Tablette à Numériser, Digitaliseur	33

B - Aspect Fonctionnel	33
1 - Module Pilote	34
2 - Module Graphique	34
3 - Module Vidéo	35
IV - l'Accroissement des Performances	35
A - les Circuits Spécialisés	35
B - le Parallélisme	37
1 - Par Partitionnement de l'Espace Objet	37
2 - Par Partitionnement de l'Espace image	39
3 - Par Découpage du Processus Opératoire	43
V - Conclusion	45

Chapitre II: Processeurs Graphiques Spécialisés	47
I - Introduction	51
II - Processeurs graphiques spécialisés	52
1 - INTEL 82786	52
2 - TMS 34010	54
3 - AM95C60	57
4 - RGP	58
5 - AGDC	59
6 - Conclusion	59
III - Les architectures matérielles	59
A - la structures logique	59
1 - L'organisation hierarchique	60
2 - L'organisation non hierarchique	60

B - La structure physique	60
1 - L'outil de communication	60
2 - La topologie d'interconnexion	61
C - Le mode d'interaction	65
1 - Le couplage fort	66
2 - Le couplage faible	67
3 - Le couplage modéré	67
D - Le mode de fonctionnement	67
1 - Le mode "SISD"	67
2 - Le mode "SIMD"	68
3 - Le mode "MIMD"	68
4 - Le mode "MISD"	69
V - Conclusion	69

Chapitre III: Etude de la parallélisation	71
I - Introduction	75
II - Le parallélisme	75
A - Le pipeline	76
B - Le partage géométrique	76
1 - Premier cas	78
2 - Deuxième cas	84
3 - Troisième cas	89
C - Le partage objet	91
III - Conclusion	92

Chapitre IV: Partage Géométrique	93
I - Introduction	97
II - Le tracé de segment	97
1 - Algorithme du TMS 34010	98
2 - Application à la configuration (2x2)	101
3 - Application à la configuration (4x4)	108
4 - Performances	113
III - Le remplissage	113
A - Introduction	113
1 - Coloriage	114
2 - Remplissage	114
3 - Hachurage	114

B - Remplissage de tâches	115
C - Remplissage dans l'espace utilisateur	117
IV - Conclusion	120



Chapitre V: Partage Objet	121
I - Introduction	125
II - Etude du partage objet	127
1 - Partage suivant le type d'objets	127
2 - Partage suivant les zones d'objets	129
3 - Partage suivant l'arborescence d'objets	132
III - Etude du partage suivant l'arborescence d'objets	135
1 - Problème de cohérence (composition)	136
2 - Processeur de cohérence	143
3 - Fonctionnement du processeur de cohérence	146
4 - Processeur maître	148
5 - Processeur objet	149
6 - Représentation des objets	149

7 - Répartition des tâches élémentaires	151
8 - Allocation de la mémoire de travail	157
9 - Communication	159
IV - Evaluation	159
V - Conclusion	163

# CHAPITRE I

## GENERALITES

**SOMMAIRE**

I - Introduction	29
II - Système Graphique	29
III - Système de Synthèse d'Images	30
A - Aspect Matériel	30
1 - Processeur Hôte	31
2 - Terminal	31
a - Unités d'Affichage	31
b - Processeur Graphique	31
3 - Unités de Stockage	32
4 - Logiciels Graphiques	32
5 - Unités de Communication	32
a - Stylo, Photostyle	33
b - Manche à Balai, Boule Roulante	33
c - Clavier de Fonctions	33
d - Tablette à Numériser, Digitaliseur	33

B - Aspect Fonctionnel	33
1 - Module Pilote	34
2 - Module Graphique	34
3 - Module Vidéo	35
IV - l'Accroissement des Performances	35
A - les Circuits Spécialisés	35
B - le Parallélisme	37
1 - Par Partitionnement de l'Espace Objet	37
2 - Par Partitionnement de l'Espace image	39
3 - Par Découpage du Processus Opérateur	43
V - Conclusion	45

## I - INTRODUCTION:

Un système graphique peut être défini comme étant l'ensemble des moyens informatiques mis en oeuvre afin d'assurer le traitement, le stockage et la visualisation des informations concernant les "images", et les "dessins" appelés aussi informations graphiques. Cette appellation est prise ici dans son sens le plus large, car une "image" est définie sous des formes codées différentes depuis sa création (par l'intermédiaire d'un clavier alpha-numérique par exemple) puis son passage par les différentes chaînes de traitement (sous d'autres formes codées éventuellement) jusqu'à sa visualisation (sous forme d'intensités lumineuses sur un écran de télévision par exemple).

## II - SYSTEME GRAPHIQUE:

On peut distinguer deux types de systèmes graphiques:

\* système de synthèse d'images:

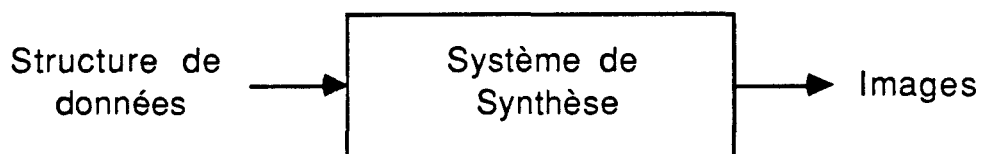


Fig 1

L'image constitue pour ces systèmes une finalité.

\* système de traitement d'images:

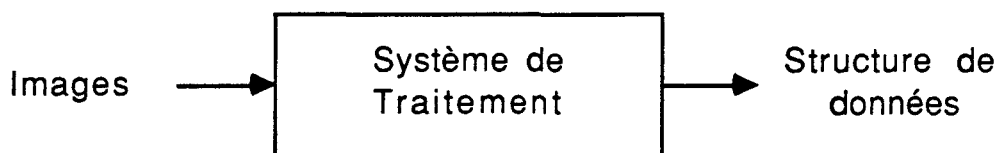


Fig 2

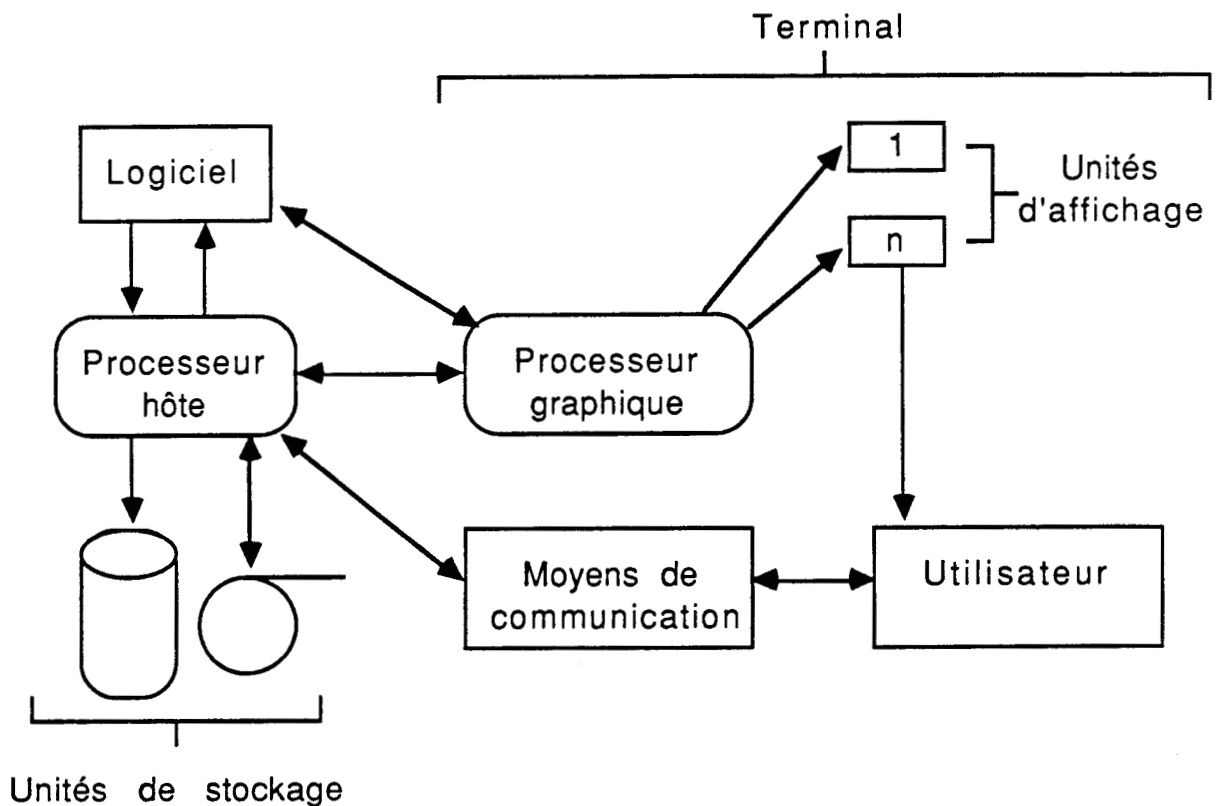
L'image constitue pour ces systèmes un support d'information.

Nous axons ce travail sur la synthèse et plus précisément sur les aspects architecturaux de cette synthèse.

### III - SYSTEME DE SYNTHÈSE D'IMAGES:

#### A - ASPECT MATERIEL:

La structure d'un système de synthèse d'images est la suivante ([MER 79], [MOR 76]):



### STRUCTURE D'UN SYSTEME DE SYNTHÈSE D'IMAGES

Fig 3

- \* un processeur hôte
- \* un terminal pour la visualisation des images
- \* des unités de stockage pour mémoriser les informations du système graphique
- \* des logiciels pour gérer les programmes utilisateurs et offrir des fonctions et des primitives de programmation
- \* des unités de dialogue pour assurer la communication entre utilisateur et le système graphique

### **1 - Processeur hôte:**

Il permet de décharger le processeur graphique des traitements informatiques plus classiques tels que: gston de bases de données, compilation, gestion de fichiers, ...etc

### **2 - Terminal:**

Il se compose des unités d'affichage et d'un processeur graphique.

#### **a - Unités d'affichage:**

Ce sont les moyens physiques d'affichage des images ou dessins comme les imprimantes, les tables traçantes, les écrans à tubes cathodiques ...etc

#### **b - Processeur graphique:**

C'est la partie intelligente du terminal. Il s'occupe de:

- \* La gestion de la mémoire de trame (cas d'un balayage télévision) ou de la liste de visualisation (cas d'un affichage en mode cavalier)



\* L'interprétation des commandes issues de l'utilisateur et des unités de traitement, et de l'exécution de ces dernières sur l'image à visualiser

\* Eventuellement du transfert entre les mémoires de rafraîchissement et les unités d'affichage (cas de la table traçante: initialisation des programmes canaux assurant la sortie sur table traçante ...)

C'est pourquoi il est nécessaire que le processeur graphique soit très rapide, performant et spécialisé, c'est l'une des raisons pour lesquelles plusieurs applications actuelles utilisent des processeurs microprogrammables.

### **3 - Unités de stockage:**

Ce sont les mémoires de masse du système. Elles permettent la mémorisation d'ensembles importants d'informations (bibliothèques de programmes, compilateurs, bases de données,...etc). Parmi celles là on trouve les disques, les bandes magnétiques, disquettes, vidéodisques, bandes magnétiques vidéo ...

### **4 - Logiciels graphiques:**

Ils regroupent toutes les fonctions programmées du système.

### **5 - Unités de communication:**

Ils permettent le dialogue par l'intermédiaire de fonctions de programmation et de commande (commandes de chargement et d'exécution de programmes, mise au point, ...) et de transmissions de données (transmissions de coordonnées ...).

Ces systèmes sont soit:

- \* des moyens d'entrées-sorties classiques (claviers alphanumériques, imprimantes, unités de disquettes, ...)
- \* des moyens spécifiques à l'informatique graphique, comme:

**a - Stylo , Phostyle:**

Ils détectent le passage du spot lors du balayage et fournissent ses coordonnées ou permettent d'identifier un objet.

**b - Manche à balai , Boule roulante:**

Ils permettent de désigner un point sur l'écran. Ils sont associés à un marqueur (flèche ou réticule) sur l'écran.

**c - Clavier de fonctions:**

C'est un boîtier de touches relié au système graphique. Chaque touche peut être programmée pour réaliser une fonction spécifique.

**d - Tablette à numériser , Digitaliseur:**

Ils permettent la transmission, au processeur, des coordonnées du crayon avec lequel on dessine.

**B - ASPECT FONCTIONNEL:**

Toute machine de synthèse d'images est constituée de trois modules principaux (d'après la classification de Martinez [MAR 86]): un module pilote, un module graphique, un module vidéo. Le premier appartient au monde des logiciels, le deuxième à celui des interfaces et le dernier à celui de la vidéo. Le passage d'un monde à l'autre s'effectue par l'intermédiaire de deux frontières que sont le bus de l'ordinateur d'une part, la mémoire de trame d'autre part.

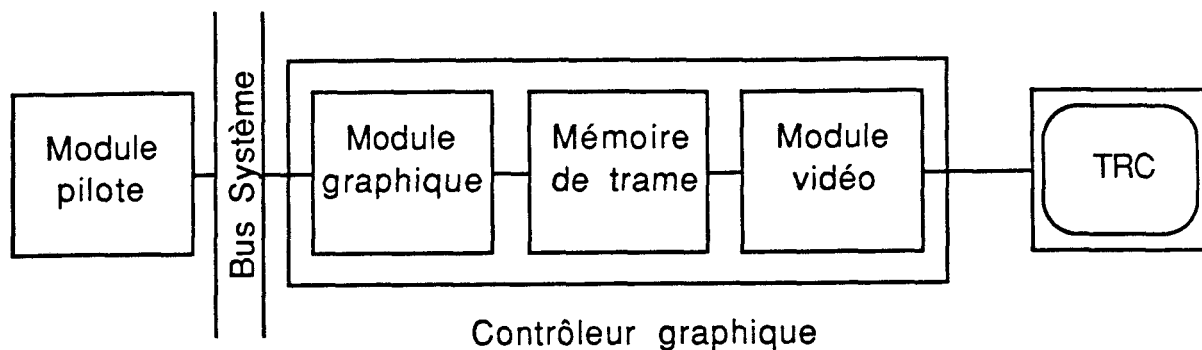


Fig 4

Nous allons décrire, brièvement, les fonctionnalités de chacun des trois modules.

### FONCTIONNALITES DES MODULES:

#### 1 - MODULE PILOTE:

Il prend en charge la gestion des structures de données, les calculs géométriques, la projection perspective dans le plan de l'image, le coupage des objets et les calculs permettant de déterminer la couleur des points affichés. Il s'occupe également du pilotage du module graphique. Ce module possède au moins un processeur d'usage général, mais il peut en contenir plusieurs qui se répartissent alors les tâches générales et les fonctions purement graphiques.

#### 2 - MODULE GRAPHIQUE:

Inversement au module pilote, le module graphique traite essentiellement des objets 2D. Il s'occupe de la génération des objets graphiques élémentaires (droites, cercles, caractères, remplissage de polygones, ...) dans la mémoire de trame, de l'exécution d'algorithmes de base (algorithme du tampon de

profondeur pour l'élimination des parties cachées, algorithme d'interpolation bilinéaire de Gouraud pour la simulation de surfaces gauches).

### **3 - MODULE VIDEO:**

Mis à part la conversion numérique analogique, la génération des signaux de synchronisation et la gestion des priorités éventuelles entre plusieurs images. Les traitements, réalisés par ce module, doivent être effectués pixel par pixel, au rythme du balayage vidéo (moins de 74 ns par pixel pour une image compatible vidéo), ce qui impose, pratiquement, une réalisation en logique câblée. Parmi les fonctions réalisées par le module vidéo sur certaines machines, on cite: la modification des couleurs des pixels, le fenêtrage, le zoom et la translation de l'image.

Notre travail porte sur la parallélisation du module graphique (partie qui génère les objets graphiques élémentaires). Pour valider cette parallélisation, on s'intéressera plus particulièrement aux algorithmes typiques qui sont le tracé de segment et le remplissage.

## **IV - L'ACCROISSEMENT DES PERFORMANCES:**

Pour tenter d'abaisser, d'une manière sensible, les temps de réalisation des images de synthèse, on s'oriente vers l'idée de chercher de nouvelles architectures de machines. On distingue deux directions principales de recherche sur ces nouvelles architectures: les circuits spécialisés et le parallélisme.

### **A - LES CIRCUITS SPECIALISES:**

Depuis quelques années, on trouve sur le marché des circuits spécialisés à très grand taux d'intégration destinés à l'infographie. Ces circuits, permettant de construire à un coût moindre des systèmes graphiques plus puissants, peuvent remplacer les classiques implémentations matérielles infographiques. Généralement, les circuits spécialisés sont utilisés soit comme des

modules spécialisés, soit comme des modules graphiques. Quelques exemples d'architectures graphiques à base de circuits spécialisés: "Geometry Engine" et "Pixel-Planes".

### Geometry Engine [CLA 80], [CLA 82]:

C'est un circuit spécialisé qui effectue quelques opérations géométriques courantes telle que le fenêtrage (Clipping) par un prisme de vision, les transformations affines définies à l'aide d'une matrice 4X4, et le changement d'échelle, simultanément avec la transformation perspective, dans le cas 3D. Il se compose de quatre unités identiques chacune possédant un octet pour l'exposant et vingt bits pour la mantisse. Il peut effectuer les opérations en virgule flottante, avec une structure simple de cinq éléments: une UAL, trois registres, et une pile.

### Pixel-Planes [FUC 81]:

Ce circuit spécialisé se compose d'un pré-processeur, qui convertit les données polygonales dans une forme adéquate, et d'un système de cellules-mémoires à raison d'une par pixel. Il est prévu pour évaluer simultanément les valeurs d'une fonction linéaire  $F(x,y)=ax+by+c$  pour tous les pixels  $(x,y)$  de la mémoire d'image. Chaque cellule-mémoire possède une UAL d'un bit, un bit d'inhibition qui sert de masque et une certaine quantité de mémoires stockant la valeur de la dernière fonction  $F(x,y)$  calculée, la couleur et la profondeur actuelles du pixel. Ceci permet d'exécuter rapidement les procédures graphiques les plus coûteuses: remplissage des polygones, élimination des parties cachées par l'algorithme du tampon en Z, lissage de type Gouraud en ramenant tous ces problèmes au calcul d'une certaine fonction linéaire  $F(x,y)$  en chaque pixel  $(x,y)$ . Ces procédures sont effectuées polygone par polygone. Signalons, l'existence d'une extension de Pixel-Planes, appelée Pixel-Powers, pouvant évaluer des fonctions quadratiques de forme  $axx+bxy+cyy+dx+ey+f$  simultanément pour chaque pixel  $(x,y)$ .

## B - LE PARALLELISME:

L' idée principale du parallélisme est de découper la tâche de la génération d'une image en de multiples sous-tâches, chaque sous-tâche étant traité par un processeur en même temps que les autres. A partir de ce principe, on distingue trois directions de recherche pour la parallélisation en synthèse d'images:

### 1 - Par partitionnement de l'espace objet (Partage objet):

On découpe la scène en sous-espaces, chacun étant traité par un processeur. Parmi les réalisations répondant à ce principe, on trouve:

#### Machine d'Ullner [ULL 83]:

C'est une machine pipeline. La scène est supposée constituée d'objets polyédriques, chaque polygone possédant son propre processeur. Comme l'algorithme de visualisation utilisé est celui du tracé de rayons, chaque processeur reçoit un rayon et calcule le point d'intersection, s'il existe, avec le polygone qui lui est associé.

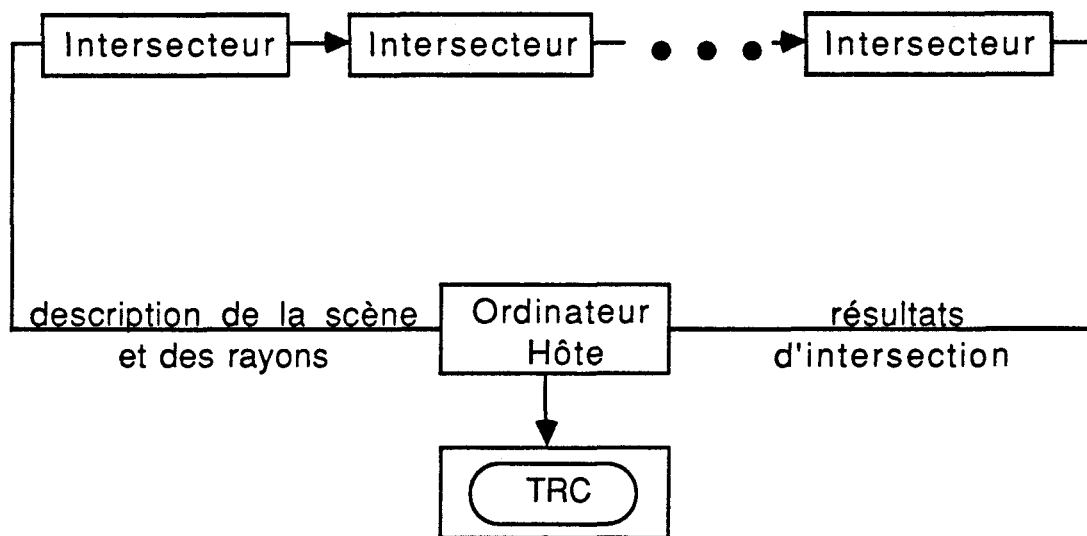


Fig 5

**Machine de Weinberg:**

Elle se compose de trois parties fonctionnelles:

- Un ensemble de processeurs objet qui, traitent chacun un trapèze (avec deux bords horizontaux).
- Un ensemble de comparateurs, montés en pipeline, pour construire une liste ordonnée de l'image à afficher.
- Un ensemble de filtres qui, vont calculer la couleur d'un pixel, à partir d'une sous-liste ordonnée en Z.

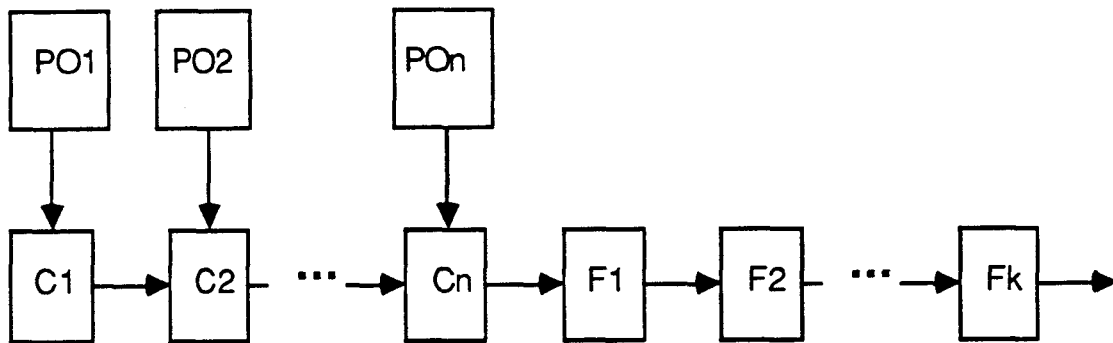


Fig 6

**Machine de l'Université de Calgary [CLE 83]:**

Elle est constituée d'un réseau matriciel de l'ordre de 10x10 processeurs. La scène est découpée en volumes rectangulaires élémentaires, associés à chacun des N processeurs. Chaque processeur stocke l'information concernant les surfaces qui intersectent le sous-espace dont il assure le contrôle. Comme l'algorithme de visualisation utilisé est le tracé de rayons, chaque rayon est transmis d'un processeur à un autre de la même manière que le rayon lumineux traverse la scène. Quand un processeur reçoit

le rayon, il teste si celui-ci intersecte les surfaces internes à son sous-espace.

### Machine de Dippe et Swensen [DIP 84]:

Elle est assez proche de celle de l'Université de Calgary. La différence fondamentale provient du fait que le découpage de la scène est adoptif, de façon à uniformiser quelque peu la charge de travail de chaque processeur.

### 2 - Par partitionnement de l'espace image (Partage image):

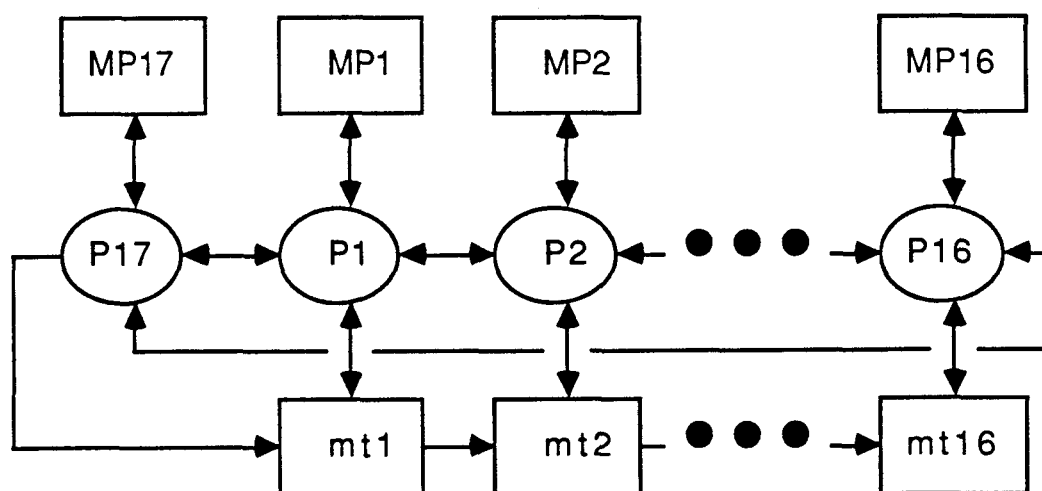
L'idée est de décomposer l'écran en régions, chacune d'elles étant traitée par un processeur. Cette subdivision peut être composée de zones comprenant des pixels dispersés, des zones comportant plusieurs lignes de balayage consécutives, de zones carrées, ... A la limite on pourrait envisager un processeur par pixel. Parmi les réalisations répondant à ce type de parallélisation, on trouve:

### MAP (Multiprocesseur Associatif Parallèle) [COR 81]:

Cette machine, réalisé dans le laboratoire d'informatique de Lille, est constituée de seize processeurs, chacun d'eux s'occupe du traitement relatif à un seizième de l'image à afficher. En fait, c'est la mémoire de trame qui est divisée en seize régions, chacune d'elles formant une partition de l'écran.

Puisque les processeurs de traitement n'ont pas la possibilité d'adresser directement la mémoire de trame, c'est un dix-septième processeur qui assure le calcul des adresses et le contrôle des traitements.





MPi: Mémoire de travail du Processeur i

Pi: Processeur i

mti: Partie de la mémoire de trame calculée par Pi

Fig 7

Ce terminal a été doté de logiciels élémentaires, selon la terminologie de Lucas, classiques au traitement (manipulation de la mémoire de trame), et, à la synthèse d'images (tracé de segments de droites, de cercles).

**Le CAP (Cellular Array Processor) [HIR 85]:**

Elle est constituée d'un tableau de 8x8 processeurs:

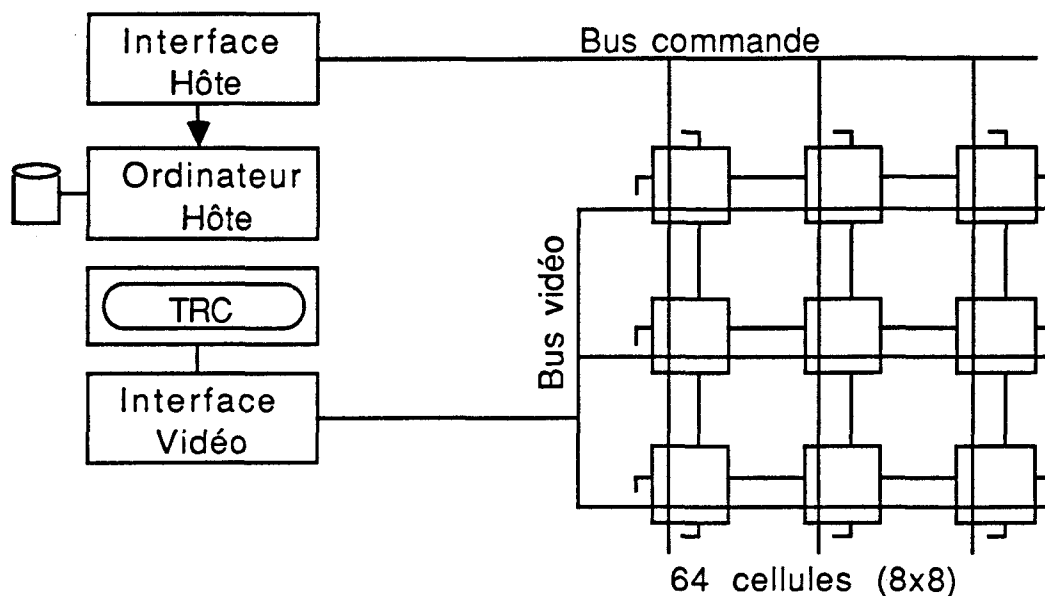


Fig 8

L'une des particularités de cette machine est qu'elle autorise différents découpages de l'espace image par programmation. Elle utilise le tracé de rayons pour la visualisation des images, et un arbre pour représenter la structure de données.

**La machine CRISTAL (Calculateur Rapide d'Images par Suivi de Trajet Analytique de la Lumière) [BRU 86]:**

Elle se présente sous forme d'un tableau de processeurs élémentaires (notés CPIX (Calculateur de PIXels)) et rassemblés par grappes. L'ensemble est contrôlé par un superviseur général (noté SUGE) qui assure la distribution et la synchronisation des tâches. La machine peut contenir jusqu'à 128 CPIX répartis dans 8 chassis. La grappe est un ensemble de ressources diverses et de processeurs reliés par un bus appelé bus local dont l'accès est géré par un contrôleur d'accès local (noté CAL). Un bus, appelé bus global, relie

les grappes entre elles. Ce dernier est géré par un contrôleur d'accès global (noté CAG). Un tampon FIFO, alimenté par le SUGE, stocke les séquences de tâches à exécuter.

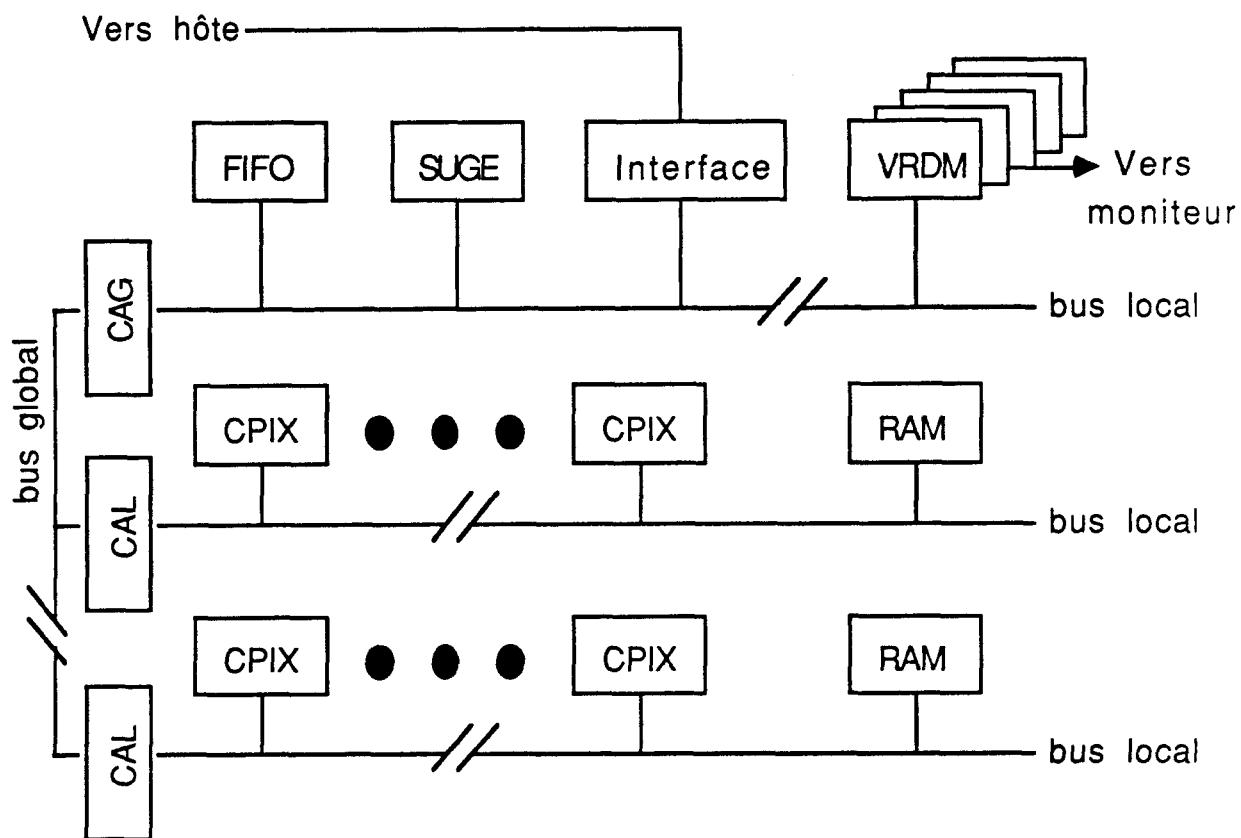


Fig 9

Le SUGE assure l'interface avec l'ordinateur hôte. Il s'occupe aussi de la détermination des pixels des zones de l'écran qui sont réellement à calculer et les distribue entre les CPIX présents et disponibles. Chaque CPIX réalise le calcul complet de la couleur des pixels qui lui sont assignés. En général, la structure de données décrivant la scène est stockée dans la mémoire locale du CPIX.

### 3 - Par découpage du processus opératoire (Pipeline):

Chaque processeur s'occupe d'une opération bien déterminée (tri, calcul d'ombrage, ...). Parmi les réalisations répondant à ce principe, on trouve:

#### Geometry Engine [CLA 82]:

Elle comporte douze circuits identiques. Ces circuits sont disposés en pipeline.

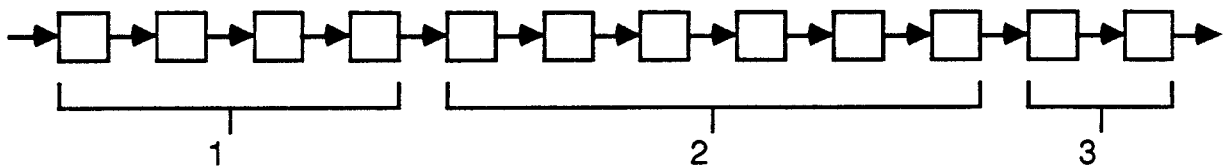


Fig 10

Les trois groupes du pipeline sont:

- Le groupe 1 s'occupe des transformations géométriques en deux ou trois dimensions.
- Le groupe 2 se charge du découpage de la scène suivant une fenêtre (2 dimensions) ou une pyramide tronquée (3 dimensions).
- Le groupe 3 effectue les opérations de projections perspectives ou orthogonales ainsi que la mise à l'échelle (mise en écran).

**Machine Périphérique d'Ordinateur d'Ullner [ULL 83]:**

Elle se compose de trois étages:

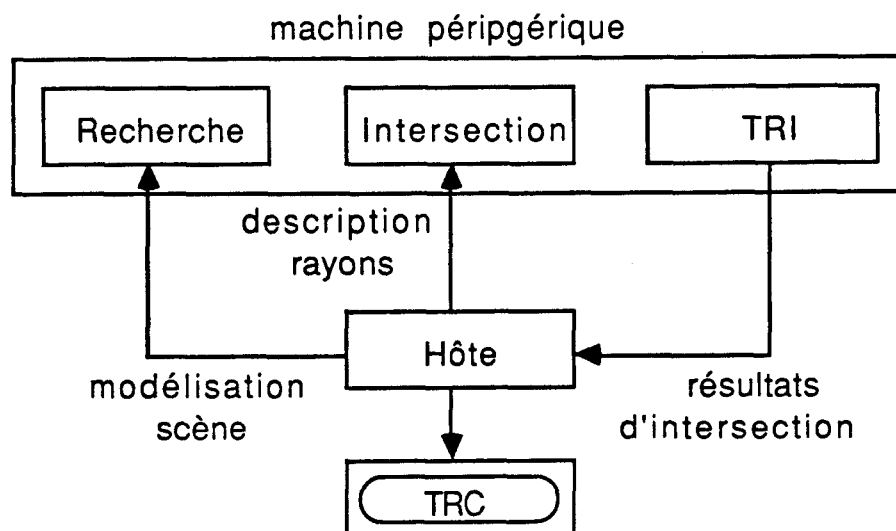


Fig 11

Le premier étage recherche les polygones dans la mémoire de description de la scène à modéliser. Le deuxième étage effectue le calcul des intersections. Le troisième étage réalise le tri des points d'intersections. Une fois que le traitement des polygones de la scène est terminé, le résultat final se trouve au niveau du troisième étage du périphérique.

**Le LINKS-1 (de Tokyo Links Corporation) [NIS 83]:**

Il est constitué de 64 processeurs. La machine possède un processeur maître RC et des calculateurs NCi. Les calculateurs NCi sont interconnectés de telle sorte qu'ils puissent être configurés sous forme de pipeline et sous contrôle du processeur maître.

## V - CONCLUSION:

Pour optimiser les performances d'un système infographique, deux directions sont possibles:

- \* Les circuits spécialisés
- \* Le parallélisme

La première a donné naissance à certains processeurs graphiques spécialisés. La deuxième a permis certaines réalisations. Notre étude porte sur la fusion de ces deux directions, c'est à dire sur la parallélisation des processeurs graphiques spécialisés. Et pour cela, on commencera par étudier les processeurs graphiques spécialisés existants afin d'en choisir le plus complet, et seulement après, on s'intéressera à la parallélisation de ce dernier. Pour valider la parallélisation, on étudiera plus particulièrement les algorithmes les plus typiques de la synthèse d'images: le tracé de segment et le remplissage. Donc, le deuxième chapitre portera sur l'étude des différents processeurs graphiques spécialisés existants et le troisième sur celle de la parallélisation. Le quatrième et le cinquième chapitre sont consacrés respectivement aux deux solutions retenues.

## CHAPITRE II

### ETUDE DES DIFFERENTES

### POSSIBILITES DES

### PROCESSEURS GRAPHIQUES SPECIALISES

**SOMMAIRE**

I - Introduction	51
II - Processeurs graphiques spécialisés	52
1 - INTEL 82786	52
2 - TMS 34010	54
3 - AM95C60	57
4 - RGP	58
5 - AGDC	59
6 - Conclusion	59
III - Les architectures matérielles	59
A - la structures logique	59
1 - L'organisation hierarchique	60
2 - L'organisation non hierarchique	60



B - La structure physique	60
1 - L'outil de communication	60
2 - La topologie d'interconnexion	61
C - Le mode d'interaction	65
1 - Le couplage fort	66
2 - Le couplage faible	67
3 - Le couplage modéré	67
D - Le mode de fonctionnement	67
1 - Le mode "SISD"	67
2 - Le mode "SIMD"	68
3 - Le mode "MIMD"	68
4 - Le mode "MISD"	69
V - Conclusion	69

## I-INTRODUCTION:

A ses débuts, la synthèse d'images produisait des dessins au trait c'est à dire des graphiques à base de lignes, mais, très vite, la nécessité d'obtenir des images figuratives ou plus réalistes a exigé des traitements plus évolués et des techniques plus complexes. L'accroissement des temps de calcul, qui en a résulté, pénalise l'interactivité et la production graphique en empêchant les traitements en temps réel.

Pour pallier ça, il faudrait obtenir de hautes performances en vitesse d'exécution, capacité de stockage et de traitement, et en temps de réponse et d'affichage. Mais toute recherche de performance peut aujourd'hui se décomposer en deux parties:

- \* La réalisation de composants de hautes performances
- \* La simultanéité obtenu par la mise en parallèle de plusieurs de ces composants

Si, pour le graphique, la première partie relève en particulier des constructeurs et conduit à des solutions figées, la seconde apparait beaucoup plus souple et ouverte.

Ceci a donné naissance à des processeurs graphiques spécialisés. Parmi ces derniers on trouve:

- \* Le 82786 de chez INTEL
- \* Le TMS 34010 de chez TEXAS INSTRUMENTS
- \* Le AM95C60 de chez ADVANCED MICRO DEVICES
- \* Le RGP de chez NATIONAL SEMICONDUCTOR CORP.
- \* Le AGDC de chez NEC ELECTRONICS

Ce chapitre consiste en l'étude des différentes possibilités de ces processeurs graphiques spécialisés afin de pouvoir établir une comparaison entre eux.

## II - PROCESSEURS GRAPHIQUES SPECIALISES:

### 1 - INTEL 82786 [ANI 87], [INT 87], [MMS 87]:

L'Intel 82786 est formé de deux processeurs indépendants: "GP" ("Graphics Processor") processeur graphique et "DP" ("Display Processor") processeur d'affichage, montés sur un seul circuit VLSI et qui manipulent respectivement graphique, texte, et, affichage, fenêtres.

Le 82786 contient, comme tout processeur graphique, au moins une interface vidéo ("display": affichage), une mémoire graphique et une interface hôte.

Grâce au fait que le "GP" et le "DP" manipulent indépendamment et respectivement le graphique et l'affichage, le 82786 peut tracer 2.5 million pixels/sec et 25 mille caractères/sec ceci en utilisant une horloge vidéo de 25 MHz et une DRam conventionnelle.

Le CPU contrôle les ressources du coprocesseur graphique "GP" à travers un bloc de 128 bytes de registres de contrôle interne.

Le contrôleur permet le rafraîchissement et l'accès à la DRam. La mémoire est adressable sur 22 bits. Cet espace d'adressage est divisé en espace d'adressage de mémoire graphique et en espace d'adressage de mémoire système. La taille de la mémoire graphique peut atteindre 4 Mbytes. La mémoire graphique contient les données d'affichage, les caractères, et les instructions graphiques.

Pour contrôler les accès à la mémoire graphique, la "BIU" maintient une priorité programmable pour tout demandeur de contrôle de bus.

Le 82786 supporte un nombre variable de bits/pixel et autorise l'utilisation de combinaisons variées dans différents bit-maps. Il peut fonctionner en deux modes: mode maître ou mode esclave.

Les instructions graphiques du 82786 sont construites sous un format simple: 8 bits pour le code de l'opération ("opcode"), le bit GECL flag ("graphics-end-of command list"): bit d'indication de fin de liste de commandes, et sa liste de paramètres associée.

Pour accélérer les opérations graphiques, le 82786 coopère avec le microprocesseur hôte. Puisque le 82786 n'est pas un processeur microprogrammable, il n'a pas besoin de fonctionner dans son propre environnement et peut travailler dans un environnement existant. A titre d'exemple l'IBM PC/AT peut servir comme hôte pour le 82786.

En multitâches, le 82786 peut supporter les demandes d'exécution de plusieurs tâches concurrentes, et le "GP" peut modifier les bits-maps de différentes tâches pendant que le "DP" trace seulement ceux qui intéressent le plus l'utilisateur.

Le 82786 peut fonctionner en mode accéléré:

- \* Horloge vidéo externe de 50 MHz: résolution de 4 bits/pixel
- \* Horloge vidéo externe de 100 MHz: résolution de 2 bits/pixel
- \* Horloge vidéo externe de 200 MHz: résolution de 1 bit/pixel

Une très rapide palette vidéo Ram peut être utilisée pour restaurer une haute résolution de couleur d'une information stockée en basse résolution.

Enfin pour une très grande résolution graphique, on peut utiliser plusieurs 82786.

## 2 - TMS 34010 [CAR 86], [MMS 87], [TEX 87]:

Un vrai processeur graphique ne doit pas dépendre du hôte pour n'importe quelle opération graphique et doit avoir son propre compilateur de haut niveau.

Le processeur graphique TEXAS INSTRUMENTS TMS 34010, processeur à 32 bits, optimise les opérations graphiques du système en fonctionnant comme un processeur général. Sa programmation générale, augmentée par l'implémentation d'opérations graphiques spéciales en hardware, lui donne l'avantage par rapport aux contrôleurs graphiques et aux microprocesseurs généraux.

Le 34010 peut prendre en charge des opérations sans le processeur hôte. Ceci facilite sa programmation en langage de haut niveau.

Cependant, le processeur hôte est libre pour prendre en charge d'autres fonctions importantes du système comme la gestion de mémoire et de file, entrées/sorties et les différents périphériques, le contrôle du clavier ... etc

Le 34010 interface directement avec "DRams" ("Dynamic Rams") et "VRams" ("Vidéo Rams") et supporte le décodage d'instruction et la manipulation des données à 6 Mbytes/sec. Il gère aussi les signaux de contrôle du "CRT" qu'utilisent la plus part des systèmes d'affichage.

D'autres processeurs peuvent communiquer avec le 34010 à une vitesse qui au maximum ne dépasse pas 5 Mbytes/sec. L'interface hôte est configurable pour 8 ou 16 bits (bus) et réclame un accès directe bidirectionnel pipeliné ("DMA": Direct memory access) entre la mémoire locale et les registres de l'interface hôte. L'interface hôte

peut communiquer avec d'autres 34010. Ceci est important dans la partage des tâches, sur plusieurs processeurs graphiques, qui est une technique qui augmente beaucoup la performance.

Le 34010 supporte les plus importantes structures de données utilisées en graphique: bits, bytes, pixels, champs ("fields"), tableaux à 2 dimensions ("2D-arrays"). Il existe 2 modes d'adressage pour les données graphiques: linéaire ("linear") et cartésien X-Y.

Le 34010 a 2 jeu d'instructions: un ensemble d'instructions primitives ("RISC": Reduced Instruction Set Computer) qui contient toutes les opérations, à un cycle, d'un microprocesseur général, comme les sauts et les appels ("Jumps and Calls"), les décalages et rotations ("Shifts and Rotates"), les opérations arithmétiques sur les booléens et les entiers ("Integer and Boolean Arithmetic"), les transferts ("Moves"),... etc, et un ensemble d'instructions complexes ("CISC": Complex Instruction Set Computer) qui contient les opérations graphiques fondamentales et importantes comme le transfert de bloc de pixels ("Pixblts": Pixel Block Transfers), le tracé de ligne ("Line"), le remplissage ("Fill"),... etc.

Le jeu d'instructions du processeur graphique incorpore plusieurs mécanismes pour la manipulation des pixels ou des tableaux de pixels. L'opération Pixblts du 34010 exige que le matériel supporte les fenêtres ("Windowing"), le maskage des plans ("Plane Masking"), la transparence ("Transparency"), les opérations d'expansion ("Binary-to-Color expand opération").

Le 34010 supporte 16 opérateurs logiques et 6 arithmétiques pour le traitement des pixels couleur. Pour augmenter l'efficacité de la programmation, le 34010 a 2 files de registres, chacune contient 15 registres, de 32 bits, généraux (utilisés pour les adresses et pour les données), un pointeur de pile SP ("Stack Pointer"). Au total le processeur graphique a 31 registres programmables utilisables. Grâce à ces registres les algorithmes graphiques deviennent plus efficaces puisque on réduit le nombre de données à transférer.

La performance croît en introduisant dans le système plus de traitements parallèles. Le 34010 a un haut niveau de parallélisme interne avec le cache d'instructions (mémoire), son registre Barrel Shifter, "Alu" unité arithmétique et logique ("Arithmetic Logic Unit") et son interface mémoire locale.

Les 256 bytes du cache d'instructions supporte simultanément l'accès à la mémoire et aux registres. Le cache réduit le nombre de recherche d'instructions que le processeur graphique doit faire. Ceci accélère les algorithmes graphiques et surtout ceux qui contiennent plusieurs boucles d'instructions itératives.

Le registre Barrel Shifter peut faire la rotation de n'importe quel champ, en 32 bits, en un seul, 160 ns, cycle opération. Le Barrel Shifter accélère les opérations de manipulations de bits de champs utilisées en graphique.

L'Alu (32 bits) est capable de traiter plusieurs pixels en parallèle. Quand la taille du pixel est connue, l'Alu se configure comme une série de petites Alu, qui traitent simultanément des opérations booléennes et arithmétiques sur les pixels.

Le pipeline augmente la performance du système. Pendant un seul cycle, le 34010 peut lire de 2 registres, écrire dans un registre, décoder une instruction, exécuter l'instruction courante et commencer ou compléter un cycle de mémoire locale. Ceci le rend un processeur général solide et lui donne la possibilité d'exécuter les instructions à une vitesse de 6 MIPS (Million d'Instructions Par Seconde) quand son horloge est de 50 MHz et exécute hors du cache.

La tolérance de l'utilisateur pour ce qui est des applications graphiques est que le temps de réponse de l'écran tourne autour d'un tiers de seconde. Le 34010, avec 50 million bits / sec ("bps") pour l'opération "fill" et 25 million bits / sec pour l'opération "pixblts" permet l'apparition presque instantannée de la plus part des images.

Les outils de développement de logiciels opère sur un IBM PC, PC/XT, PC/AT et compatibles ou sur DEC VAX système. Le minimum d'outils dont on a besoin pour développer des logiciels est: le "bagage" Assembleur, le compilateur C, et une carte de développement de logiciels qui contient un debugger.

Le "bagage" Assembleur consiste en un "Linker" (éditeur de liens), un "Archiver" (archiveur), "Rom Utilities" (utilitaires Rom), et un simulateur pour les versions PC.

La carte de développement de logiciels permet aux programmeurs de modifier directement le contenu des registres du 34010.

Un logiciel écrit en langage C peut appeler des routines écrites en langage Assembleur 34010.

### **3 - AM95C60 [AMD 86], [AMD 87], [MMS 87]:**

Le AM95C60 QPDM ("Quad Pixel Dataflow Manager") est un CMOS processeur graphique qui conduit 4 tableaux bit-map de mémoire. Fonctionnant à une vitesse d'horloge maximale de 20 MHz, il peut interfacer à 8 ou 16 bits de bus.

Il peut tracer des vecteurs à 3.3 million pixel/sec où placer du texte à 45 mille caractères/sec. Cette performance donne la possibilité aux utilisateurs de mélanger texte et graphique dans le bit-map. Le AM95C60 contient des primitives graphiques et interface avec GKS, NAPLPS, VDI ("Virtual Device Interface") et les logiciels standards ("Software Standards").

Le processeur est totalement cascadable et peut gérer 256 "Memory Planes" sans que cela affecte sa performance système.



D'autres possibilités comme le fenêtrage ("Windowing"), les facteurs de zoom indépendants de X et Y ("Independent X and Y Zoom Factors"), "Pan and Scroll", "Picking", "Clipping" et "Logical pen size".

Le AM95C60 supporte aussi le tracé de vecteurs, cercles, et arcs anti-aliassés en utilisant des styles de lignes très variants définis par l'utilisateur.

#### **4 - RGP [MMS 87]:**

Le RGP ("Raster Graphics Processor") est un CMOS, 20 MHz, microprocesseur totalement programmable destiné au graphique. Il contient la logique de l'état de la machine pour maximiser la performance des primitives graphiques.

En plus de son jeu d'instructions générales, le RGP contient des instructions primitives pour la génération de modèles de lignes et poly-lignes, "BitBlts" ("Bits Block Transfer"), polygones pleins ("Filled Polygons") et supporte les caractères ("Bit-mapped Fonts").

Le RGP peut atteindre une vitesse extrêmement haute: 10 million pixel/sec pour modèles de lignes, 160 million pixel/sec pour "Fill", 80 million pixel/sec pour "BitBlts" et 100 mille caractères/sec pour "Bits mapped Fonts". Cette performance est indépendante de la profondeur de la couleur, ceci est dû à l'architecture plane du pixel.

Toutes les opérations de traçage sont accomplies en coordonnées X - Y: le RGP convertit automatiquement en adresses linéaires quand il accède au buffer.

Le RGP contient aussi le hardware du "Clipping", qui opère sans affecter la performance, et supporte aussi le rafraîchissement de l'écran.

## **5 - AGDC [MMS 87]:**

Le AGDC ("Advanced Graphics Display Controller") est un seul, VLSI, coprocesseur graphique à haute performance. Sa haute vitesse de fonction de traçage graphique inclut le coloriage ("Painting"), les "BitBlts" opérations, les commandes de demande ("Inquiring commands"), les opérations logiques avec et/ou entre les plans, le "Clipping" et "Picking".

La vitesse de traçage est de 500 nsec/pixel à 8 MHz, 400 nsec/pixel à 10 MHz, 32 million bits/sec pour "BitBlts". La haute performance du système est accomplie à travers 3 stades de traitement pipeliné de commandes du CPU au traçage du processeur en utilisant un préprocesseur.

Le AGDC peut aussi accéder simultanément aux pixels du buffer graphique quand ils sont sous les configurations mode pixel et mode plan.

## **6 - CONCLUSION:**

Après comparaison de ces processeurs spécialisés, qui présentent, en général, la même structure, on a opté pour le TMS 34010. En effet, ce dernier comporte un cache mémoire d'instructions, un registre barrel shifter, et offre plus d'opérateurs logiques et arithmétiques sans oublier la reconfiguration en parallèle de son unité arithmétique, ... etc

## **III - LES ARCHITECTURES MATERIELLES [FAK 83], [FLY 72]:**

### **A - LA STRUCTURE LOGIQUE:**

Elle détermine l'organisation des processeurs et les relation entre eux. On distingue deux organisations principales:

**1 - L'ORGANISATION HIERARCHIQUE (OU VERTICALE):**

Dans cette organisation, il y a un processeur maître et plusieurs esclaves. Tous les processeurs sont logiquement différents. Les communications interprocesseurs transitent par le maître. Chaque processeur peut devenir maître.

**2 - L'ORGANISATION NON HIERARCHIQUE (OU HORIZONTALE):**

Dans cette organisation, tous les processeurs sont logiquement équivalents. Chaque processeur peut communiquer avec n'importe quel autre processeur. Le contrôle et la coordination peuvent être ou non assurés par un processeur maître.

**B - LA STRUCTURE PHYSIQUE:**

Elle détermine la manière du cheminement de l'information dans le système, la configuration de l'outil de communication et la topologie d'interconnexion.

**1 - L'OUTIL DE COMMUNICATION:**

L'information transite entre les processeurs soit par l'intermédiaire d'une mémoire commune (commutation de ligne (voir Fig 1)) où d'un bus (commutation de ligne (voir Fig 2)).

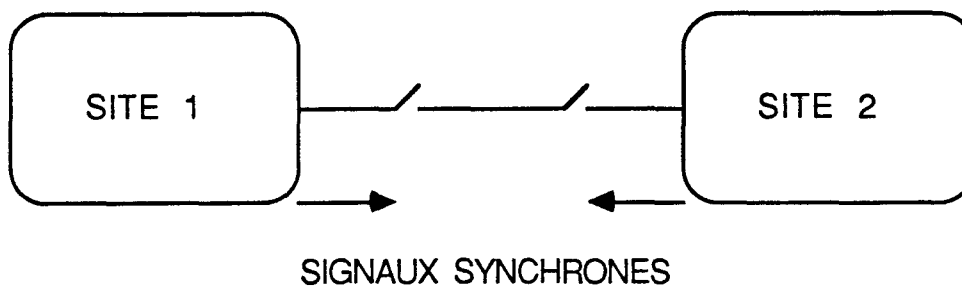


Fig 1

Dans ce cas, tous les transferts se font par l'intermédiaire d'une mémoire commune, et les processeurs n'ont pas d'accès direct les uns vers les autres.

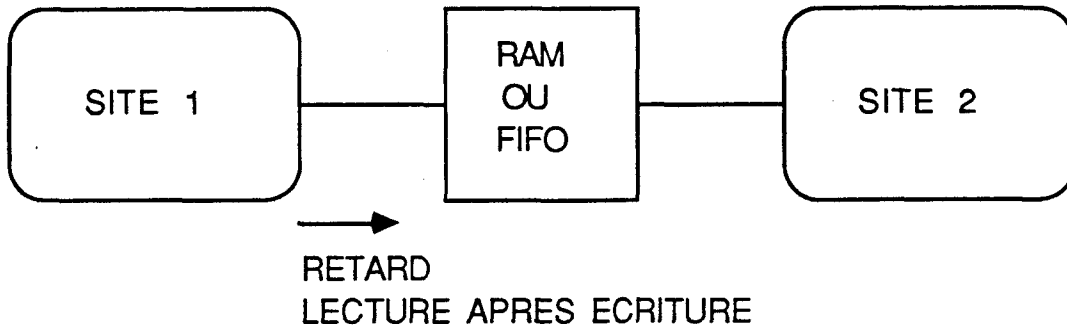
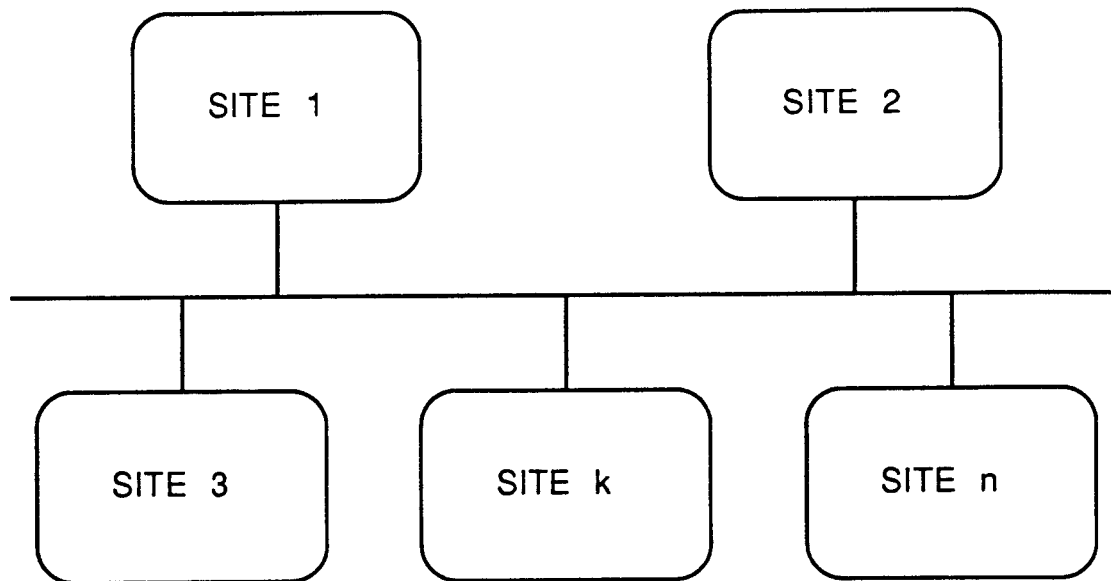


Fig 2

Inversement, dans ce cas, tous les processeurs communiquent entre eux par l'intermédiaire du bus.

## 2 - LA TOPOLOGIE D'INTERCONNEXION:

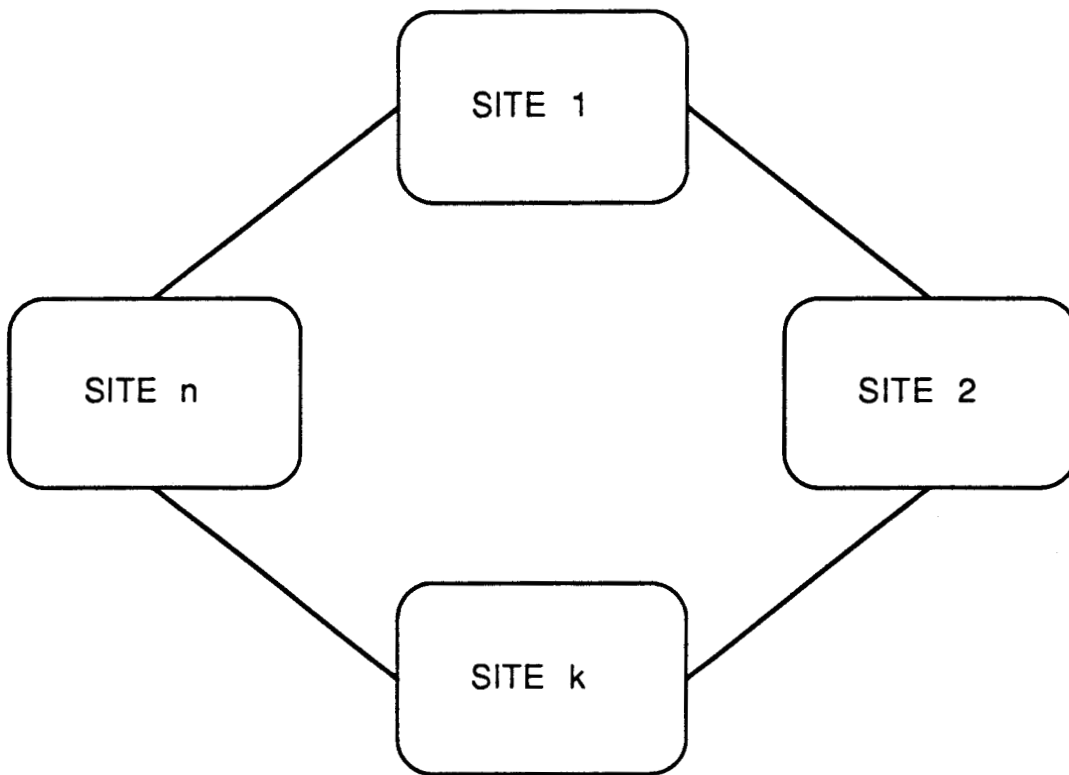
Cà consiste, à considérer comment sont connectés ensemble les différents éléments, ceci étant très important pour caractériser la fiabilité ainsi que les possibilités d'extension du système. On distingue quatre schémas d'interconnexion de bases :



Partage d'un outil commun d'interconnexion

Fig 3

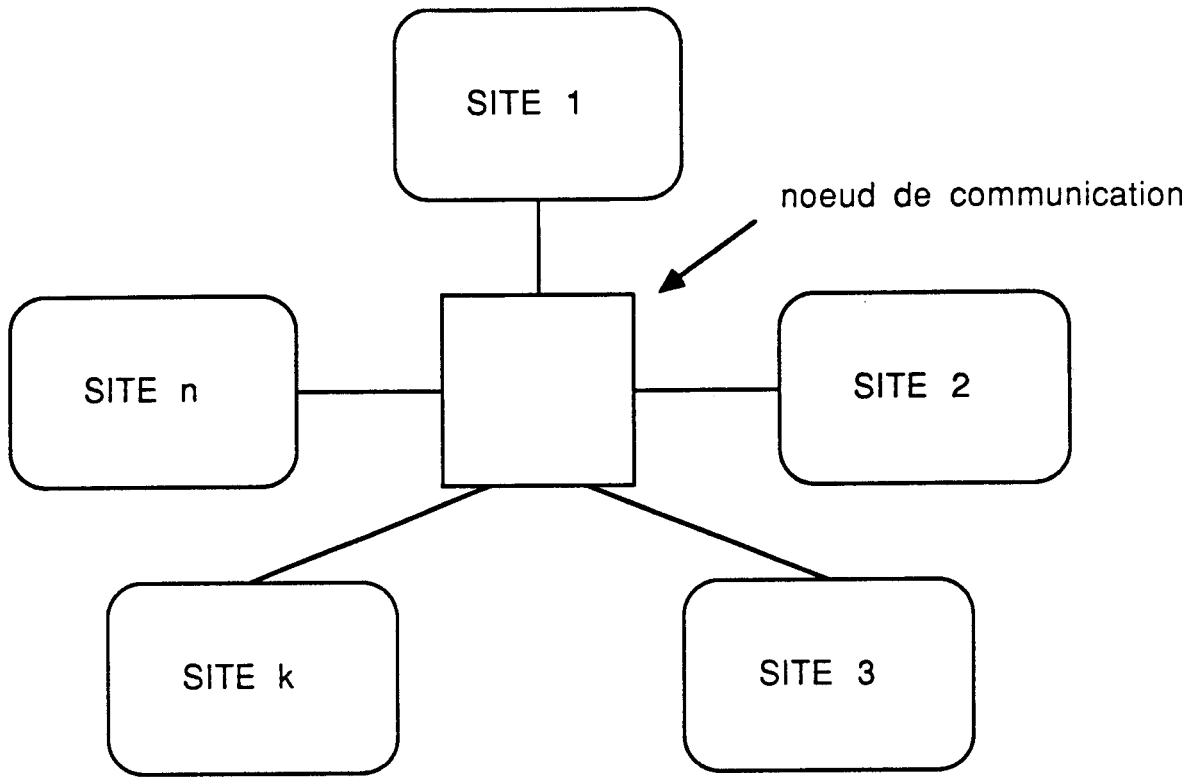
Dans ce cas, il y a partage d'un outil commun de communication. Ce qui veut dire, à un instant donné, il n'y a que deux sites qui peuvent communiquer. Dans cette configuration, chaque site peut communiquer directement avec n'importe quel autre site.



Interconnexion en anneau

Fig 4

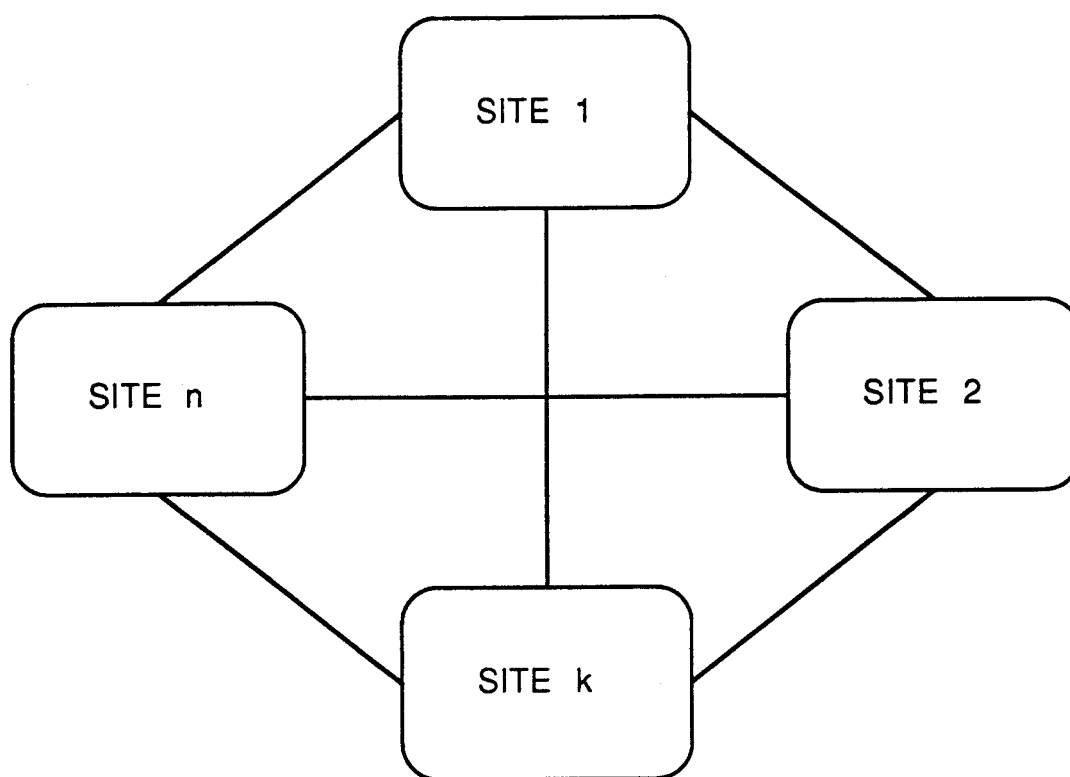
Dans cette configuration, chaque site ne peut communiquer directement qu'avec deux sites qui sont respectivement les voisins de droite et de gauche.



Interconnexion en étoile

Fig 5

Dans ce cas, chaque site peut communiquer directement avec n'importe quel autre site par l'intermédiaire du noeud de communication.



Interconnexion complète

Fig 6

Dans cette configuration, chaque site peut communiquer directement avec n'importe quel autre site.

### **C - LE MODE D'INTERACTION:**

Ce critère détermine le facteur de couplage, la nature et le taux de communication entre les sites. Par conséquent, il détermine le taux d'occupation des ressources partagées.

Il y a trois sortes de couplages: le couplage fort, modéré, et faible.



**1 - LE COUPLAGE FORT:**

Les ressources nécessaires au traitement sont partagées par les sites. Dans ce cas on a:

\* Partage d'une mémoire commune. Et généralement, chaque processeur a une mémoire locale et une interface de communication.

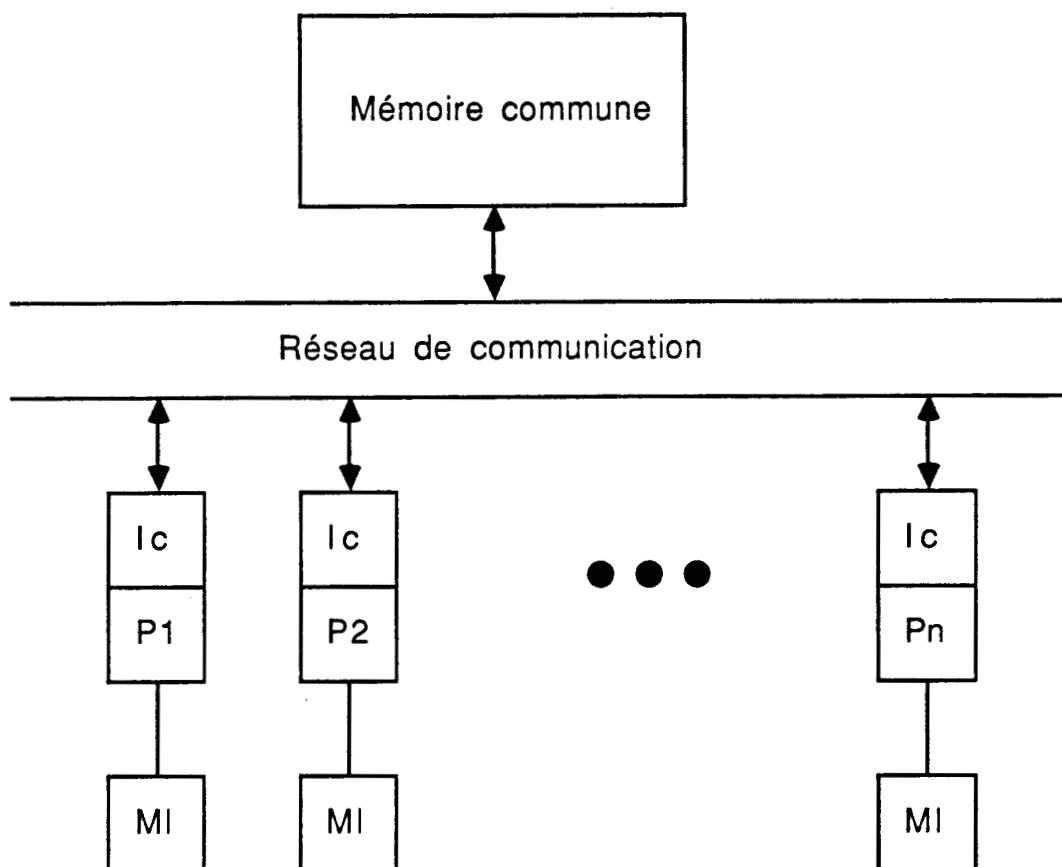


Fig 10

MI : mémoire locale  
Ic : interface de communication

\* Un système d'exploitation commun permettant la coordination des sites.

\* Les sites sont généralement homogènes. Cependant ils permettent la banalisation des fonctions de programmation et l'égalité des puissances de traitement.

Ce type de couplage nécessite des moyens de synchronisation pour le partage des ressources communes.

## 2 - LE COUPLAGE FAIBLE:

Chaque site est pourvu de moyens matériels et logiciels lui permettant une indépendance de traitement. On parle alors de réseaux d'ordinateurs.

## 3 - LE COUPLAGE MODERE:

C'est le couplage intermédiaire qui correspond à une combinaison des couplages faible et fort, qui représentent les cas extrêmes du couplage.

## D - LE MODE DE FONCTIONNEMENT:

Il y en a quatre:

### 1 - LE MODE "SISD":

("Single Instruction Stream, Single Data Stream") Un flux d'instruction opère sur un flux de donnée:

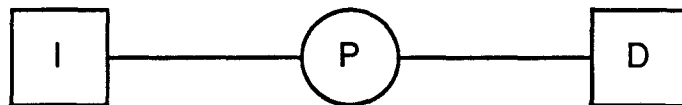


Fig 11

**2 - LE MODE "SIMD":**

("Single Instruction Stream, Multiple Data Stream") Un flot d'instructions opère sur plusieurs flots de données:

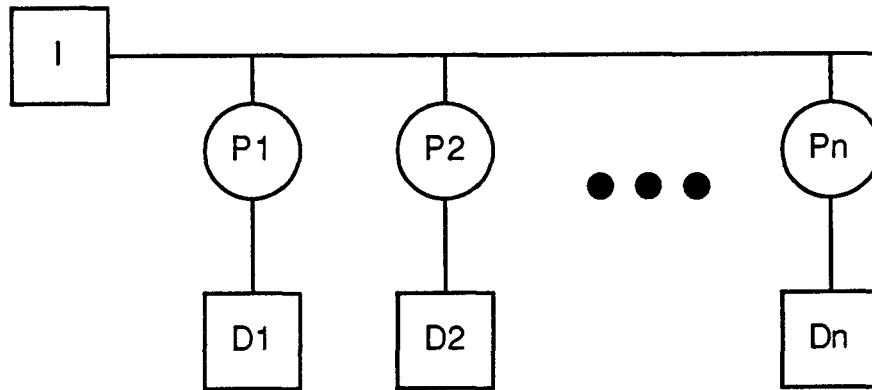


Fig 12

**3 - LE MODE "MIMD":**

("Multiple Instruction Stream, Multiple Data Stream") Plusieurs flots d'instructions opèrent sur plusieurs flots de données:

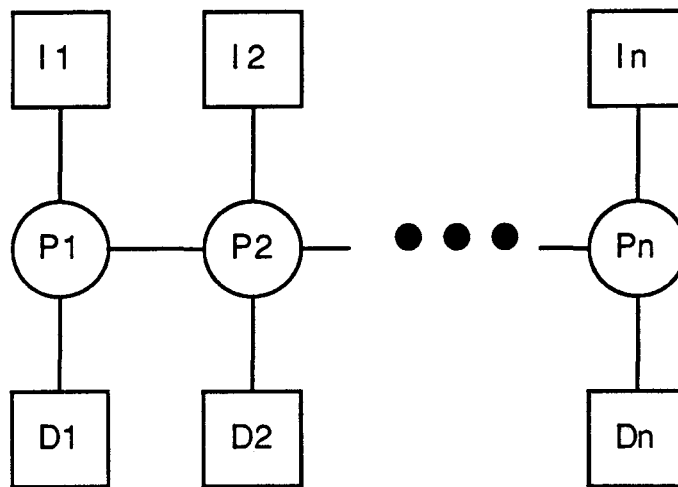


Fig 13

**4 - LE MODE "MISD":**

("Multiple Instruction Stream, Single Data Stream") Plusieurs flots d'instructions opèrent sur un flot de données:

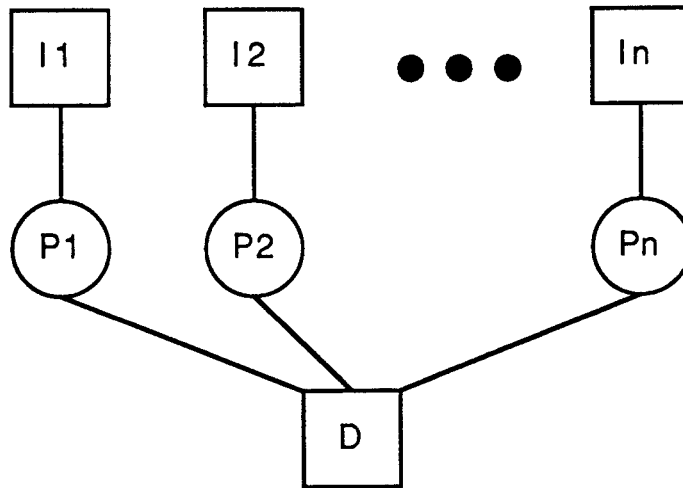


Fig 14

**V- CONCLUSION:**

Actuellement la tendance est à intégrer le maximum de fonctions au niveau du matériel, ceci étant dû au faible coût et à la rapidité des composants électroniques. Ce qui a donné naissance aux processeurs graphiques spécialisés.

L'accroissement des performances d'un système infographique, passe par la parallélisation. Donc, pour optimiser les performances des processeurs graphiques spécialisés, il faudrait étudier leur parallélisation.

**CHAPITRE III**

**ETUDE DE LA**

**PARALLELISATION DES**

**PROCESSEURS GRAPHIQUES SPECIALISES**

**SOMMAIRE**

I - Introduction	75
II - Le pipeline	75
III - Le partage	76
A - Le partage géométrique	76
1 - Premier cas	78
2 - Deuxième cas	84
3 - Troisième cas	89
B - Le partage par objet	91
IV - Conclusion	92

## I - INTRODUCTION:

L'étude d'architectures adoptées passe par la combinaison des avantages des deux approches: le parallélisme et les processeurs graphiques spécialisés.

Le problème important concerne le stockage de l'image et le partage des accès à la mémoire correspondante.

Les approches du parallélisme sont le pipeline et le partage.

## II - LE PIPELINE:

Le pipeline consiste en un groupement de processeurs, chaque processeur s'occupe d'une tâche donnée, par exemple:

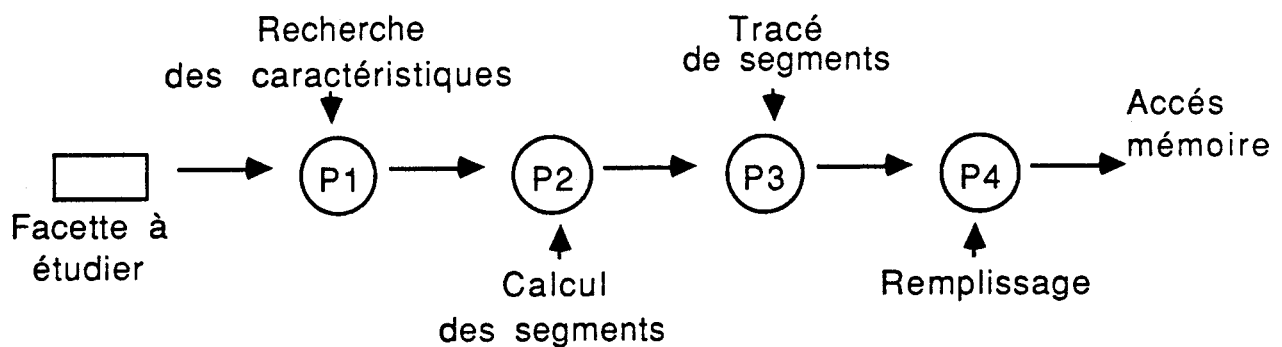


Fig 1

Le processeur spécialisé offre déjà toutes ces opérations. Donc, au lieu de grouper ces processeurs en un pipeline, il est plus avantageux de les utiliser en parallèle afin de profiter du maximum de leurs puissances.

### III - LE PARTAGE:

L'approche partage peut être réalisée de deux façons: le partage géométrique (ou exclusif) et le partage par objet (ou inclusif).

#### A - LE PARTAGE GEOMETRIQUE:

Le partage géométrique (où encore le partage de zone) revient à attribuer à chaque processeur sa propre partie de la mémoire d'image.

Exemple pour quatre processeurs:

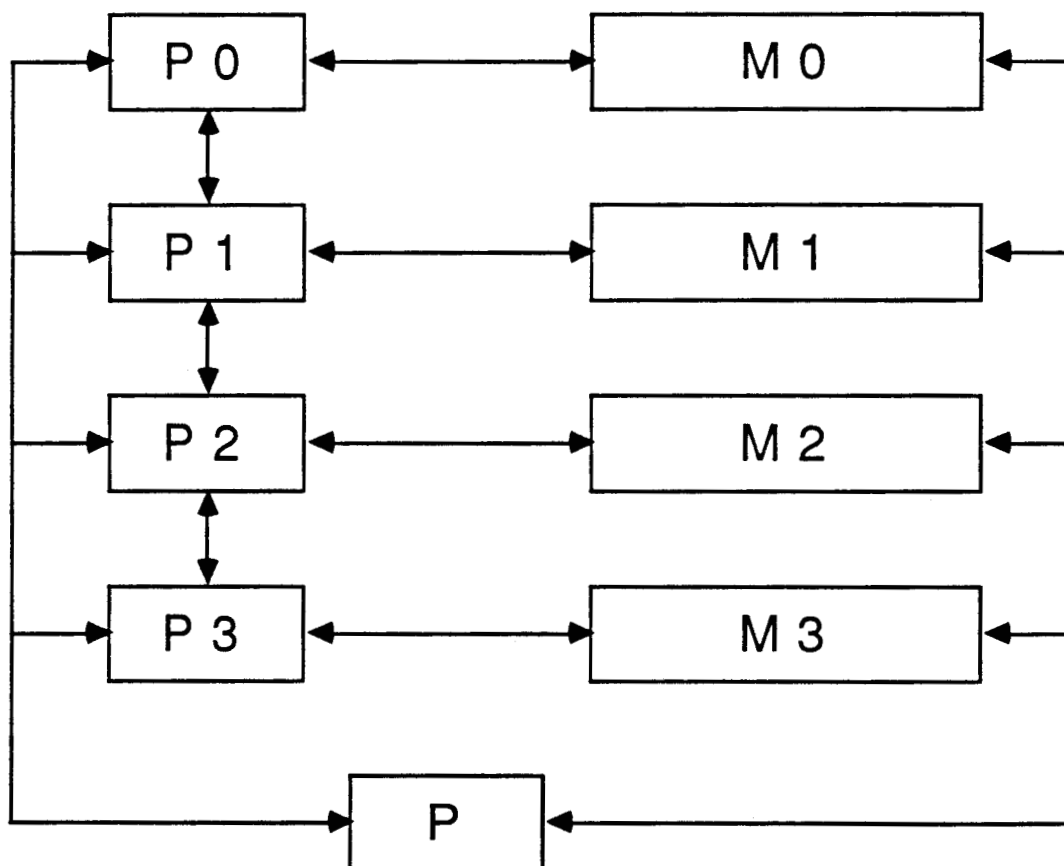


Fig 2



La mémoire image est la représentation matricielle de l'écran sous forme de mots mémoires où chaque mot représente la valeur numérique ou couleur à affecter au pixel (voir Fig 3).

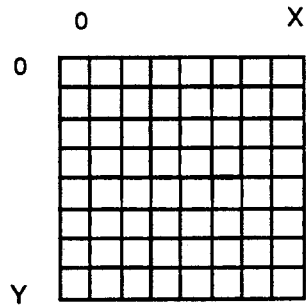


Fig 3

Les pixels sont accessibles à l'aide de couples de coordonnées (y,x).

Le partage exclusif peut être représenté par la manière suivante:

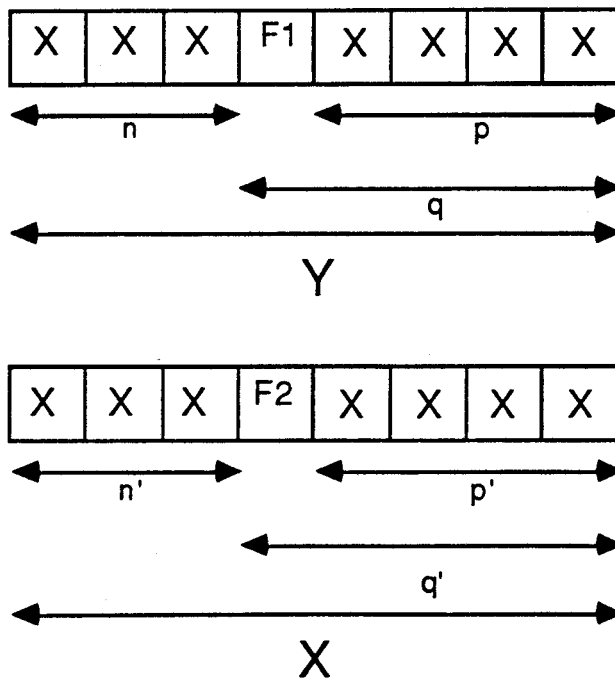


Fig 4

F1F2: identifie la fenêtre et par conséquent le processeur qui gère cette dernière.

pp': identifie taille de la fenêtre  
 (= (2 puissance p)\*(2 puissance p')).

qq': identifie taille du pavé (= (2 puissance q)\*(2 puissance q')).

nn': identifie nombre de pavés constituant la mémoire image  
 (= (2 puissance n)\*(2 puissance n')).

**Définitions:**

**Fenêtre** : c'est une partie de l'écran qui est visible par un processeur.

**Pavé** : c'est une partie contigue de l'écran.

**1- PREMIER CAS:**

Cas où le pavé est de taille un, c'est à dire c'est le cas où chaque processeur s'occupe d'une partie contigue de l'écran.

Exemple pour 4 processeurs:

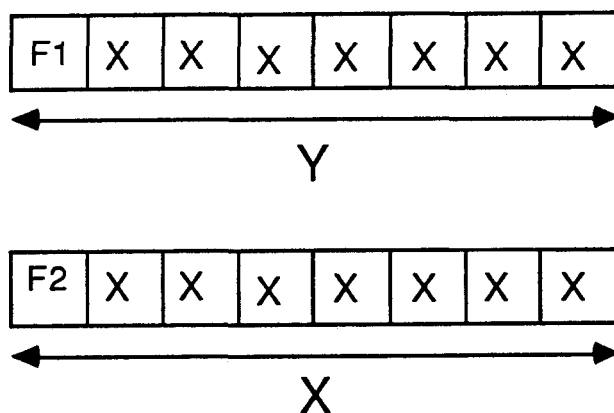


Fig 5

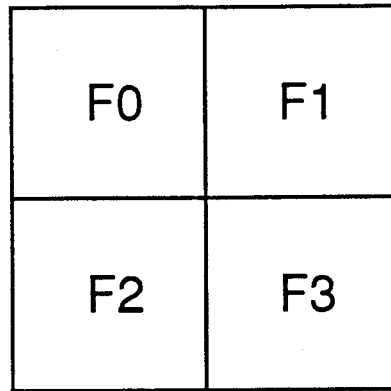


Fig 6

Soit X, Y la taille de l'écran en abscisse et ordonnée respectivement.

- \* F0: Fenêtre du processeur P0 qui correspond à:  
(0xxxxxxx, 0xxxxxxx) $\Leftrightarrow$  ((0... Y/2 - 1), (0... X/2 - 1))
- \* F1: Fenêtre du processeur P1 qui correspond à:  
(0xxxxxxx, 1xxxxxxx) $\Leftrightarrow$  ((0... Y/2 - 1), (X/2... X-1))
- \* F2: Fenêtre du processeur P2 qui correspond à:  
(1xxxxxxx, 0xxxxxxx) $\Leftrightarrow$  ((Y/2... Y-1), (0... X/2 - 1))
- \* F3: Fenêtre du processeur P3 qui correspond à:  
(1xxxxxxx, 1xxxxxxx) $\Leftrightarrow$  ((Y/2... Y-1), (X/2... X-1))

Cette configuration devrait bien marcher pour ce qui est du traçage de ligne, cercle, rectangle et du remplissage s'ils sont centrés sur le centre de l'écran. Puisque ces figures de base auraient comme axes de symétrie les axes de l'écran, et de ce fait en coupant la figure par ces axes, on obtiendrait 4 parties de figure semblables. Ce qui veut dire, que les 4 processeurs auraient à tracer les 4 parties égales de la figure en même temps. Donc au lieu de la tâche on aurait 4 sous-tâches s'exécutant en parallèle et dont le temps d'exécution serait d'environ le quart du temps d'exécution de la tâche.

Pour les tracés et les remplissages non centrés sur le centre de l'écran, on essaiera de les dessiner au centre de l'écran (pour se ramener au cas précédent), et seulement après on les translatera pour les placer à la position souhaitée.

Essayons de traiter un exemple: celui du tracé de cercle.

**Première étape:**

Tracé du cercle au centre de l'écran.

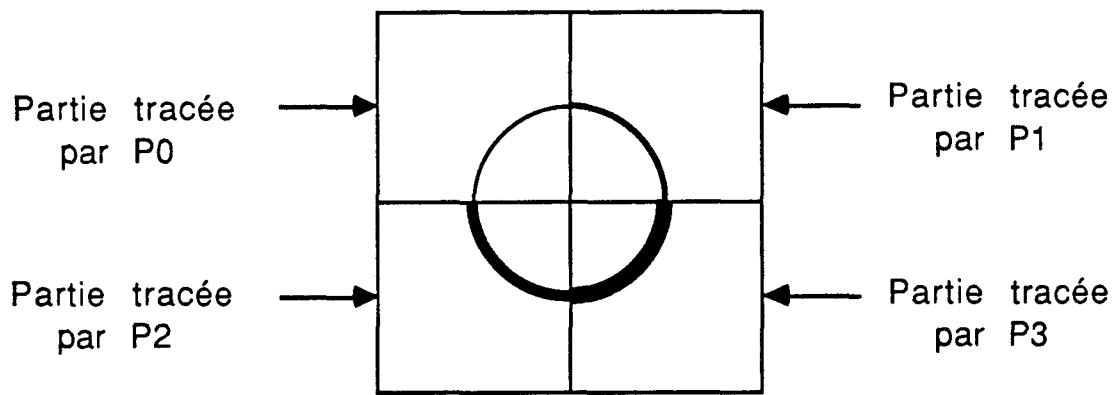


Fig 7

Le tracé des quatre parties se fait en parallèle.

Deuxième étape:

Translation du tracé.

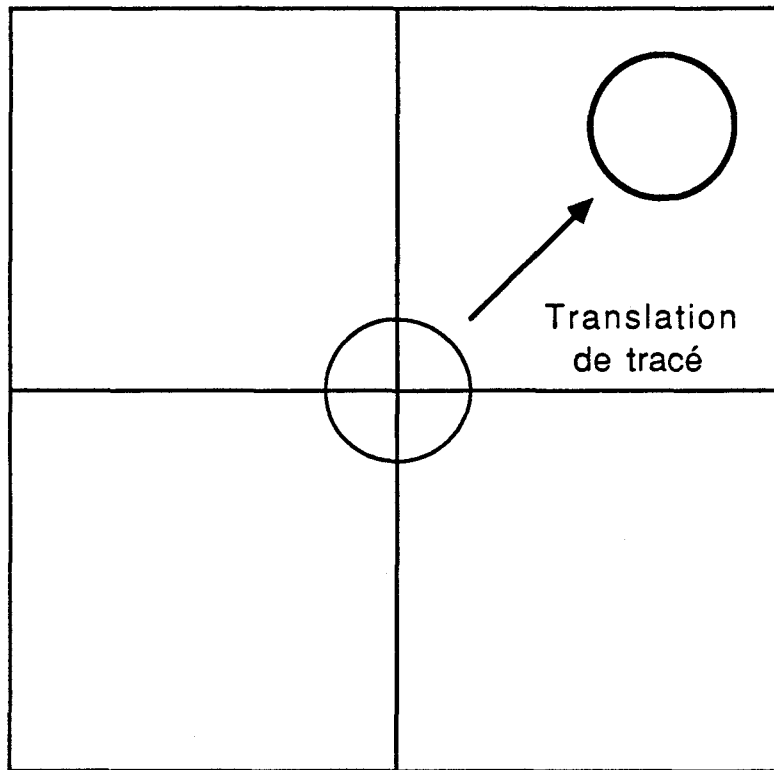


Fig 8

Le tracé d'un cercle de rayon R demanderait un traçage d'environ  $4 \cdot R \cdot (2 \text{ puiss } (1/2))$  pixels.

Le tracé de cercle du TMS 34010 fait appel à des symétries 1/8, 1/4, 1/2 cadrans pour ce qui est du calcul des valeurs des pixels. Donc çà revient à calculer seulement les valeurs des pixels d'1/8 cadran, et par conséquent en déduire les autres pixels par symétrie.

L'algorithme du tracé de cercle utilise l'instruction cablée "Drav" du TMS 34010: instruction qui permet de tracer un pixel et de passer au suivant en incrémentant les coordonnées du dernier point affiché

(l'instruction "Drav" correspond à deux instructions: (une instruction d'affichage et une addition).

Un cercle de rayon R tracé par un seul processeur demanderait:  
 $((2^{\text{puiss}(1/2)} * ((8 * n) + t_c) * (4 * R))) / 8 + t_i$  unités de temps

soit:

$((2^{\text{puiss}(1/2)} * ((8 * n) + t_c) * R) / 2) + t_i$  unités de temps

$t_i$ : le temps de remplissage et d'initialisation des registres avec les valeurs appropriées (en unités de temps) (environ = 460 unités de temps).

$n$ : la durée d'exécution de l'instruction "Drav" (en unités de temps) ( $n = n_{\text{aff}} + n_{\text{add}}$  avec  $n_{\text{aff}} = n_{\text{add}}$ ).

Par conséquent, le tracé d'un quart de cercle durerait:

$((2^{\text{puiss}(1/2)} * ((2 * n) + t_c) * R) / 2) + t_i'$  unités de temps

$t_i'$ : le temps de remplissage et d'initialisation des registres avec les valeurs appropriées (en unités de temps) (environ = 300 unités de temps).

La translation se fait sur un rectangle (pavé) de pixels. Donc pour translater un cercle (où un quart de cercle), on est obligé de trouver le rectangle qui encadrerait le cercle (où le quart de cercle).

C'est l'instruction "Pixblts" du TMS 34010 qui réalise la translation. Le temps d'exécution de cette instruction dépend de la taille du pavé de pixels à translater. Il est de:

$((4 * m * l) + 5 + t_s)$  unités de temps

$l$ : nombre de lignes du pavé de pixels.

$m$ : nombre de pixels par ligne.

$t_s$ : temps nécessaire à certaines initialisations (Setup time = 12)

Pour translater un cercle de rayon R, il faudrait translater le carré de côté  $(2 * R)$  qui contiendrait le cercle. Donc la translation d'un cercle de rayon R mettrait un temps de:

$$((4 * (2 * R)) * (2 * R)) + 5 + ts + ti'' \quad \text{unités de temps}$$

soit:

$$((16 * R) * R) + 5 + ts + ti''$$

$ti''$  : le temps de remplissage et d'initialisation des registres avec les valeurs appropriées (en unités de temps).

Donc le temps de tracé, en parallèle, des quatre quarts de cercle de rayon R par les 4 processeurs et de translation, par le hôte, de ces quatre quarts de cercle est de:

$$(((2^{\text{puiss}(1/2)}) * ((2 * n) + tc) * R) / 2) + ti' + 5 + ts + ti'' + ((16 * R) * R) \quad (1)$$

Ce qui nous donne:

$$Ti + (((2^{\text{puiss}(1/2)}) / 2) * ((2 * n) + tc)) + (16 * R) * R \quad (1)$$

$$\text{avec } Ti = ti' + 5 + ts + ti''$$

Alors que le temps du tracé du même cercle (c'est à dire de rayon R), à la position souhaitée, par un seul processeur serait de:

$$(((2^{\text{puiss}(1/2)}) / 2) * ((8 * n) + tc)) * R + ti \quad (2)$$

On peut négliger  $ti$  dans (2) et  $Ti$  dans (1).  $n$  est de l'ordre de 8. Ce qui nous donne:

$$(35 + (16 * R)) * R \quad (1)$$

$$67 * R \quad (2)$$

Pour un  $R < 2$ ,  $(1) < (2)$ , et pour un  $R \geq 2$ ,  $(1) \geq (2)$ . Donc pour un  $R \gg 2$ ,  $(1) \gg (2)$ .

Ce qui veut dire que, pour un rayon  $R$  beaucoup plus grand que 2, le temps du tracé de cercle, par les quatre processeurs, et la translation de ce dernier est beaucoup plus grand que celui du tracé du même cercle par un seul processeur.

A titre d'exemple, le traçage de 10 000 cercles (de centre (290, 210) et de rayon 130) par un seul processeur met un temps d'environ 9 secondes. Alors que le traçage de 10 000 quarts de cercle (au centre de l'écran et de rayon 130) plus leur translation (à leur position effective) met un temps d'environ 42 secondes.

Ceci nous montre, que cette configuration, ne marche pas très bien pour les tracés et les remplissages non centrés au centre de l'écran.

## 2- DEUSIEME CAS:

Cas où chaque processeur s'occupe de plusieurs pavés de pixels non contigus.

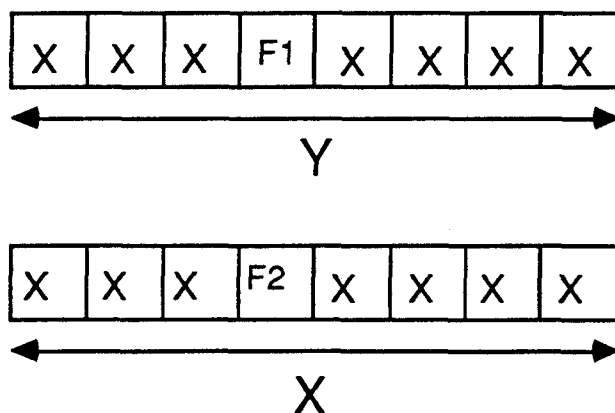


Fig 9



Certains tracés du TMS 34010 font appel à des commandes cablées comme: "Line", "Fill", "Draw",... etc, et à des symétries 1/8, 1/4, 1/2 cadrans pour les calculs des pixels (par exemple: le tracé de cercle).

En adoptant cette configuration, on ne pourrait plus profiter des commandes cablées, qui seraient plus rapides que des commandes logicielles, et des différentes symétries utilisées pour les calculs de pixels par le TMS 34010.

### **EXEMPLE:**

Pour quatre processeurs:

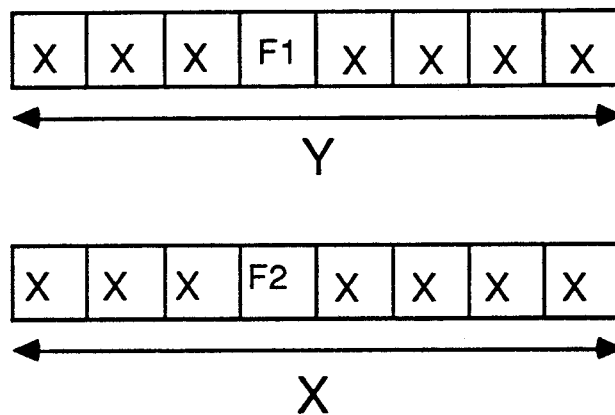


Fig 10

Les fenêtres sont de taille de 256 pixels (16 x 16).  
Les pavés sont de taille de 1024 pixels (32 x 32).

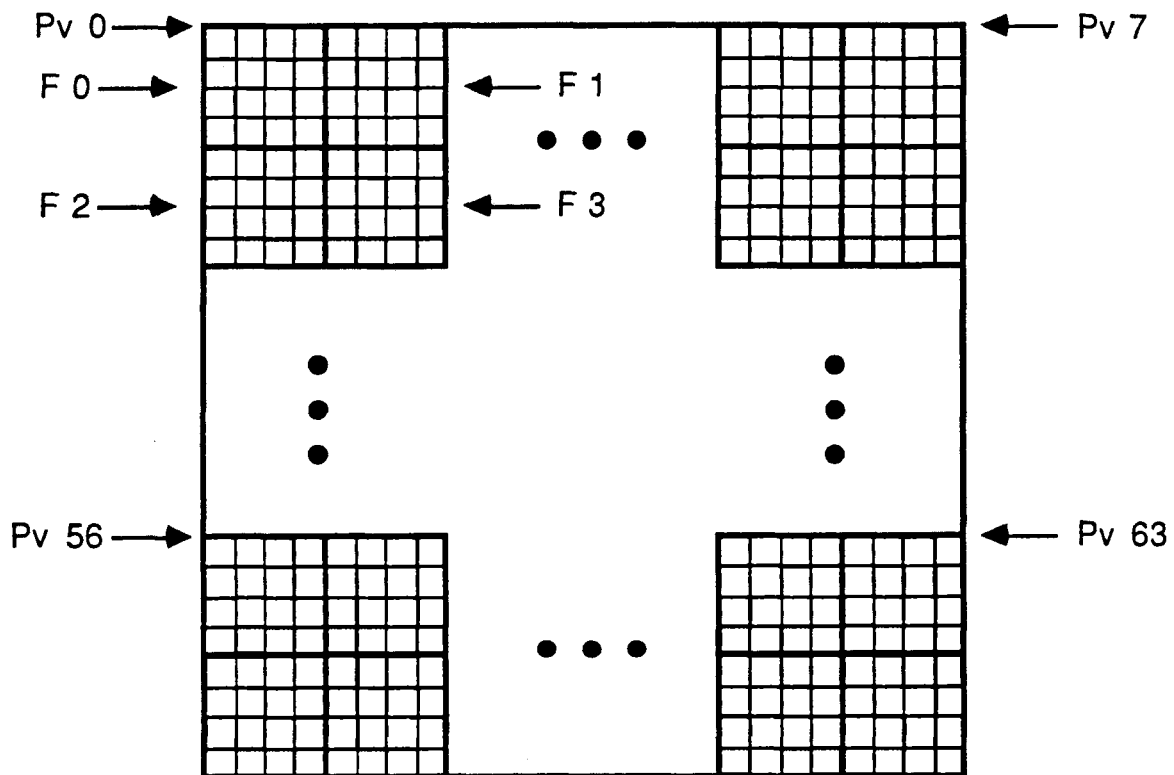


Fig 11

Donnons l'algorithme du tracé de ligne du TMS 34010.

**Algorithme:**

Lire Xi  
 Lire Yi  
 Mettre (Yi, Xi), B2  
 Lire Xf  
 Lire Yf  
 Mettre (Yf, Xf), B10  
 Mettre ((B10) - (B2)), B10  
**Si** (B10)y = 0 **Alors** aller à **Horiz Fsi**  
**Si** (B10)x = 0 **Alors** aller à **Vert Fsi**  
**Si** (B10)y > 0 **Alors** aller à **bpos Fsi**  
**Si** (B10)x > 0 **Alors** aller à **bneg-apos Fsi**  
**bneg-aneg:**  
 Mettre -(B10), B7  
 Mettre (-1, -1), B11

**aller à Comp-b-a**  
**bneg-apos:** Mettre  $(-(B10)y, (B10)x)$ , B7  
 Mettre  $(-1, 1)$ , B11  
 aller à **Comp-b-a**  
**bpos:** **Si**  $(B10)x > 0$  **Alors** aller à **bpos-apos Fsi**  
**bpos-aneq:** Mettre  $((B10)y, -(B10)x)$ , B7  
 Mettre  $(1, -1)$ , B11  
 aller à **Comp-b-a**  
**bpos-apos:** Mettre  $(B10)$ , B7  
 Mettre  $(1, 1)$ , B11  
**Comp-b-a:** Mettre  $(-1, -1)$ , B13  
 Mettre  $(0, (B7)y)$ , B0  
 Mettre  $(0, (B7)x)$ , B10  
**Si**  $(B10) \geq (B0)$  **Alors** aller à **a-ge-b Fsi**  
**a-lt-b:** Mettre  $(B0)$ , B10  
 Mettre  $(0, (B7)x)$ , B0  
 Mettre  $((B7)x, (B7)y)$ , B7  
 Mettre  $((B11)y, 0)$ , B12  
 Mettre  $(2 * (B0))$ , B0  
 Mettre  $((B0) - (B10))$ , B0  
 Mettre  $((B10) + 1)$ , B10  
**Si**  $(B11)y < 0$  **Alors** aller à **Ligne1 Fsi**  
**Ligne0:** Line 0  
 aller à **Fin**  
**a-ge-b:** Mettre  $(0, (B11)x)$ , B12  
 Mettre  $(2 * (B0))$ , B0  
 Mettre  $((B0) - (B10))$ , B0  
**Si**  $(B11)y > 0$  **Alors** aller à **Ligne0 Fsi**  
**Ligne1:** Line 1  
 aller à **Fin**  
**Horiz:** **Si**  $(B10)x = 0$  **Alors** aller à **Pixel Fsi**  
**Si**  $(B10)x > 0$  **Alors** aller à **Do-fill Fsi**  
 Mettre  $((B2) + (B10))$ , B2  
 Mettre  $(0, -(B10)x)$ , B10  
**Vert:** **Si**  $(B10)y \geq 0$  **Alors** aller à **Do-fill Fsi**  
 Mettre  $((B10) + (B2))$ , B2  
 Mettre  $(-(B10)y, 0)$ , B10  
**Do-fill:** Mettre  $(B10)$ , B7  
 Mettre  $((B7)y + 1, (B7)x + 1)$ , B7  
 Fill XY  
 aller à **Fin**

Pixel:            Drav B12, B2  
Fin:            End

En gros l'algorithme peut se résumer à:

- \* Saisie des 2 extrémités de la ligne à tracer (Yi, Xi) et (Yf, Xf)
- \* Tester    si (Yi, Xi) = (Yf, Xf)  
          alors tracer le pixel (Yi, Xi)  
          aller à Fin
- \* Tester    si c'est une horizontale  
          alors tracer l'horizontale  
          aller à Fin
- \* Tester    si c'est une verticale  
          alors tracer la verticale  
          aller à Fin
- \* Tester    si le tracé se fait dans la direction des y positifs  
          alors Line 0  
          sinon Line 1
- \* Fin

On remarque que l'algorithme du tracé de ligne du TMS 34010 utilise des commandes cablées comme: "Line", "Fill", "Drav",... etc. Certaines de ces commandes travaillent sur un ensemble de pixels. Alors que pour tracer une ligne par les quatre processeurs sur cette configuration, on est obligé de connaître les points d'intersection de la ligne avec les différents fenêtres et de travailler au niveau pixel (pour voir dans quelles régions se trouvent les différentes parties de la ligne et par conséquent connaître les processeurs correspondants qui devrait s'en occuper). Et pour connaître les points d'intersection, on est obligé de connaître tous les points de la ligne. Ce qui est contradictoire, puisqu'on ne connaît que les extrémités de la ligne et qu'on est censé tracer cette ligne par les quatre processeurs.

Donc, on sort avec la conclusion que cette configuration ne marche pas pour tout ce qui est tracés de base et remplissage.

**3- TROISIEME CAS:**

Cas où chaque processeur s'occupe d'un pavé limité à un pixel.

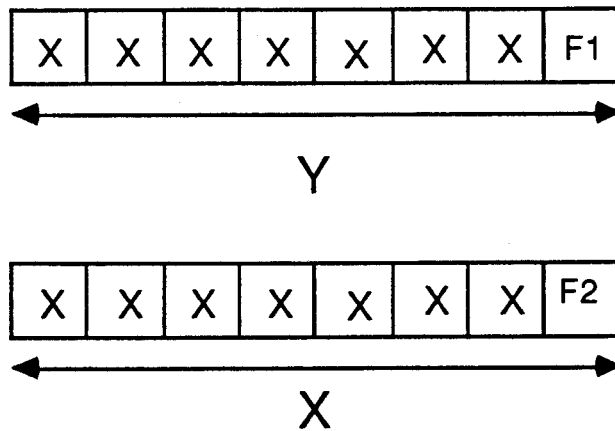


Fig 12

En adoptant cette configuration, on pourrait s'attendre à une augmentation de performances dans tout ce qui n'est pas traité par le TMS 34010 (remplissage , textures, anti-aliasage, ...). En effet, dans cette configuration, on ne se heurte plus aux problèmes de frontières posés par la configuration précédente.

**EXEMPLE:**

Pour quatre processeurs:

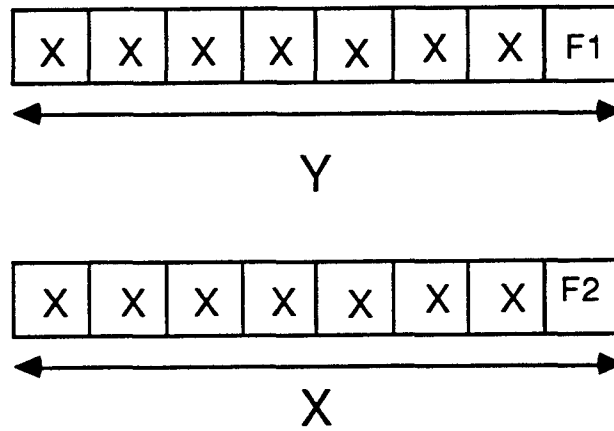


Fig 13

Les fenêtres sont de taille de 1 pixel (1 x 1).  
 Les pavés sont de taille de 4 pixels (2 x 2).

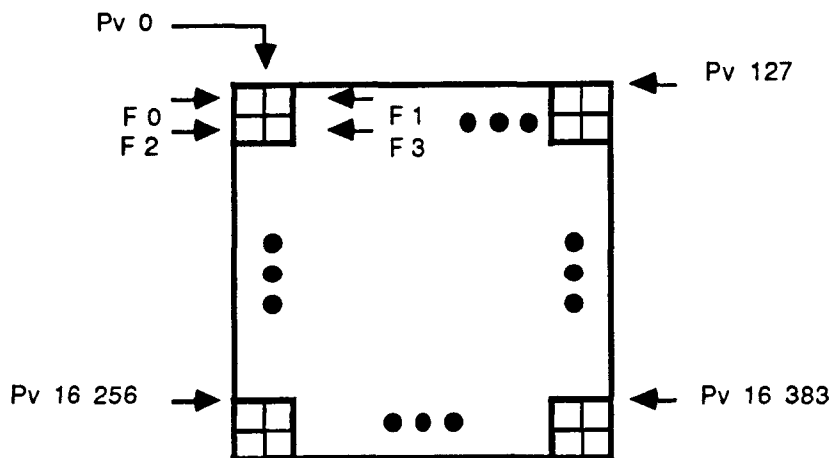


Fig 14

**B - LE PARTAGE PAR OBJET:**

Le partage par objet (où encore le partage de tâches) consiste à attribuer à chaque processeur un objet. L'ensemble de ces objets, traités en parallèle, forment une partie de l'image à afficher.

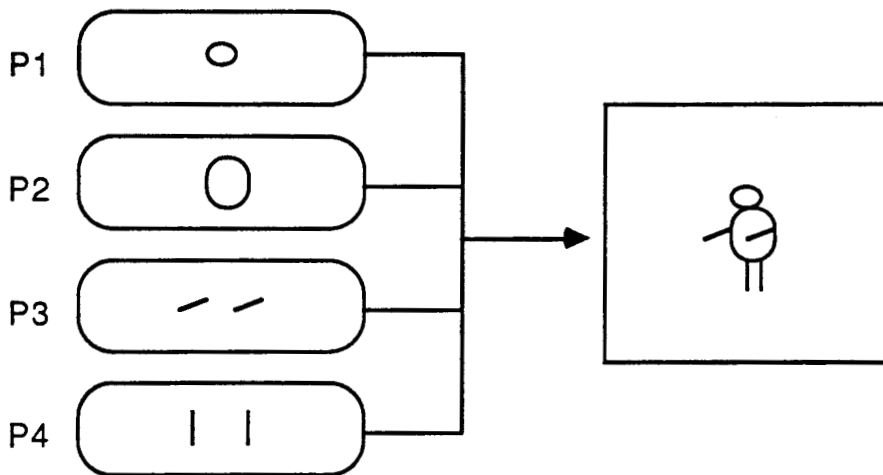


Fig 15

Le problème important concerne les conflits d'accès à la mémoire image.

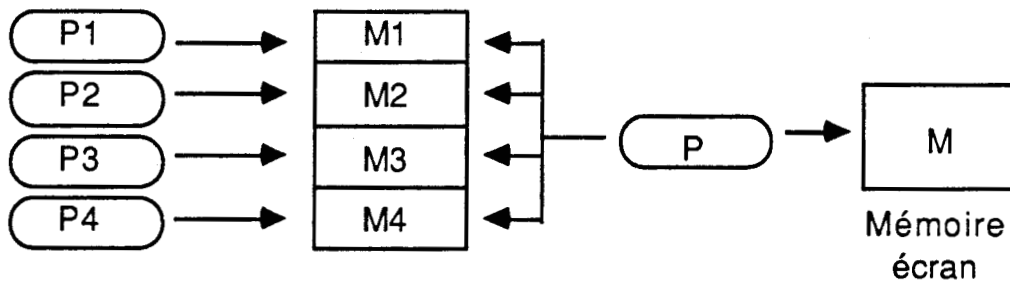


Fig 16

Dans cette configuration, nous utiliserons toutes les performances du TMS 34010 (Transfert de blocs de pixels, Tracé de segment, ...).

**IV - CONCLUSION:**

En résumé, l'approche pipeline est à rejeter puisque cette approche permet le regroupement de processeurs, chacun exécutant une tâche élémentaire, alors que le processeur spécialisé offre déjà toutes ces opérations. On retiendra du partage géométrique, le cas où le pavé est limité à un pixel qui pourrait donner de bons résultats pour toutes les opérations non traitées par le processeur spécialisé. On essaiera d'approfondir l'approche du partage par objet qui utiliserait toute la puissance des processeurs spécialisés.



## **CHAPITRE IV**

### **LE PARTAGE GEOMETRIQUE**

**SOMMAIRE**

I - Introduction	97
II - Le tracé de segment	97
1 - Algorithme du TMS 34010	98
2 - Application à la configuration (2x2)	101
3 - Application à la configuration (4x4)	108
4 - Performances	113
III - Le remplissage	113
A - Introduction	113
1 - Coloriage	114
2 - Remplissage	114
3 - Hachurage	114

B - Remplissage de tâches	115
C - Remplissage dans l'espace utilisateur	117
IV - Conclusion	120

## I - INTRODUCTION:

Dans ce chapitre, on va étudier, pour cette configuration, le tracé de segment et le remplissage. Pour le tracé de segment, il faudrait réécrire l'algorithme puisque celui du TMS 34010 utilise la commande cablée "Line", et par conséquent il est inutilisable en parallèle. Quand au remplissage, vu que le TMS 34010 ne traite que le cas particulier du remplissage d'un pavé rectangulaire de pixels, il nous faudrait trouver l'algorithme approprié pour le remplissage dans le cas général c'est à dire le cas d'une tâche polygonale quelconque.

## II - LE TRACE DE SEGMENT:

Dans ce paragraphe, on va aborder le tracé de segments qui est considéré comme l'outil le plus important de la réalisation d'un logiciel graphique. Le problème du tracé de lignes revient à trouver une approximation telle que l'oeil puisse reconstruire le segment de droite représenté. Plusieurs algorithmes ont été proposés ([Bre 65], [Ear 77], [Luc 74]) dont la caractéristique principale est d'éviter les opérations de multiplication et de division et de travailler en entiers. Deux algorithmes sont particulièrement intéressants, celui de Lucas et celui de Bresenham.

### Algorithme de Lucas:

Dans celui de Lucas, pour engendrer un segment, nous nous ramenons au premier octant. Et comme nous nous déplaçons, systématiquement à chaque pas, suivant l'axe des x, nous évaluons l'erreur commise sur les ordonnées si nous ne modifions pas y. Afin de la minimiser, il suffit de modifier y (en ajoutant 1) lorsque cette erreur atteindra ou dépassera l'unité.

### Algorithme de Bresenham:

Dans celui de Bresenham, pour générer un segment, nous déterminons, à chaque pas, le point le plus proche du segment idéal.

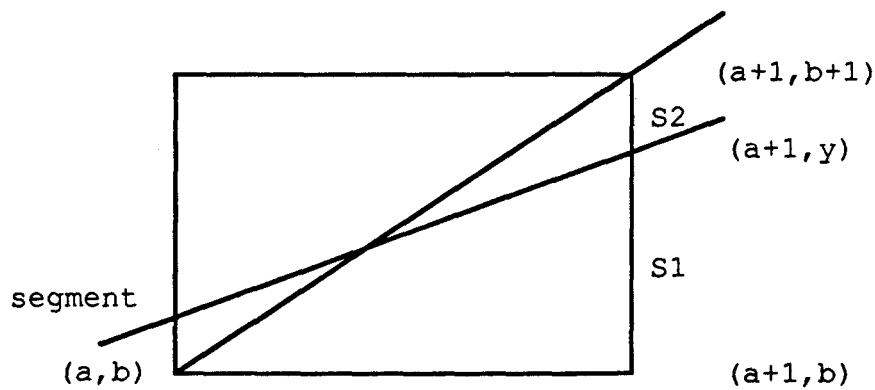


Fig 1

C'est pourquoi, nous évaluons de façon récurrente la différence  $(S1-S2)$  (voir Fig 1) en nous situant dans le premier octant:  
 Si  $(S1-S2) < 0$  nous effectuons un mouvement axial, sinon nous effectuons un mouvement diagonal.

On définit un segment de droite par la donnée des coordonnées de ses extrémités:



Fig 2

### 1 - L'algorithme du TMS 34010:

L'algorithme utilisé dans le TMS 34010 est l'algorithme de Bresenham:

```

§ saisir première extrémité (xi, yi)
§ saisir deuxième extrémité (xf, yf)
§ a = xf - xi
§ b = yf - yi
§ si (a = 0) et (b = 0) alors afficher le pixel (xi, yi)

```

```

    sinon si (a < 0) alors a = - a
                                sinon Dx1 = 1
                                finsi
    si (b < 0) alors b = - b
                                sinon Dy1 = 1
                                finsi
    si (b <= a) alors Dx2 = Dx1
                                sinon c = a
                                b = c
                                Dy2 = Dy1
                                finsi
    finsi
§ Er = (2 * b) - a
§ Ed = (2 * b) - (2 * a)
§ Ehv = 2 * b
§ c = a + 1
§ tester:
  si c'est une horizontale
  alors tracer l'horizontale (fill xy)
  sinon tester:
    si c'est une verticale
    alors tracer la verticale (fill xy)
    sinon tester:
      si le tracé se fait
      dans le sens des
      y positifs
      alors tracer la ligne
      (line 0)
      sinon tracer la ligne
      (line 1)
      finsi
    finsi
  finsi
§ fin

```



L'algorithme du tracé de lignes du TMS 34010 est un algorithme qui utilise la commande cablée "Line". Donc pour pouvoir paralléliser

l'algorithme du tracé de segments, il faut d'abord réécrire l'algorithme du TMS 34010 sans utiliser la commande cablée "Line" et puis seulement après s'intéresser à la parallélisation.

L'algorithme réécrit est le suivant:

```

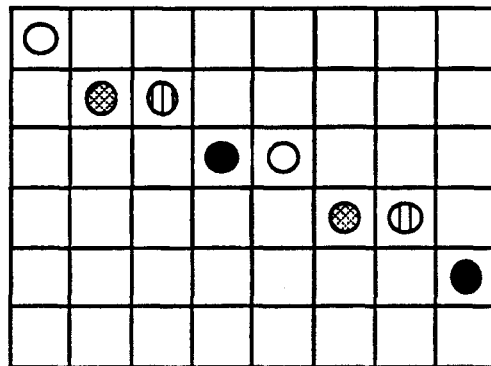
§ saisir première extrémité (xi, yi)
§ saisir deuxième extrémité (xf, yf)
§ a = xf - xi
§ b = yf - yi
§ si (a = 0) et (b = 0) alors afficher le pixel (xi, yi)
      sinon si (a < 0) alors      a = - a
                                       Dx1 = - 1
                                       sinon      Dx1 = 1
                                       finsi
      si (b < 0) alors      b = - b
                                       Dy1 = - 1
                                       sinon      Dy1 = 1
                                       finsi
      si (b <= a) alors      Dx2 = Dx1
                                       Dy2 = 0
                                       sinon
                                       c = a
                                       a = b
                                       b = c
                                       Dx2 = 0
                                       Dy2 = Dy1
                                       finsi
      finsi
§ Er = (2 * b) - a
§ Ed = (2 * b) - (2 * a)
§ Ehv = 2 * b
§ c = a + 1
§ tant que (c > 0) faire afficher le pixel (xi, yi)
      teste si (Er >= 0) alors      Er = Er + Ed
                                       xi = xi + Dx1
                                       yi = yi + Dy1
                                       sinon      Er = Er + Ehv
                                       xi = xi + Dx2
                                       yi = yi + Dy2
                                       finsi
      c = c - 1

```

§ fintq  
 § fin

## 2 - Application à la configuration (2x2):

Dans une configuration à quatre processeurs (2x2), la parallélisation revient à faire tracer les pixels du segment par les processeurs qui s'en occupent. Essayons de prendre un exemple:



- les pixels ○ : correspondent aux pixels du processeur P1
- les pixels ● : correspondent aux pixels du processeur P2
- les pixels ⊖ : correspondent aux pixels du processeur P3
- les pixels ⊗ : correspondent aux pixels du processeur P4

Fig 3

la parallélisation du tracé revient à essayer de faire tracer (en parallèle):

- les pixels 1 et 5 du segment par le processeur 1
- les pixels 2 et 6 du segment par le processeur 4
- les pixels 3 et 7 du segment par le processeur 3
- les pixels 4 et 8 du segment par le processeur 2



On remarque qu'en utilisant un Bresenham à pas de 2 et une condition sur l'erreur calculée, afin de décider de l'affichage du pixel ou non, on devrait arriver à cette parallélisation.

Intéressons nous maintenant au calcul d'erreur.

L'erreur commise lors d'un tracé de segment de droite dans une configuration à 1 seul processeur (1x1) est:

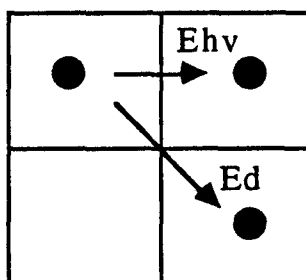


Fig 4

avec

$$b = \text{Min} (|x_f - x_i|, |y_f - y_i|)$$

$$a = \text{Max} (|x_f - x_i|, |y_f - y_i|)$$

$$E_{hv} = 2 * b$$

$$E_d = (2 * b) - (2 * a)$$

et l'erreur initiale

$$E_i = (E_{hv} + E_d) / 2 = (2 * b) - a$$

En transposant ceci sur une configuration parallèle à quatre processeurs (2x2), on trouve:

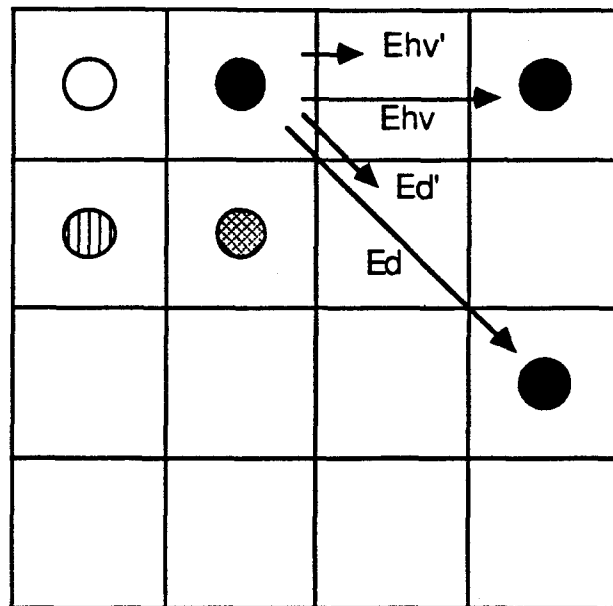


Fig 5

avec

$$Ei' = (Ehv' + Ed') / 2$$

Reste à exprimer  $Ehv'$  et  $Ed'$  en fonction de  $Ehv$  et  $Ed$ , qui représentent respectivement l'erreur horizontale-verticale et l'erreur diagonale dans une configuration à un seul processeur (1x1).

Du fait de l'utilisation d'un Bresenham à pas de 2, j'ai pris pour:

$$Ehv' = Ehv / 2 = b - a$$

$$Ed' = Ed / 2 = b$$

$$Ei' = Ei / 2 = ((2 * b) - a) / 2$$

La condition qui nous permet d'afficher où non le pixel calculé est:

$$(Ed / 2) \leq \text{Erreur} < (Ehv / 2)$$

Quand cette condition est vérifiée on affiche le pixel sinon on n'affiche pas et on passe au calcul du pixel suivant.

Essayons de nous intéresser à l'erreur initiale:

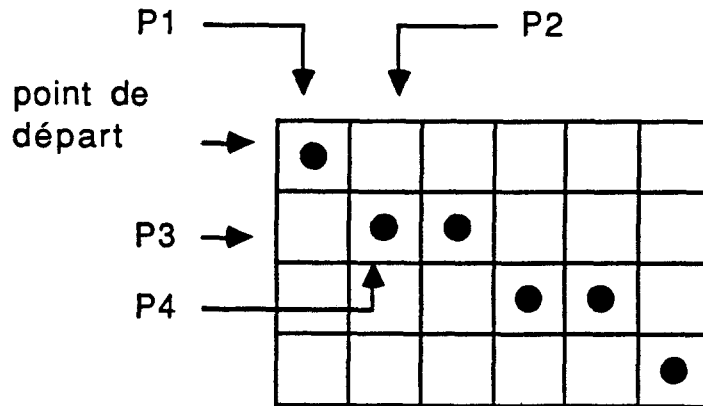


Fig 6

Le processeur par lequel passe le point de départ du segment est numéroté 1. Celui qui est à droite (ou à gauche) de ce point est numéroté 2, et celui qui est juste en dessous (ou au dessus) est numéroté 3.

**CAS 1:**

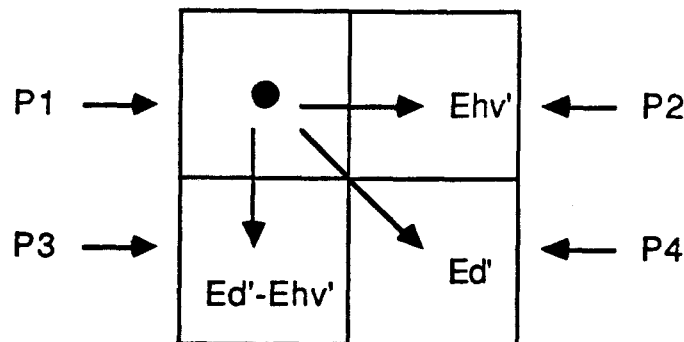


Fig 7

$$| x_f - x_i | \geq | y_f - y_i |$$

Dans ce cas l'erreur initiale du processeur:

$$P1 \text{ est } Ei1 = (Ehv' + Ed') / 2$$

$$P2 \text{ est } Ei2 = Ei1 + Ehv'$$

$$P3 \text{ est } Ei3 = Ei1 + Ed' - Ehv'$$

$$P4 \text{ est } Ei4 = Ei1 + Ed'$$

$$\text{D'où } Ei1 = (b + b - a) / 2 = ((2 * b) - a) / 2$$

$$Ei2 = (((2 * b) - a) / 2) + b = ((4 * b) - a) / 2$$

$$Ei3 = (((2 * b) - a) / 2) + b - a - b = ((2 * b) - (3 * a)) / 2$$

$$Ei4 = (((2 * b) - a) / 2) + b - a = ((4 * b) - (3 * a)) / 2$$

### CAS 2:

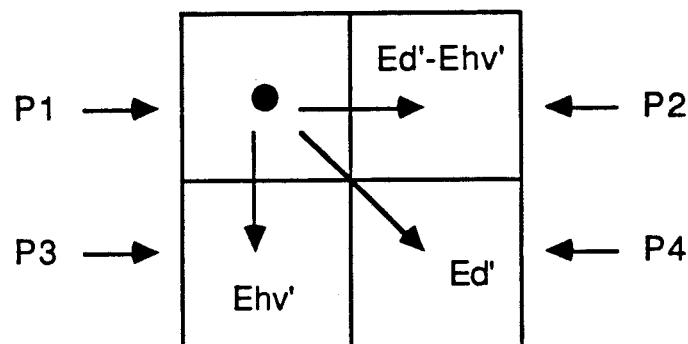


Fig 8

$$|xf - xi| < |yf - yi|$$

Dans ce cas l'erreur initiale du processeur:

$$P1 \text{ est } Ei1 = (Ehv' + Ed') / 2$$

$$P2 \text{ est } Ei2 = Ei1 + Ed' - Ehv'$$

$$P3 \text{ est } Ei3 = Ei1 + Ehv'$$

$$P4 \text{ est } Ei4 = Ei1 + Ed'$$

$$\text{D'où } Ei1 = (b + b - a) / 2 = ((2 * b) - a) / 2$$

$$Ei2 = (((2 * b) - a) / 2) + b - a - b = ((2 * b) - (3 * a)) / 2$$

$$Ei3 = (((2 * b) - a) / 2) + b = ((4 * b) - a) / 2$$

$$Ei4 = (((2 * b) - a) / 2) + b - a = ((4 * b) - (3 * a)) / 2$$

Comme on utilise un Bresenham à pas de 2, donc, pour un processeur, on calcule au maximum la moitié des points du segment. C'est pourquoi le compteur est initialisé à la moitié de la valeur du compteur utilisé dans le tracé de segment, dans le cas d'une configuration à 1 seul processeur (1x1).

On a pu remarquer que dans certains cas, on calcule et on affiche des pixels qui sont en dehors du tracé de segment. Ceci s'explique par le fait que dans certains cas: un des 4 processeurs ne devrait calculer qu'un nombre de pixels inférieur à celui initialisé (c'est à dire la valeur du compteur), ce qui fait qu'on calcule des points en plus et qui sont en dehors du segment. Et si le calcul d'erreur correspondant vérifie la condition d'affichage, on affichera le point.

#### Exemple de cas:

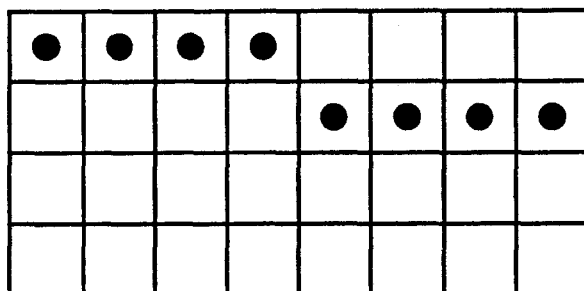


Fig 9

Pour remédier à ce problème, on introduit une condition dans l'algorithme. Cette condition est le test du point calculé avec le point de l'extrémité du segment, et dès que la condition n'est plus vérifiée, on arrête le calcul.

L'algorithme parallélisé du tracé de segment sur une configuration à 4 processeurs (2x2) est le suivant:

```

§ saisir première extrémité (xi, yi)
§ saisir deuxième extrémité (xf, yf)
§ saisir le n° du processeur (e)
§ a = xf - xi
§ b = yf - yi
§ si (a = 0) et (b = 0) alors afficher le pixel (xi, yi)
      sinon si (a < 0) alors      a = - a
                                       Dx1 = - 2
                                       sinon      Dx1 = 2
                                       finsi
      si (b < 0) alors      b = - b
                                       Dy1 = - 2
                                       sinon      Dy1 = 2
                                       finsi
      si (b <= a) alors      Dx2 = Dx1
                                       Dy2 = 0
                                       sinon      c = a
                                       a = b
                                       b = c
                                       Dx2 = 0
                                       Dy2 = Dy1
                                       finsi
finsi
§ Er = ((2 * b) - a) / 2
§ Ed = (2 * b) - (2 * a)
§ Ehv = 2 * b
§ c = (a / 2) + 1
§ Cd = b - a
§ Chv = b
§ tester:
  si      (Er est impair) et (Er < 0)
  alors      Er = Er - 1
  finsi
§ cas e dans:
  2: tester:  si      on est dans le cas | xf - xi | < | yf - yi |
              alors      Er = Er - Chv + Cd
              sinon      Er = Er + Chv
              finsi
  3: tester:  si      on est dans le cas | xf - xi | < | yf - yi |
              alors      Er = Er + Chv
              sinon      Er = Er - Chv + Cd

```

```

    finisi
4: Er = Er + Cd
  fincas
§ tant que (c > 0) et ((xi,yi) se trouve sur le segment) faire
  tester si (Cd <= Er) et (Er < Chv)
    alors afficher le pixel (xi, yi)
    finisi
  tester si (Er >= 0)
    alors Er = Er + Ed
        xi = xi + Dx1
        yi = yi + Dy1
    sinon Er = Er + Ehv
        xi = xi + Dx2
        yi = yi + Dy2
    finisi
  c = c - 1
§ fintq
§ fin

```

### 3 - Application à la configuration (4x4):

Le passage d'une configuration parallèle, à 4 processeurs (2x2), à une configuration parallèle, à 16 processeurs (4x4), se fait sans problème. Dans cette configuration, au lieu d'utiliser un Bresenham à pas de 2, on utilise un Bresenham à pas de 4. La seule différence entre les configurations est la suivante:

L'erreur commise lors d'un tracé de segment de droite dans une configuration à 16 processeurs (4x4) est:

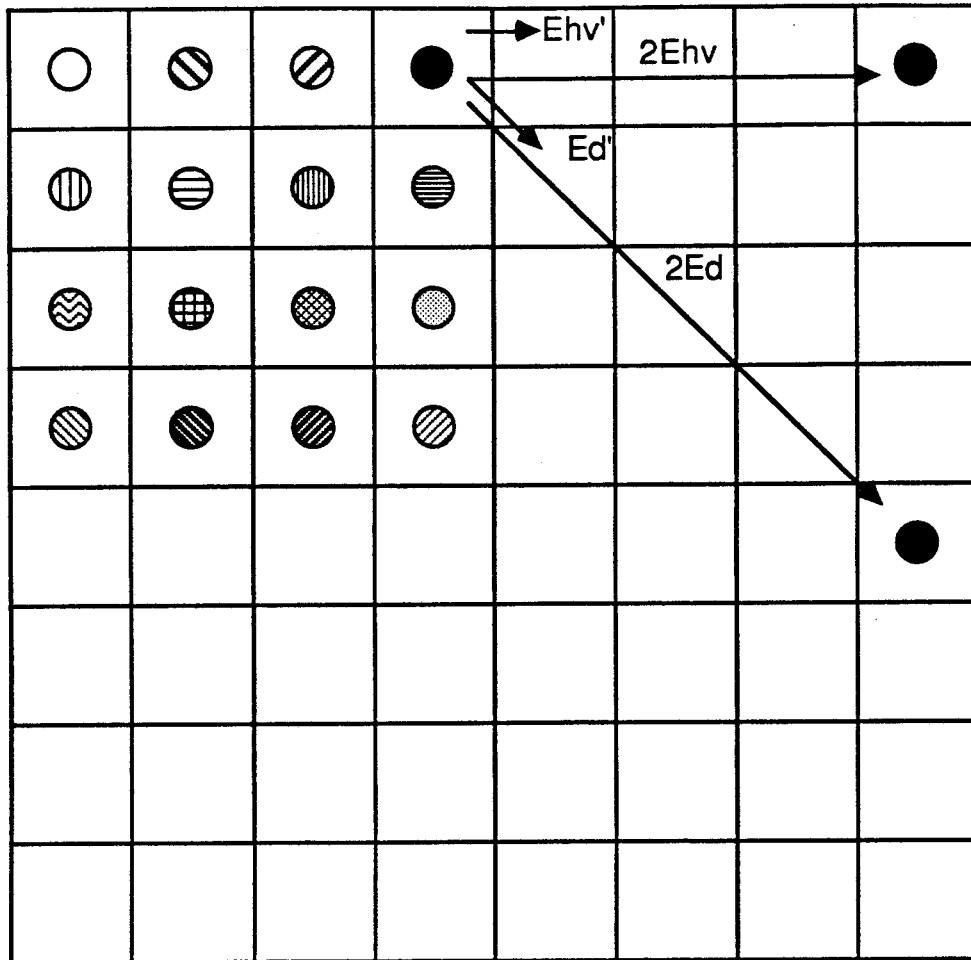


Fig 10

avec

$$E_{hv'} = (2 * E_{hv}) / 4 = E_{hv} / 2 = b$$

$$E_{d'} = (2 * E_d) / 4 = E_d / 2 = b - a$$

$$E_{i'} = (E_{hv'} + E_{d'}) / 2 = (E_{hv} + E_d) / 4 = E_i / 2$$

d'où

$$E_{i'} = ((2 * b) - a) / 2$$

Sinon pour le reste, il se déduit sans aucun problème de la configuration à 4 processeurs (2x2):



La condition d'affichage est la même c'est à dire:

$$(E_d / 2) \leq \text{Erreur} < (E_h / 2)$$

Le calcul d'erreur initiale se calcule de la même façon que dans le cas d'une configuration à 4 processeurs (2x2).

Le compteur du nombre de points à calculer est initialisé à la moitié de celui utilisé dans l'algorithme de la configuration à 4 processeurs (2x2) (puisque'on utilise un Bresenham à pas de 4).

Là aussi, on utilise le test du point calculé avec le point de l'extrémité du segment à tracer.

L'algorithme parallélisé du tracé de segments sur une configuration à 16 processeurs (4x4) est le suivant:

```

§ saisir première extrémité (xi, yi)
§ saisir deuxième extrémité (xf, yf)
§ saisir le n° du processeur (e)
§ a = xf - xi
§ b = yf - yi
§ si (a = 0) et (b = 0) alors afficher le pixel (xi, yi)
      sinon si (a < 0) alors a = - a
                                Dx1 = - 4
                                sinon Dx1 = 4
                                finsi
      si (b < 0) alors b = - b
                                Dy1 = - 4
                                sinon Dy1 = 4
                                finsi
      si (b <= a) alors Dx2 = Dx1
                                Dy2 = 0
                                sinon c = a
                                        a = b
                                        b = c
                                        Dx2 = 0

```

$$Dy2 = Dy1$$

finsi

finsi

§  $Er = ((2 * b) - a) / 2$

§  $Ed = (2 * b) - (2 * a)$

§  $Ehv = 2 * b$

§  $c = (a / 4) + 1$

§  $Cd = b - a$

§  $Chv = b$

§ tester:

si (Er est impair) et (Er < 0)

alors Er = Er - 1

finsi

§ cas e dans:

2: tester: si on est dans le cas  $|xf - xi| < |yf - yi|$

alors Er = Er - Chv + Cd

sinon Er = Er + Chv

finsi

3: tester: si on est dans le cas  $|xf - xi| < |yf - yi|$

alors Er = Er + (2 \* Cd) - (2 \* Chv)

sinon Er = Er + (2 \* Chv)

finsi

4: tester: si on est dans le cas  $|xf - xi| < |yf - yi|$

alors Er = Er + (3 \* Cd) - (3 \* Chv)

sinon Er = Er + (3 \* Chv)

finsi

5: tester: si on est dans le cas  $|xf - xi| < |yf - yi|$

alors Er = Er + Chv

sinon Er = Er - Chv + Cd

finsi

6: Er = Er + Cd

7: tester: si on est dans le cas  $|xf - xi| < |yf - yi|$

alors Er = Er + (2 \* Cd) - Chv

sinon Er = Er + Chv + Cd

finsi

8: tester: si on est dans le cas  $|xf - xi| < |yf - yi|$

alors Er = Er + (3 \* Cd) - (2 \* Chv)

sinon Er = Er + (2 \* Chv) + Cd

finsi

9: tester: si on est dans le cas  $|xf - xi| < |yf - yi|$

alors Er = Er + (2 \* Chv)

```

        sinon Er = Er - (2 * Chv) + (2 * Cd)
        finsi
10: tester: si on est dans le cas | xf - xi | < | yf - yi |
           alors Er = Er + Chv + Cd
           sinon Er = Er - Chv + (2 * Cd)
           finsi
11: Er = Er + (2 * Cd)
12: tester: si on est dans le cas | xf - xi | < | yf - yi |
           alors Er = Er + (3 * Cd) - Chv
           sinon Er = Er + Chv + (2 * Cd)
           finsi
13: tester: si on est dans le cas | xf - xi | < | yf - yi |
           alors Er = Er + (3 * Chv)
           sinon Er = Er - (3 * Chv) + (3 * Cd)
           finsi
14: tester: si on est dans le cas | xf - xi | < | yf - yi |
           alors Er = Er + (2 * Chv) + Cd
           sinon Er = Er - (2 * Chv) + (3 * Cd)
           finsi
15: tester: si on est dans le cas | xf - xi | < | yf - yi |
           alors Er = Er + Chv + (2 * Cd)
           sinon Er = Er - Chv + (3 * Cd)
           finsi
16: Er = Er + (3 * Cd)
   fincas
§ tant que (c > 0) et ((xi,yi) se trouve sur le segment) faire
  tester: si (Cd <= Er) et (Er < Chv)
         alors afficher le pixel (xi, yi)
         finsi
  tester: si (Er >= 0)
         alors Er = Er + Ed
                xi = xi + Dx1
                yi = yi + Dy1
         sinon Er = Er + Ehv
                xi = xi + Dx2
                yi = yi + Dy2
         finsi
  c = c - 1
§ fintq
§ fin

```

#### **4 - Performances:**

Le traçage de dix mille lignes (ligne allant du point (10, 300) au point (450, 15)) par l'algorithme non parallélisé et réécrit pour la configuration à 1 seul processeur (1x1) (n'utilisant pas la commande cablée "line" du TMS 34010) met un temps d'environ 12 secondes.

Le même traçage mais, cette fois ci, effectué par l'algorithme parallélisé correspondant à la configuration à 4 processeurs (2x2) met un temps d'environ 12 secondes. Ce qui voudrait dire qu'on ne gagne pas du tout en temps. Ceci s'explique par le fait qu'on a introduit plusieurs tests (nécessaires) dans notre algorithme parallélisé, comme: le test de l'erreur pour permettre l'affichage ou non du pixel, le test pour l'initialisation de l'erreur, et le test pour voir si le pixel calculé se trouve toujours sur le segment.

Alors que le même traçage, réalisé par l'algorithme parallélisé correspondant à la configuration à 16 processeurs (4x4) met un temps d'environ 8 secondes. Ce qui voudrait dire qu'avec cet algorithme, on gagne un tiers du temps d'exécution, et par conséquent, les tests, introduits dans l'algorithme, commencent à peser moins lourd.

### **III - LE REMPLISSAGE:**

#### **A - INTRODUCTION:**

Dans le remplissage de tâches, on distingue trois types de traitements:

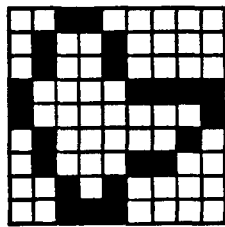
- Coloriage
- Remplissage proprement dit
- hachurage

### 1 - Coloriage:

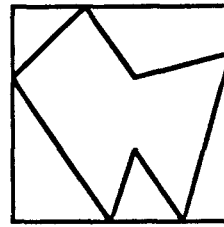
Dessiner point à point le contour d'une tâche puis peindre d'une couleur en utilisant un point intérieur: germe ("seed").

### 2 - Remplissage:

Remplir une tâche dont le contour est défini soit dans l'espace utilisateur soit préinscrit point par point dans une mémoire d'image.



Contour défini point  
par point  
dans la mémoire image



Contour polygonal  
défini dans  
l'espace utilisateur

Fig 11

L'algorithme de remplissage se décompose en deux phases:

- Préparation du contour: constitution d'une liste d'arêtes lorsqu'on raisonne dans l'espace utilisateur, où inscription et codage du contour dans une mémoire d'image (représentant l'écran).
- Remplissage de la tâche avec la couleur désirée.

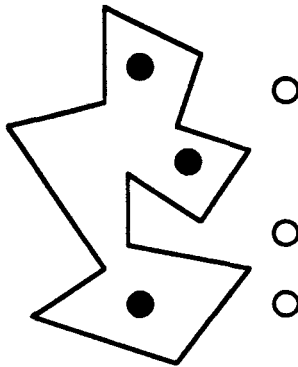
### 3 - Hachurage:

Utilisation de certaines techniques de remplissage ligne par ligne et en particulier les algorithmes de "suivi de contour".

Nous ne nous intéresserons ici qu'à la partie remplissage.

**B - REMPLISSAGE DE TACHES:**

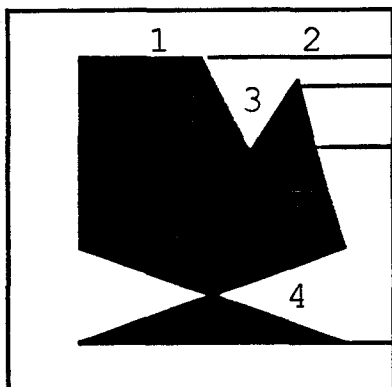
Pour exécuter l'algorithme, il faudrait que l'on sache si on est à l'intérieur ou à l'extérieur de la zone à remplir: d'où l'utilisation de l'algorithme du "contrôle de parité".



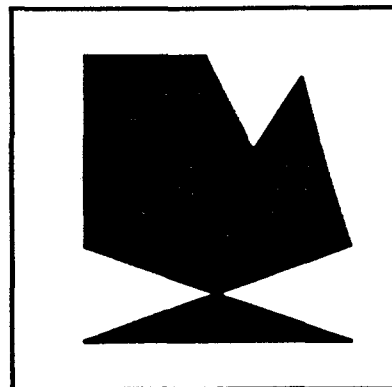
- : Point intérieur (nombre impair d'intersections)
- : Point extérieur (nombre pair d'intersections)

Fig 12

Mais l'application de cet algorithme, donne des résultats faux dans certains cas particuliers:

Exemple:

Erreurs de remplissage  
dus au "Contrôle de  
parité"



Remplissage correct

- 1- arêtes horizontales
- 2- sommets
- 3- recouvrements d'arêtes
- 4- points doubles

Fig 13

De ce fait, d'autres algorithmes ont été proposés pour remédier aux insuffisances de cet algorithme, et qu'on peut regrouper dans deux classes :

- Les techniques de balayage ligne par ligne, utilisées surtout dans le cas du codage de contour dans la mémoire image.
- Les techniques de suivi de contour, utilisées surtout dans le cas d'une description structurée de contour.

Le TMS 34010 ne propose pas d'algorithmes de remplissage où du moins de remplissage de tâches quelconques. Il présente une instruction cablée: "Fill" qui permet le remplissage d'une zone

rectangulaire. Nous ici, on propose un algorithme plus général, puisqu'il traite à priori toutes les tâches polygonales.

### C - REMPLISSAGE DANS L'ESPACE UTILISATEUR:

L'algorithme utilisé est l'algorithme de suivi de contour par complémentation.

Tout d'abord, on essaye de trouver le point le plus à droite de la tâche, qui nous servirait comme limite au moment du remplissage au lieu de remplir jusqu'au bord droit de l'écran.

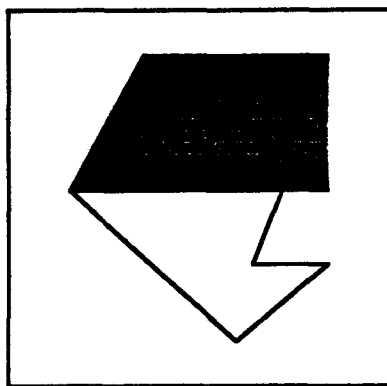
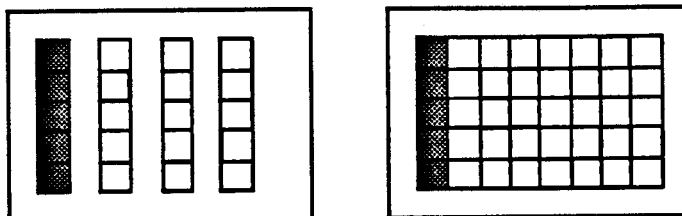


Fig 14

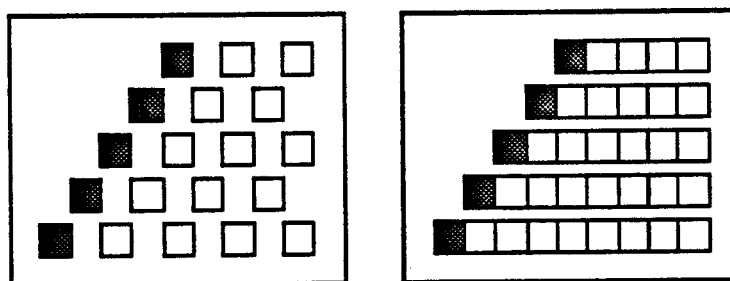
Après, on essaye de trouver le point le plus haut le plus à gauche du contour, qui va être notre point de départ. On prend comme sens de parcours du contour le sens contraire à celui des aiguilles d'une montre. Ensuite, on essaye de tracer le contour arête par arête. Pour le tracé de l'arête, on utilise un Bresenham de pas  $n$  pour une configuration  $n \times n$  processeurs. Tout en traçant un point d'une arête, on trace, par complémentation, la ligne correspondante et ce jusqu'au bord droit.

Suite à la configuration, il s'avère qu'on a des trous dans certains cas:





Arête verticale



Arête diagonale

Fig 15

Pour pallier çà, on essaye de dédoubler l'arête:

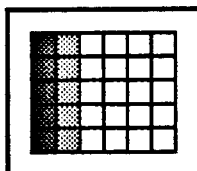


Fig 16

tout en interdisant la situation suivante:

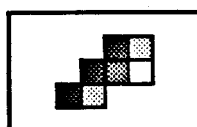


Fig 17

c'est à dire, là ou il n'y a pas de trous on ne dédouble pas (on n'affiche pas le pixel correspondant) puisqu'on utilise un algorithme de complémentation.

Ensuite, il fallait traiter le cas des horizontales:

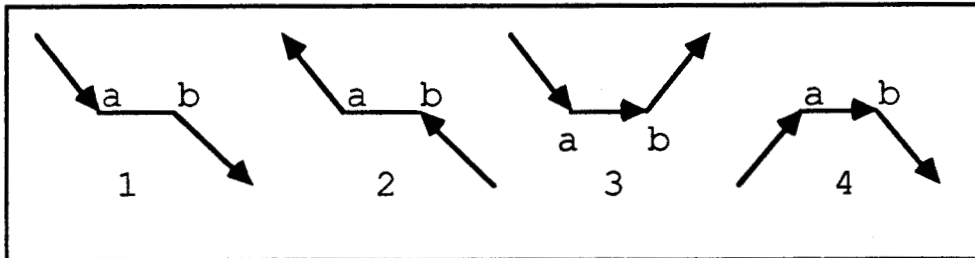


Fig 18

Dans les cas (1) et (2), le traitement de l'horizontale ab se résume au traitement du point b seulement. Tandis que dans les cas (3) et (4), il n'y a pas de traitement à faire, autrement dit, on ignore l'horizontale ab.

Après, il faut traiter le cas des points singuliers:

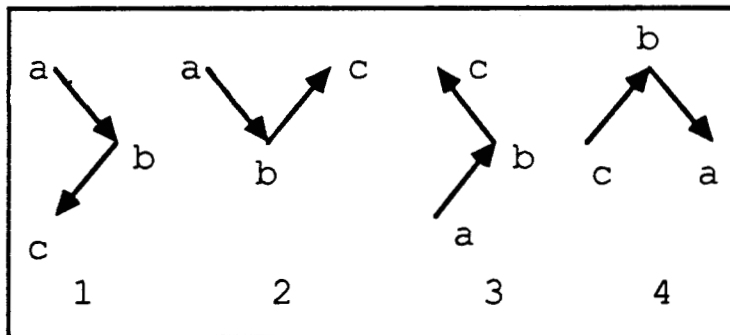


Fig 19

Dans les cas (2) et (4), il n'y a rien à faire: on traite normalement le segment ab puis seulement après le segment bc. A l'inverse, dans

les cas (1) et (3), on traite d'abord le segment ab, après le point b et seulement après, le segment bc.

Après avoir résolu les problèmes de trous, horizontales, points singuliers, on obtient un remplissage correct de la tâche, et ceci dans des temps très performants. En effet, les résultats de la simulation, nous ont montré que le remplissage, en parallèle, de 100 fois, d'une tâche polygonale d'environ 100 000 pixels, se fait en moins de 20 secondes. Alors que le remplissage, par un seul processeur, de 100 fois, de la même tâche, met un temps d'environ 62 secondes.

#### IV - CONCLUSION:

Le partage géométrique (cas du pavé limité à un pixel) nous permet d'obtenir de bonnes performances pour tous les tracés non traités par le TMS 34010 (remplissage, anti-aliassage, ...). L'inconvénient c'est que dans cette configuration, on n'utilise pas au maximum les performances des processeurs graphiques spécialisés (TMS 34010), comme le tracé de ligne cablé, le transfert de blocs de pixels, ...

## **CHAPITRE V**

### **LE PARTAGE OBJET**

**SOMMAIRE**

I - Introduction	125
II - Etude du partage objet	127
1 - Partage suivant le type d'objets	127
2 - Partage suivant les zones d'objets	129
3 - Partage suivant l'arborescence d'objets	132
III - Etude du partage suivant l'arborescence d'objets	135
1 - Problème de cohérence (composition)	136
2 - Processeur de cohérence	143
3 - Fonctionnement du processeur de cohérence	146
4 - Processeur maître	148
5 - Processeur objet	149
6 - Représentation des objets	149

---

7 - Répartition des tâches élémentaires	151
8 - Allocation de la mémoire de travail	157
9 - Communication	159
IV - Evaluation	159
V - Conclusion	163

## I - INTRODUCTION:

Le partage objet consiste en une décomposition d'une scène en plusieurs objets élémentaires (segment, cercle, rectangle, triangle), ou éventuellement en groupements de ces objets élémentaires, chacun étant traité par un processeur. Donc, à un instant donné, plusieurs objets élémentaires seront traités en parallèle.

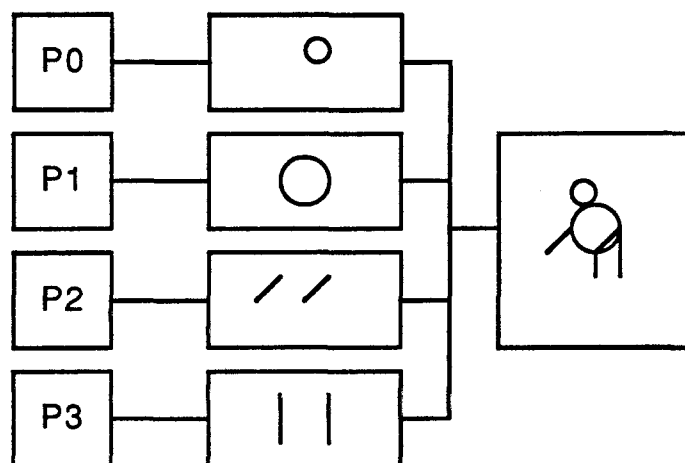


Fig 1

Parmi les caractéristiques fondamentales de cette solution on cite la facilité des traitements appliqués à l'objet. En effet, les traitements appliqués à l'objet tels que translation, rotation, remplissage, ..., sont plus faciles en utilisant les éléments simples résultant qu'en utilisant l'objet lui-même:

\* Un objet bien choisi c'est à dire simple, se caractérise par une description simple dans l'espace de construction.

### Exemple:

Un segment S se caractérise par la donnée des coordonnées de ces deux extrémités (2 triplets):  $(x_1, y_1, z_1)$ ,  $(x_2, y_2, z_2)$ .

La manipulation de cet objet repose donc sur des calculs appliqués aux paramètres de la description.

**Exemple:**

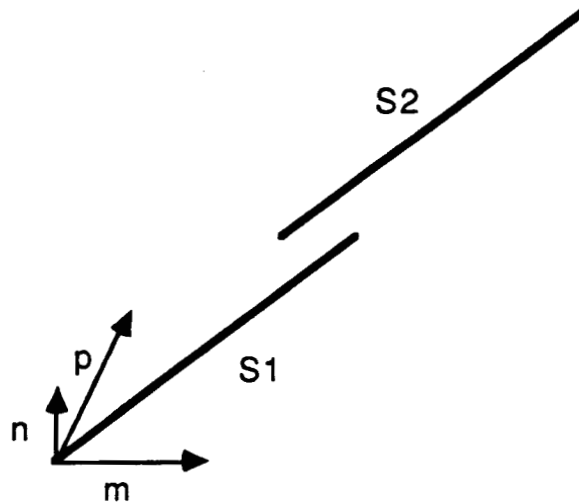


Fig 2

- m : translation suivant l'axe x
- n : translation suivant l'axe y
- p : translation suivant l'axe z
- S1 : segment à traduire
- S2 : segment traduit

Translation du segment:

$$\begin{array}{ll}
 x1 \rightarrow x1+m & x2 \rightarrow x2+m \\
 y1 \rightarrow y1+n & y2 \rightarrow y2+n \\
 z1 \rightarrow z1+p & z2 \rightarrow z2+p
 \end{array}$$

Donc la translation est réalisée en effectuant les six additions. Cette opération peut donc être confiée à un seul processeur pour tous les objets.



\* La projection de l'objet dans l'espace d'affichage (pixels) est beaucoup plus lourde en calcul (Bresenham sur segment s par exemple). C'est donc elle qu'il faut paralléliser.

## II - ETUDE DU PARTAGE OBJET:

Pour la réalisation du partage objet, on distingue trois possibilités:

- \* partage suivant le type d'objets (processeurs typés).
- \* partage suivant les zones d'objets.
- \* partage suivant l'arborescence d'objets.

### 1 - PARTAGE SUIVANT LE TYPE D'OBJETS:

Dans cette configuration, les processeurs objets sont typés, c'est à dire que chaque processeur objet traite un ou plusieurs types d'objets bien déterminés (exemple: les triangles). Tous les objets appartenant au même type seront traités par le même processeur objet.

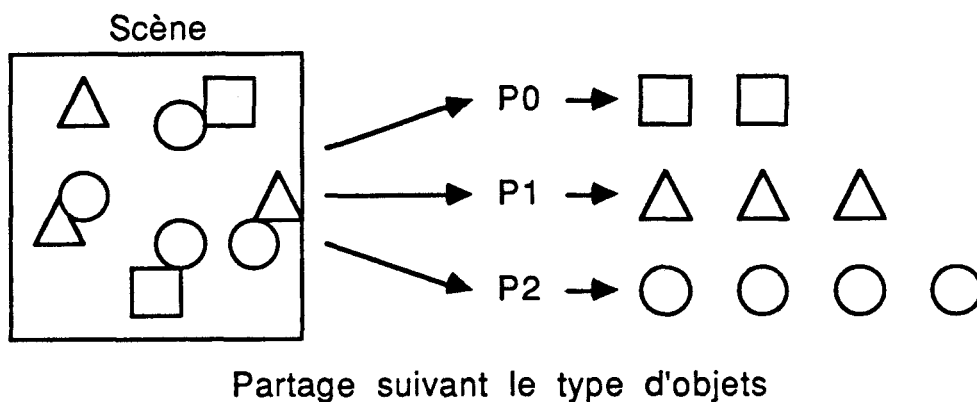


Fig 3

Parmi les problèmes qui apparaissent en étudiant cette configuration, on trouve:

a - Problème d'équilibrage de charges:

Du fait que chaque processeur objet s'occupe d'un type d'objet, le taux d'utilisation d'un processeur objet d'un type donné dépend directement de la scène. Si, par exemple, on se trouve en présence d'une scène composée seulement d'un type d'objet donné (triangle par exemple), la configuration parallèle se comportera comme une configuration séquentielle constituée d'un seul processeur actif. Dans cette configuration, dans la majorité des cas, il y aura certains processeurs objets qui vont fonctionner plus que d'autres. Donc, en adoptant cette configuration, il en résultera un problème d'équilibrage de charges.

b - Vitesse:

Du fait du non équilibrage de charges entre les processeurs objets, le temps d'exécution d'une scène donnée dépend du processeur objet qui a le plus d'objets élémentaires à traiter. Et comme, dans la plus part des cas, certains processeurs objets travaillent plus que d'autres, cette configuration n'est pas la plus performante au niveau temps d'exécution. Prenant l'exemple du cas particulier où la scène est composée d'un seul type d'objet, le temps d'exécution de cette scène, dans ce cas là, est celui d'une configuration séquentielle composée d'un seul processeur (puisque, dans ce cas là, il n'y a qu'un seul processeur objet qui va travailler). Par contre, la spécialisation d'un processeur permet d'espérer qu'il se montrera plus rapide dans l'exécution de sa tâche.

c - Impossibilité de traiter un groupement d'objets élémentaires:

Du fait que chaque processeur objet est typé, c'est à dire que chaque processeur objet traite un type d'objet donné, le processeur objet ne peut traiter un groupement d'objets élémentaires de types différents. Donc, dans cette configuration, la scène peut se décomposer en éléments simples et en groupements d'éléments élémentaires qui sont de même type. La composition est reportée sur une couche ultérieure de traitement.

Donc, cette configuration, ne nous permet pas d'optimiser les performances (et surtout au niveau temps d'exécution). Au contraire, d'autres problèmes apparaissent comme le problème d'équilibrage de charges et l'impossibilité de traiter des groupements d'objets élémentaires de types différents.

## 2 - PARTAGE SUIVANT LES ZONES D'OBJETS:

Tout d'abord, essayons de préciser qu'est ce qu'une zone ? Une zone peut être définie dans deux espaces:

\* Soit dans un espace 3D qui est l'espace de création.

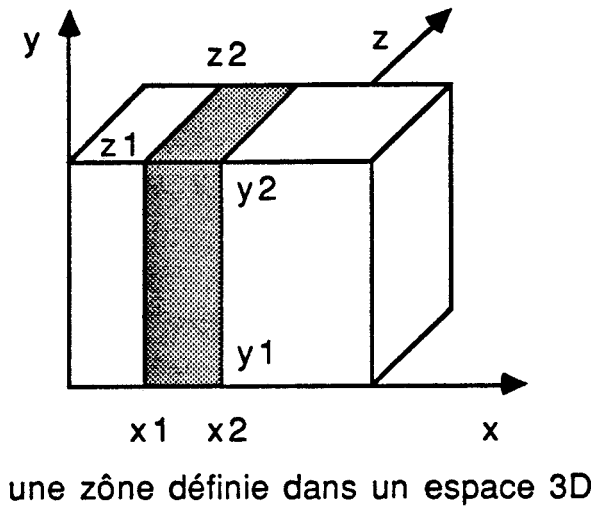


Fig 4

\* Soit dans un espace 2D qui est la projection de l'espace de création.

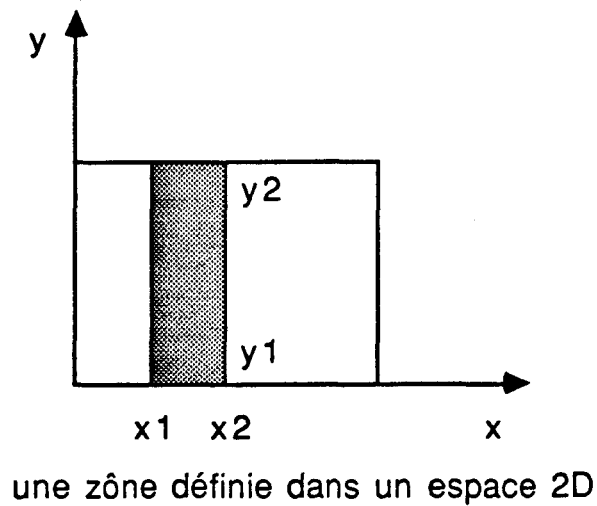
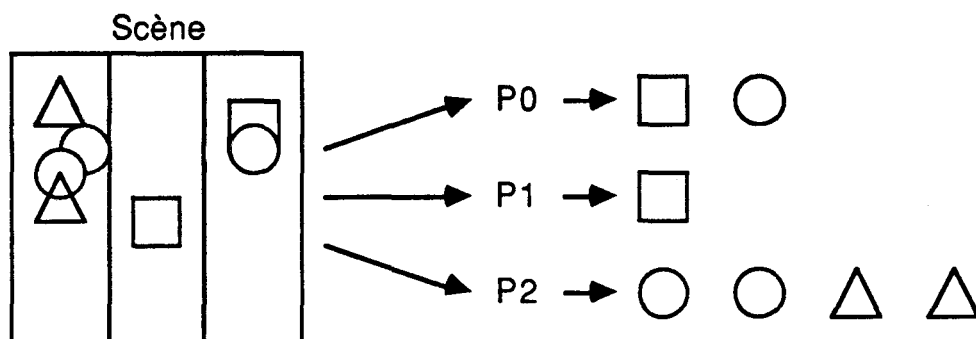


Fig 5

Dans cette configuration, on va affecter à chaque processeur objet une zone de la scène. Tous les objets appartenant à la même zone, seront traités par le même processeur objet.



Partage suivant les zones d'objets

Fig 6

Parmi les problèmes qui apparaissent en étudiant cette configuration, on trouve:

a - Problème d'équilibrage de charges:

Du fait que chaque processeur objet s'occupe d'une partie de la scène, le taux d'utilisation d'un processeur objet donné dépend directement de la scène. Donc, si par exemple, on se trouve en présence d'une scène contenue dans une seule zone, notre configuration parallèle se comportera comme une configuration séquentielle constituée que d'un seul processeur. Dans cette configuration, dans la plus part des cas, il y aura certains processeurs objets qui vont travailler plus que d'autres. Donc, cette configuration, induit également un problème d'équilibrage de charges.

b - Vitesse:

Du fait du non équilibrage de charges entre les processeurs objets, le temps d'exécution d'une scène donnée dépend du processeur objet qui s'occupe de la zone qui renferme le plus d'objets élémentaires. Et comme, dans la plus part des cas, il y a certains processeurs objets qui travaillent plus que d'autres, cette configuration n'est pas la plus performante au niveau temps d'exécution. Prenant l'exemple du cas particulier où la scène entière est contenue dans une seule zone, le temps d'exécution de cette scène, dans ce cas là, est celui d'une configuration séquentielle composée d'un seul processeur (puisque, dans ce cas là, il n'y a qu'un seul processeur objet qui va travailler).

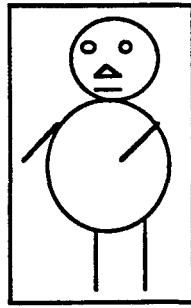
c - Problème de la localisation d'objets mobiles:

Un autre problème apparaît, c'est celui de la localisation des objets mobiles (dans le cas d'une animation). Effectivement, ces objets mobiles ne peuvent être localisés, vu qu'ils sont mobiles continuellement (images mobiles). Donc, ça sera difficile de déterminer la zone à laquelle ils appartiennent et par conséquent le processeur objet qui devrait s'en occuper.

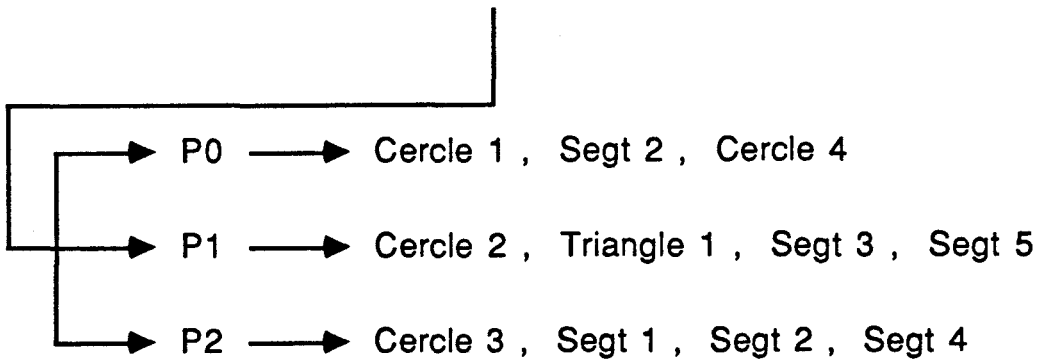
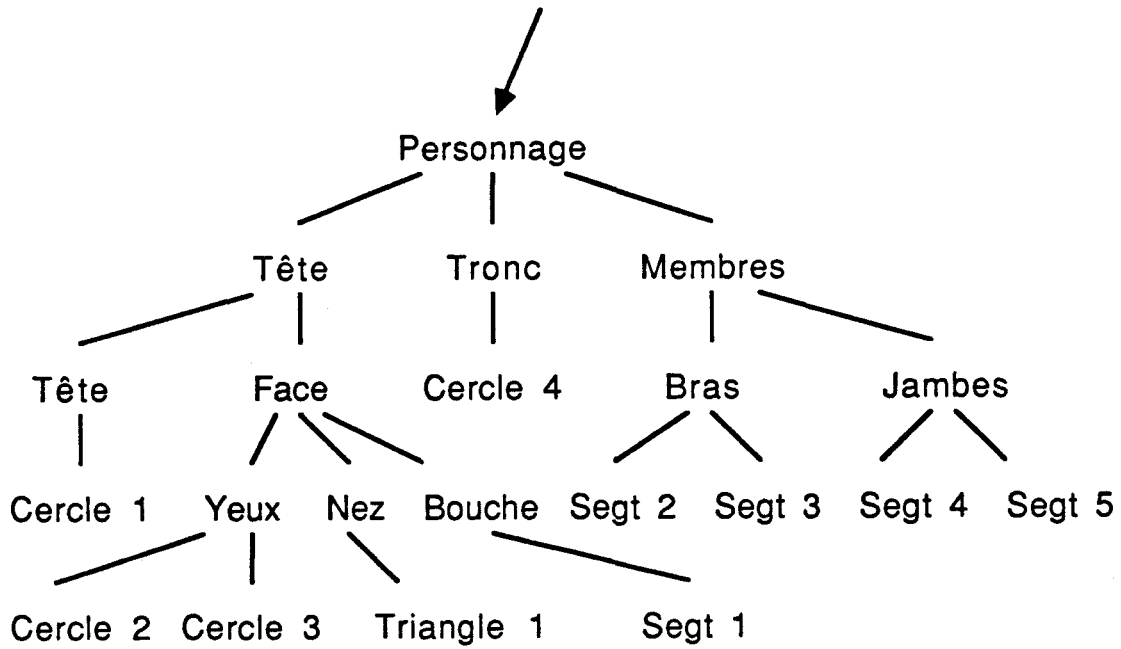
Donc, cette configuration, ne nous permet pas d'optimiser les performances (et surtout au niveau temps d'exécution). Au contraire, d'autres problèmes apparaissent comme le problème d'équilibrage de charges et le problème de la localisation des objets mobiles.

**3 - PARTAGE SUIVANT L'ARBORESCENCE D'OBJETS:**

Dans cette configuration, la scène sera représentée par un arbre dont les feuilles seront les objets (éléments simples: segment, cercle, triangle, rectangle). On va affecté à chaque processeur objet une feuille de l'arborescence, ce qui correspond à un objet de la scène.



Scène



Partage suivant l'arborescence d'objets

Fig 7

Dans cette configuration, pour la répartition des tâches sur les processeurs objets, on adoptera la technique du "premier libre, premier servi". Du fait de l'utilisation de cette technique, pour la répartition des tâches, les processeurs objets auront presque la même charge à condition qu'ils aient tous la même compétence. Donc, dans cette configuration, le problème d'équilibrage de charges ne se pose pas. Par conséquent, cette configuration est la plus performante (au niveau temps d'exécution), vu que dans la plus part des cas, tous les processeurs objets auront le même travail à fournir. Ici, le problème du traitement des groupements, composés d'objets élémentaires de types différents, ne se pose pas, puisque les processeurs objets ne sont pas typés. Quand au problème de la localisation d'objets mobiles, il n'existe pas dans cette configuration. En effet, il n'y a pas lieu de localiser les objets élémentaires.

En résumé, l'approche suivant le type d'objets est à rejeter puisque celle-ci pose le problème d'équilibrage de charges, celui de l'impossibilité de traiter un groupement d'objets élémentaires de types différents. En plus, cette approche ne permet pas d'avoir de bonnes performances. La configuration suivant les zones d'objets est à rejeter aussi, puisque cette dernière pose le problème d'équilibrage de charges et celui de la localisation d'objets mobiles. Et elle n'est pas la plus performante. Par contre, on retiendra l'approche suivant l'arborescence d'objets puisque celle-ci nous permet d'obtenir de très bonnes performances et ne pose aucun des problèmes posés par les autres configurations.



### III - ETUDE DU PARTAGE SUIVANT L'ARBORESCENCE D'OBJETS:

Le système, répondant au partage suivant l'arborescence d'objets, proposé ici, est le suivant:

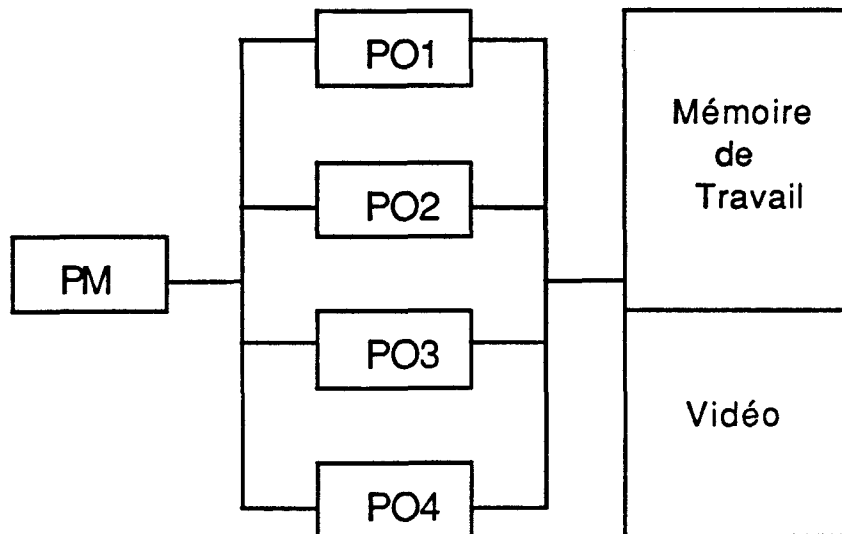


Fig 8

Il se compose d'un processeur maître, d'un certain nombre de processeurs objets, d'un processeur de cohérence, d'une mémoire de travail et d'une mémoire image.

Le problème se pose au niveau de la représentation des images en sortie des processeurs objets. On distingue trois solutions:

\* Connecter directement les sorties des processeurs objets à la mémoire image. Ce qui nécessite d'avoir une mémoire à plusieurs accès. Ce qui est très coûteux. Ceci nécessite aussi d'avoir un mécanisme de gestion de conflits (qui risquent d'être nombreux).

\* Mettre des buffers à la sortie des processeurs objets pour récupérer les objets. Il faut aussi, avoir un circuit spécialisé qui videra les buffers pour mettre les données correspondantes dans la mémoire image. Cette solution est très coûteuse. En effet, les

buffers doivent être d'une taille importante pour représenter la mémoire image. Du fait que le circuit spécialisé travaille pixel par pixel, cette solution n'offre pas de très bonnes performances.

\* Mettre une mémoire classique de travail à la sortie des processeurs, et avoir un processeur qui s'occupe du transfert de l'objet, de la mémoire de travail vers la mémoire image. Cette solution exige du processeur d'une part, de travailler par blocs de pixels, et d'autre part, d'être très rapide. On retiendra cette solution, dans le sens où le processeur peut être le TMS 34010, puisque ce dernier est rapide et permet de travailler par blocs de pixels. Cette solution nous permet d'obtenir de bonnes performances. Nous utiliserons cette solution.

Un autre problème se pose: c'est celui de la composition d'images (ou de la cohérence).

### 1 - PROBLEME DE COHERENCE (COMPOSITION):

Supposons que deux processeurs objets traitent deux objets A et B. Le problème de cohérence se pose dans le cas où ces deux objets A et B se superposent. Il se pose au moment de l'affichage.

#### Exemple:

Soient deux objets A et B traités respectivement par les processeurs objets P0 et P1.

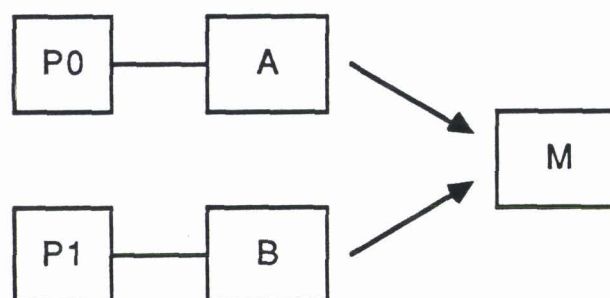


Fig 9

On suppose que ces deux objets, A et B, se superposent. On prend, par exemple, comme objet A, un rectangle, et comme objet B, un cercle.

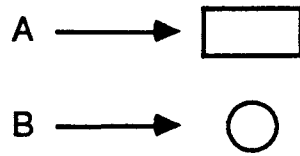


Fig 10

Le problème se pose au moment de l'affichage. On a le choix entre deux possibilités: l'objet A en premier plan, ou l'objet B en premier plan.

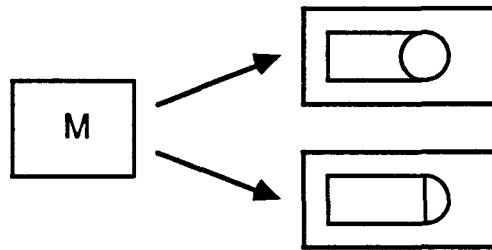


Fig 11

Pour résoudre ce problème de composition d'objets, on distingue trois solutions:

\* Analyser la scène afin de trouver la liste des objets qui se superposent. Trier cette liste d'objets suivant la profondeur. Une fois le tri réalisé, on traitera cette liste d'objets séquentiellement en partant de l'objet le plus profond. Du fait de l'utilisation du traitement séquentiel, cette solution ne permet pas d'avoir de bonnes performances.

\* Dans cette deuxième solution, au lieu de traiter la liste d'objets, qui se superposent, séquentiellement, on va la traiter en parallèle, tout en leur appliquant, avant de les ranger dans la

mémoire, un algorithme de z-buffer. Ce z-buffer travaillera pixel par pixel. Suite à ceci, la solution ne donne pas de bonnes performances.

\* La troisième solution consiste à traiter la liste d'objets (triés suivant la profondeur), qui se superposent, en parallèle et charger un autre processeur (appelé processeur de cohérence) de leur rangement en mémoire. Cette solution exige de ce processeur d'être rapide et de travailler par blocs de pixels. On peut d'ailleurs, considérer ce processeur comme constitué de deux ADM, l'un en lecture, l'autre en écriture, plus un interpréteur de commandes. Cette solution nous permet d'obtenir de bonnes performances. Nous utiliserons cette solution.

Donc, pour résoudre le problème, où plusieurs objets sont superposés, le processeur maître devrait analyser la scène afin de la trier suivant la profondeur. Ce qui permettra d'optimiser ou de garantir la cohérence. Une fois le tri réalisé, il demandera au processeur de cohérence de transférer les objets mais suivant l'ordre déterminé auparavant (ordre suivant la profondeur).

**Exemple:**

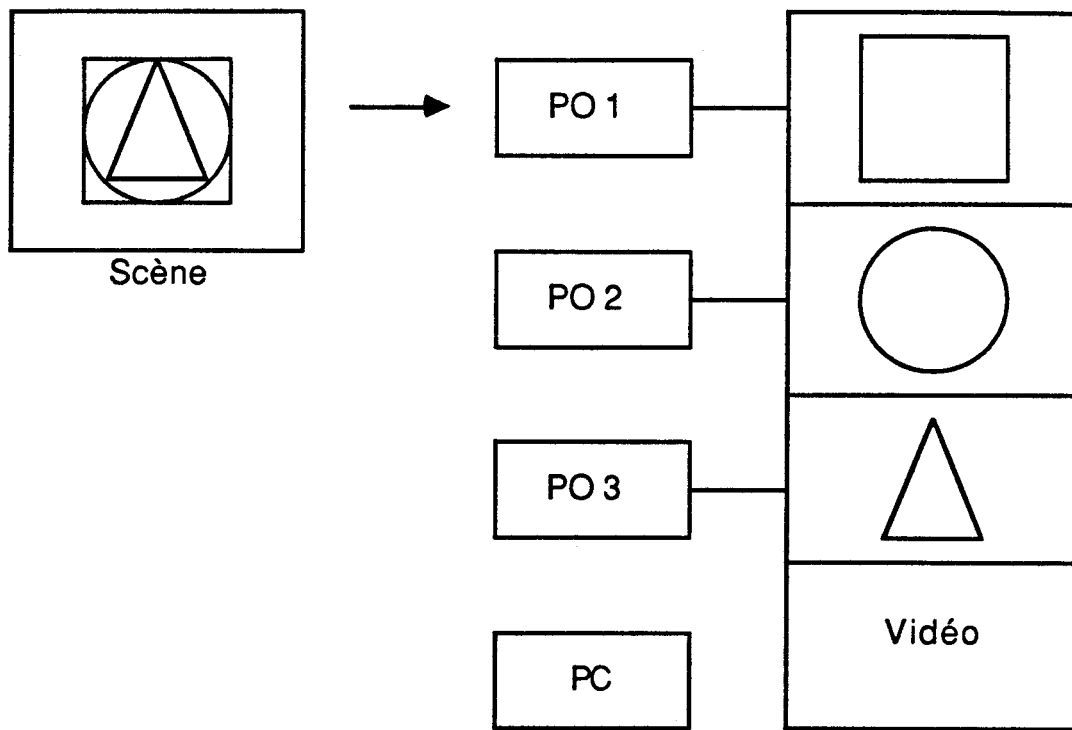


Fig 12

Le processeur maître demandera, au processeur de cohérence, de transférer d'abord le bloc 1, puis le bloc 2, et seulement après le bloc 3.

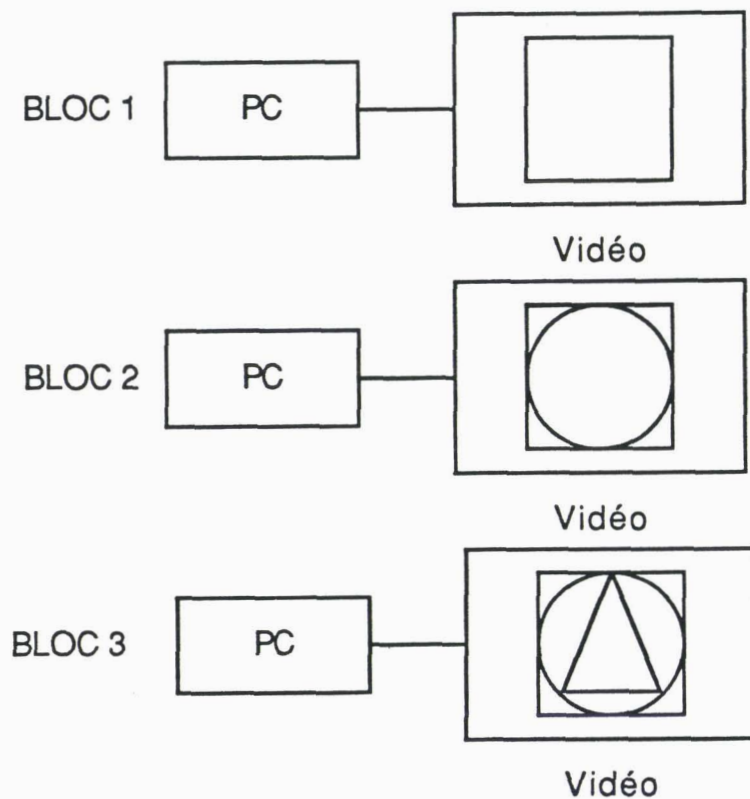


Fig 13

Le problème n'est pas simple pour les objets composés.

**Exemple:**

Soient les deux objets composés, A et B, suivants:

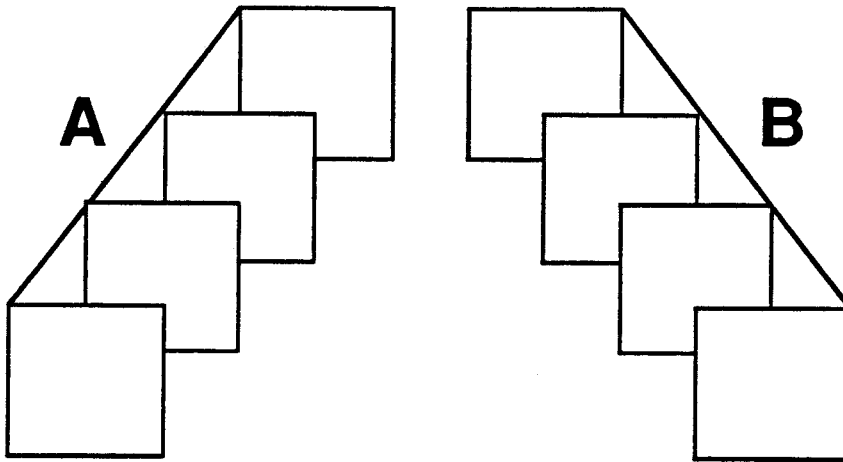


Fig 14

Le problème se pose au moment de la détermination de la position de l'un par rapport à l'autre (suivant la profondeur):

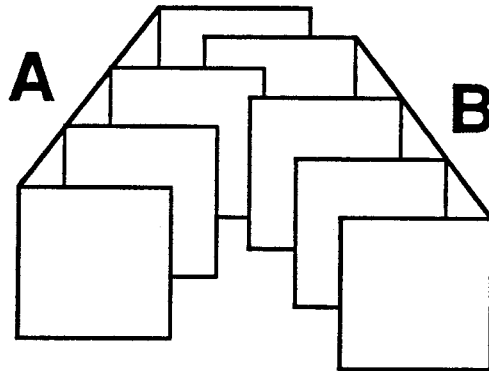


Fig 15

On résoudra ce problème en décomposant ces objets composés en éléments simples.

**Exemple:**

Pour l'objet A, on obtient:

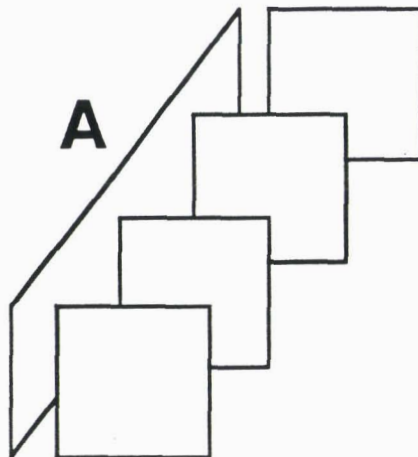


Fig 16

On peut avoir affaire aussi, à des objets définis avec un attribut logique (ou, et, ou exclusif, max, min, ... etc), arithmétique (+, -, ...), ou voir même un attribut de transparence. Ceci exige du processeur de cohérence de posséder des opérations travaillant, à une vitesse importante, sur des blocs de pixels et avec des attributs logique, arithmétique, ou de transparence, ... etc. Ces opérations ne sont offertes que par des processeurs graphiques spécialisés. Ce qui veut dire que le processeur de cohérence doit être un processeur graphique spécialisé. Donc, en utilisant un TMS 34010 comme processeur de cohérence, on aura résolu ce problème. En effet, l'opération, de transfert de blocs de pixels, est une opération qui est offerte (avec les opérateurs logiques, arithmétiques, transparence, ... etc), à très grande vitesse, par le TMS 34010. Ceci justifie le choix de cette solution, puisqu'elle permet d'utiliser toutes les caractéristiques et performances du TMS 34010.



Donc le schéma global de cette configuration suivant l'arborescence d'objets est le suivant:

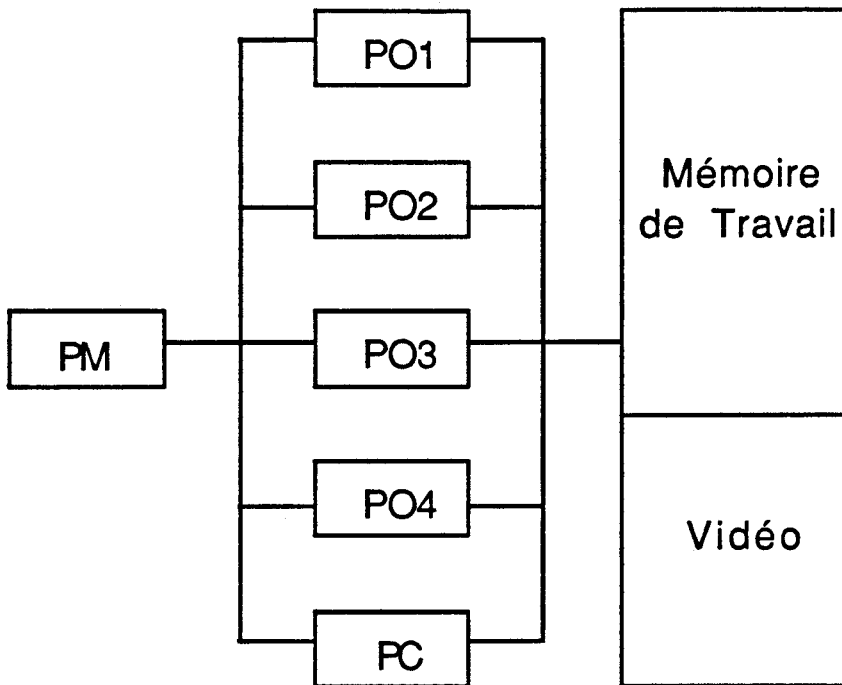


Fig 17

Cette configuration se compose: d'un processeur maître PM, d'un certain nombre de processeurs objets  $PO_i$ , d'un processeur de cohérence PC, d'une mémoire de travail et d'une mémoire image.

## **2 - PROCESSEUR DE COHERENCE:**

C'est le processeur qui s'occupe du transfert d'un objet de la mémoire de travail vers la mémoire image. Dès qu'il reçoit, du processeur maître, l'ordre d'un transfert d'un objet, il envoie, au processeur maître, un accusé de réception et seulement après qu'il commence son transfert. Le problème de la cohérence est résolu par ce processeur dans le sens où c'est lui qui traite les attributs logiques, arithmétiques, de transparence. Mais, pour ce qui est des objets superposés, c'est le processeur maître qui s'occupe, après analyse de la scène, du tri des objets suivant la profondeur, et qui envoie, au processeur de cohérence, leur demande de transfert suivant cet ordre là. Un cas particulier est celui où la scène

comporte beaucoup d'objets identiques et semblables. Dans ce cas, le processeur maître se contentera d'en traiter un seul, et en dupliquera autant de fois qu'il y en a dans la scène. Donc, il n'y aura qu'un seul objet de la série qui sera traité par un processeur objet. Et au moment du transfert, on demandera au processeur de cohérence de transférer ce bloc autant de fois qu'il y en a dans la scène, et aux positions voulues de la scène. Donc, grâce au processeur de cohérence, on peut profiter du phénomène de la duplication qui nous permet de gagner beaucoup de temps.

### Exemple:

Suite à certaines commandes explicites de duplication, le processeur maître, constate qu'il a affaire au même objet. Donc, il demande à un processeur objet de faire le traitement de cet objet:

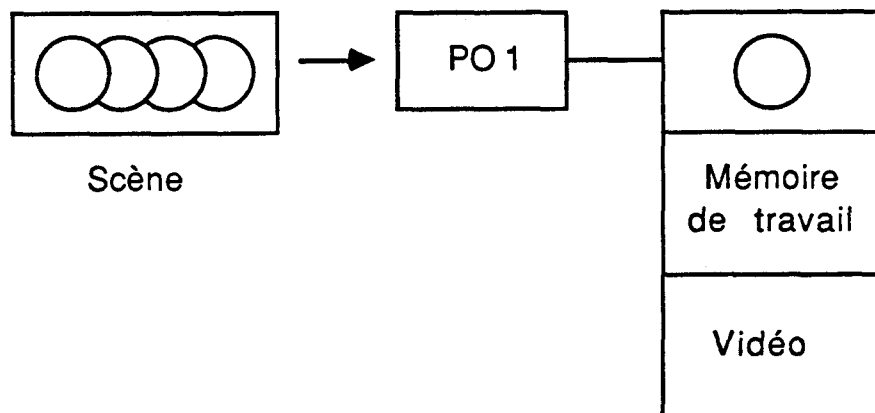


Fig 18

Après, il demande, au processeur de cohérence, de transférer 4 fois le même bloc, aux positions prises sur la scène:

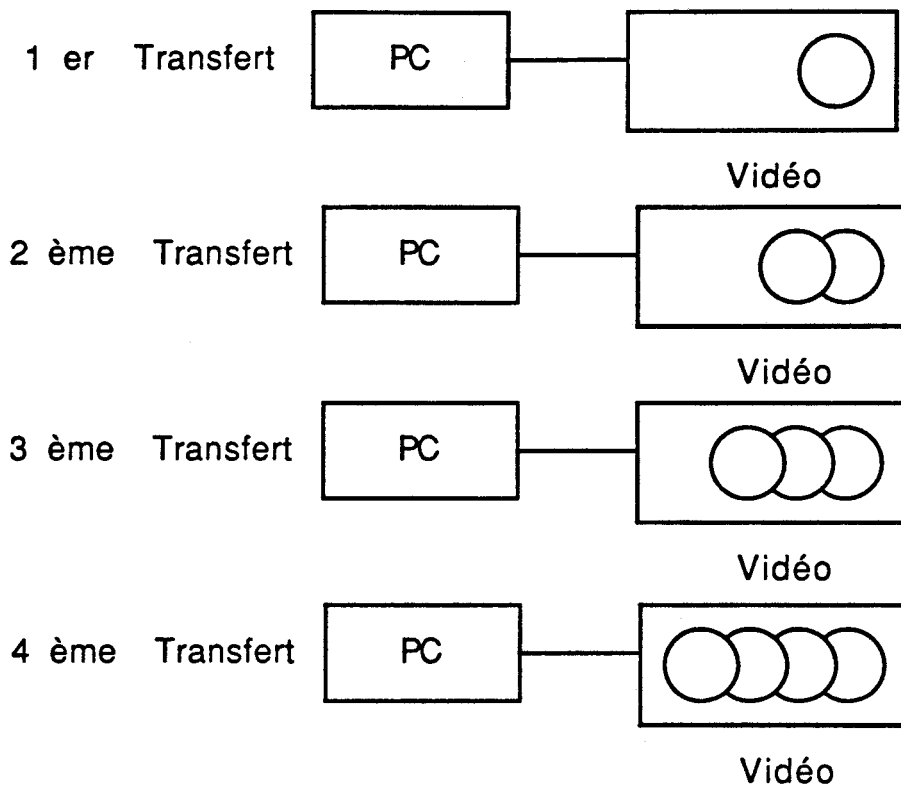


Fig 19

Après l'exécution du transfert, le processeur de cohérence envoie un message, au processeur maître, lui indiquant la fin du transfert et qu'il est prêt à exécuter un autre transfert. Mais, pour accélérer d'avantage le processus de transfert, il est préférable de faire appel à une file (une FIFO) qui va contenir tous les transferts à exécuter. Cette file sera intercalée entre le processeur maître et le processeur de cohérence. Elle sera alimentée par le processeur maître.

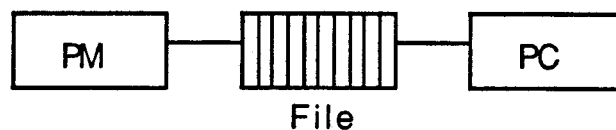


Fig 20

Donc, dès que le processeur de cohérence termine son transfert, il consulte la file. Si, la file n'est pas vide, il cherchera le prochain transfert à faire et commence à l'exécuter. Il peut aussi, comme les processeurs objets, traiter une tâche représentant un objet ou une partie de la scène. En fait, on peut représenter, l'état du processeur de cohérence, par un automate fini à 2 états: état occupé, état inoccupé.

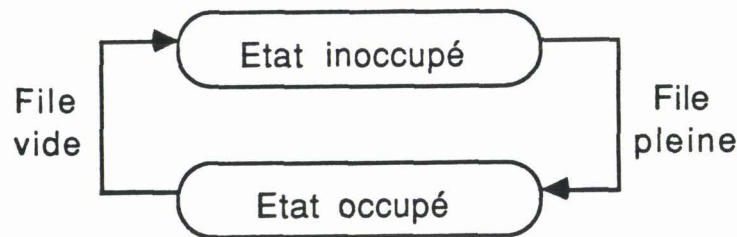


Fig 21

### 3 - FONCTIONNEMENT DU PROCESSEUR DE COHERENCE:

Dès que le processeur maître reçoit un message d'un processeur objet lui indiquant la fin de traitement d'un objet, le processeur maître dépose un message, dans la file, au processeur de cohérence dans lequel il lui demande d'accomplir la tâche du transfert de l'objet de la mémoire de travail vers la mémoire image avec éventuellement un traitement d'attribut logique, arithmétique, où de transparence à faire. Le processeur de cohérence, en consultant la file, trouve le message, après quoi il commence le transfert demandé. Une fois que le processeur de cohérence, termine son transfert, il ira consulter la file à la recherche d'un autre transfert à exécuter.

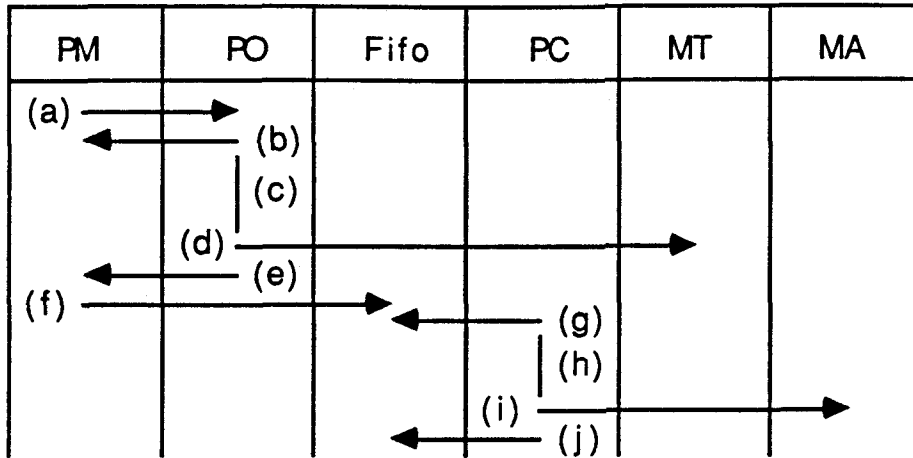


Fig 22

- PM : processeur maître  
 PO : processeur objet  
 Fifo : file de transfert  
 PC : processeur de cohérence  
 MT : mémoire de travail  
 MA : mémoire d'affichage  
 (a) : demande de traitement d'un objet  
 (b) : envoi d'accusé de reception  
 (c) : traitement de l'objet  
 (d) : objet produit dans la mémoire de travail  
 (e) : fin de traitement de l'objet  
 (f) : demande de transfert de l'objet  
 (g) : consultation de la file de transfert  
 (h) : transfert de l'objet  
 (i) : objet transféré dans la mémoire d'affichage  
 (j) : consultation de la file de transfert

#### 4 - PROCESSEUR MAITRE:

Mis à part des tâches classiques (gestion E/S, gestion d'interruptions, gestion de la mémoire, ...), il s'occupe de l'analyse et du découpage de la scène en éléments simples (triangle, rectangle, cercle, segment, ...), et de leur distribution sur les processeurs objets. Il peut aussi, comme les processeurs objets, traiter une tâche représentant un objet ou une partie de la scène. Il s'occupe aussi, de la recherche des objets de la scène, qui se superposent, et de leur tri suivant la profondeur.

Pour la décomposition d'objets complexes en éléments simples, plusieurs algorithmes ont été développés. La raison de l'existence de tels algorithmes est la facilité des traitements appliqués à l'objet. En effet, les traitements appliqués à l'objet tels que translation, rotation, remplissage, ..., sont plus faciles en utilisant les éléments simples résultants qu'en utilisant l'objet lui-même.

#### Exemple:

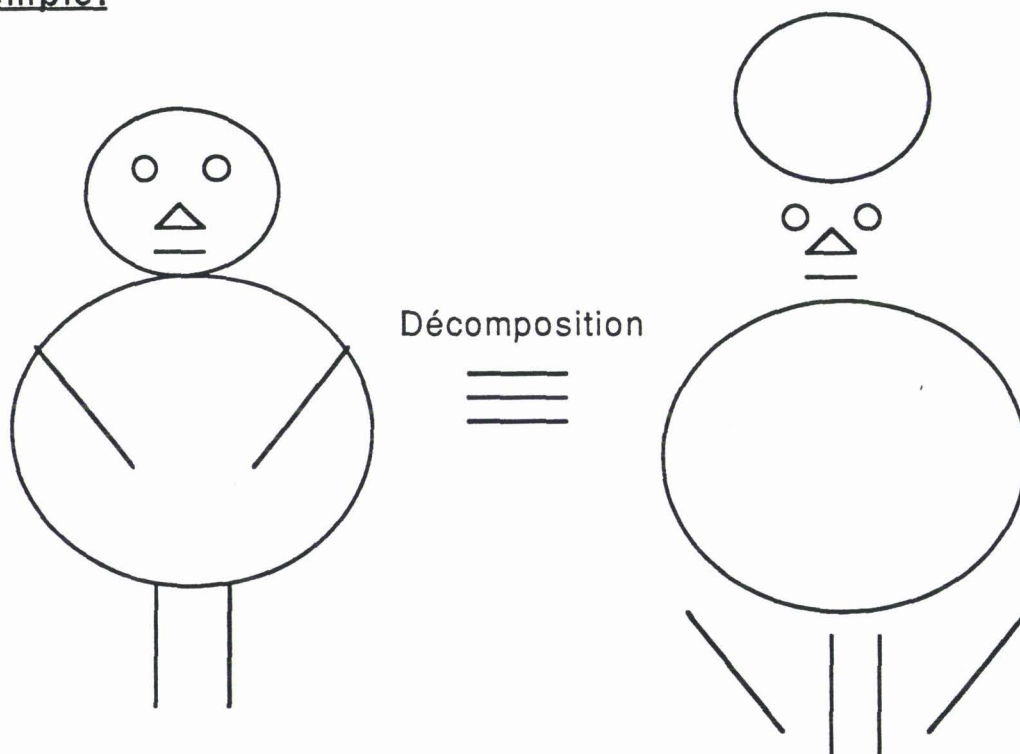


Fig 23

## 5 - PROCESSEUR OBJET:

C'est le processeur qui s'occupe de l'exécution de la sous-tâche. Dès qu'il reçoit, du processeur maître, la sous-tâche à traiter, il envoie, au processeur maître, un accusé de réception et seulement après qu'il commence à traiter la sous-tâche. Le problème de la cohérence n'est traité qu'au niveau du processeur de cohérence. Après l'exécution de la sous-tâche, le processeur objet envoie un message au processeur maître lui indiquant la fin d'occupation du processeur objet. En fait, là aussi, on peut représenter l'état du processeur objet par un automate fini à 2 états: état occupé, état inoccupé.

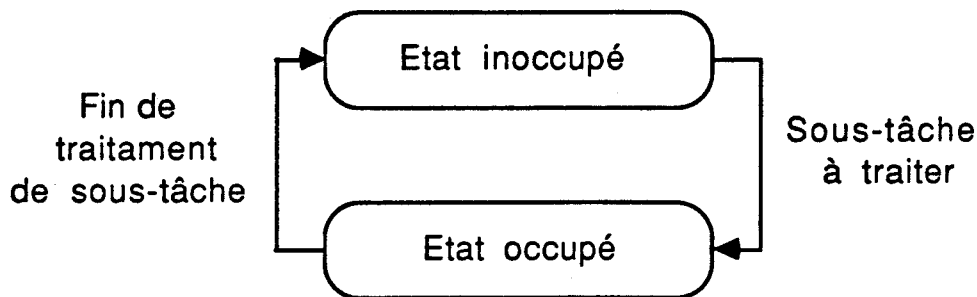


Fig 24

Chaque processeur objet est identifié par un numéro unique c'est à dire qu'on ne peut pas trouver deux processeurs objets identifiés par le même numéro.

## 6 - REPRESENTATION DES OBJETS:

Pour la représentation des objets, on adoptera la structure de l'arbre. Donc, un objet complexe sera représenté par un arbre, dont les feuilles seront les éléments simples (segment, cercle, rectangle, triangle).

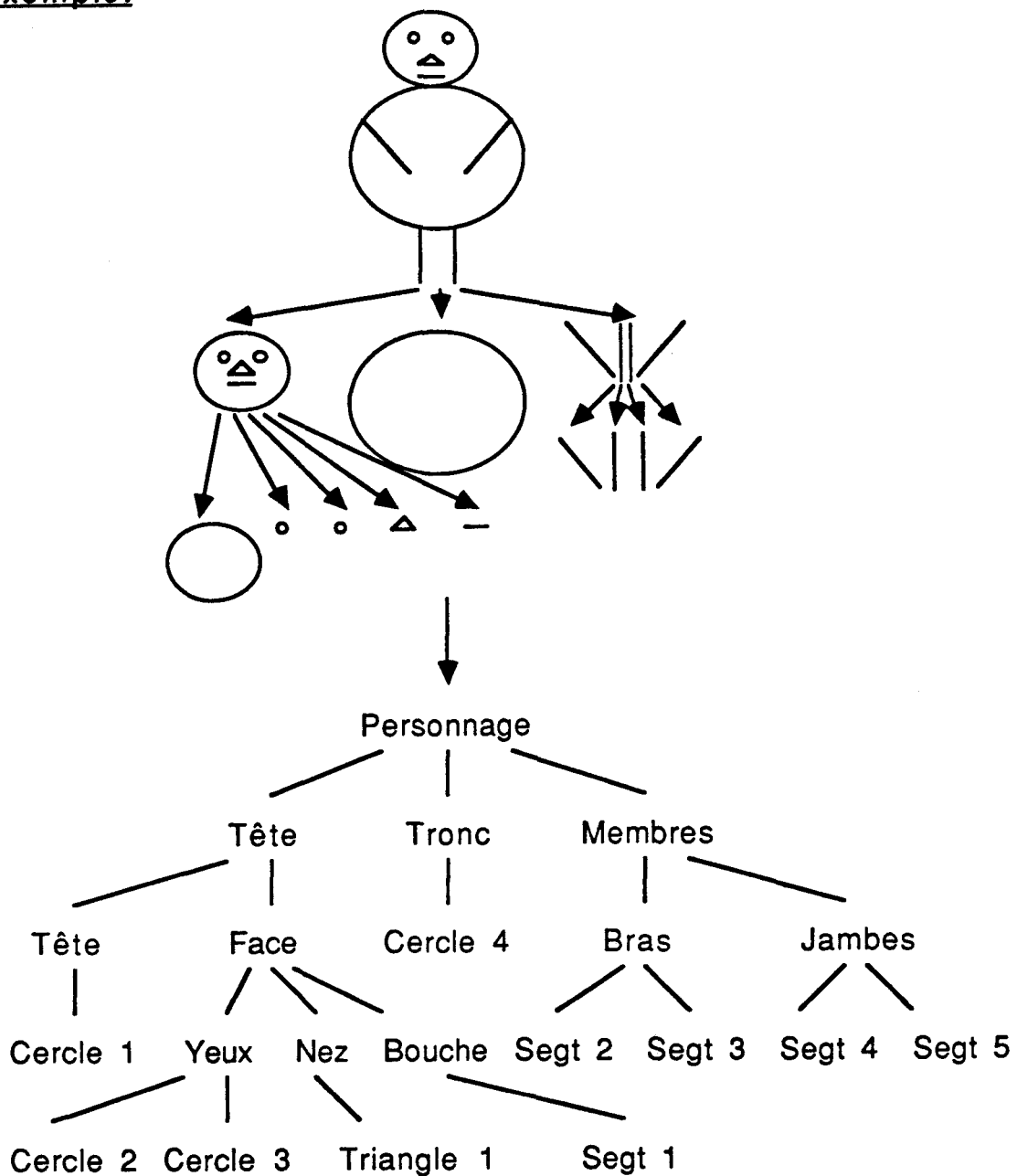
**Exemple:**

Fig 25

Une éventuelle implémentation matérielle de cette représentation des objets nous imposera de:

- \* figer le nombre de niveaux de l'arborescence
- \* mettre toutes les feuilles au niveau le plus bas



## 7 - Répartition des tâches élémentaires:

Pour la répartition des traitements des tâches élémentaires sur les processeurs objets, on adoptera la technique du "premier libre premier servi": il faudrait savoir lesquels d'entre eux sont au repos. C'est pourquoi nous allons mémoriser tous les travaux en cours et les numéros des processeurs objets correspondants dans une table en mémoire du processeur maître. Cette table sera scrutée à chaque nouvelle répartition de traitements, par le processeur maître.

**Exemple:**

Travaux en cours	N° PO
Cercle 1	0
Cercle 2	1
Cercle 3	2
Triangle 1	3

Travaux en attente
Segment 1
Cercle 4
Segment 2
Segment 3
Segment 4
Segment 5

Fig 26

Lors d'une répartition donnée de traitements, le processeur maître balaye la table des travaux en cours afin de voir s'il y a un processeur objet de libre. Deux cas peuvent se présenter:

**1er CAS:**

Le processeur maître trouve un processeur objet libre. A ce moment, il envoie un message au processeur objet dans lequel il lui demande de faire le traitement d'une tâche élémentaire donnée. Le processeur objet, une fois qu'il reçoit le message, il envoie un accusé de réception au processeur maître, et commence son traitement. Le processeur maître, dès qu'il reçoit l'accusé de réception, ajoute dans la table des travaux en cours, le dernier travail alloué avec le numéro du processeur objet qui s'en occupe.

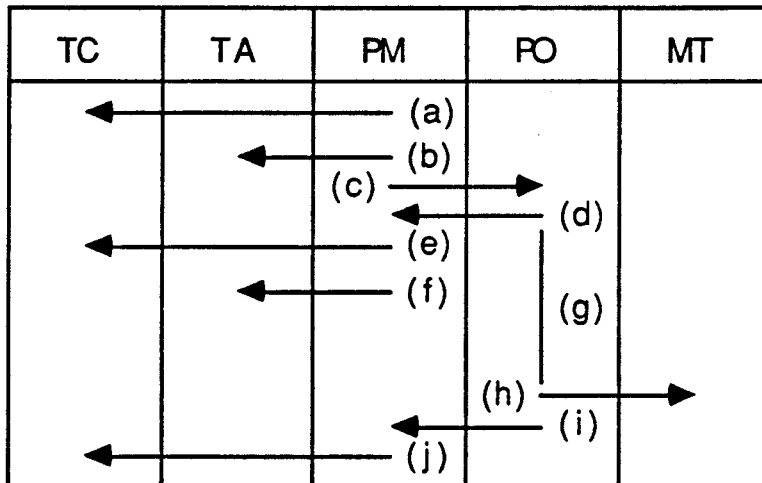


Fig 27

- TC : table des travaux en cours  
 TA : table des travaux en attente  
 PM : processeur maître  
 PO : processeur objet  
 MT : mémoire de travail  
 (a) : recherche d'un processeur objet libre  
 (b) : recherche du prochain objet à traiter  
 (c) : demande de traitement de l'objet  
 (d) : envoi d'accusé de reception  
 (e) : remise à jour de la table des travaux en cours  
 (f) : remise à jour de la table des travaux en attente  
 (g) : traitement de l'objet  
 (h) : objet produit (adr) dans la mémoire de travail  
 (i) : fin de traitement de l'objet  
 (j) : remise à jour de la table des travaux en cours

**Exemple:**

Supposons qu'on soit dans la situation suivante:

Travaux en cours	N° PO
Cercle 1	0
Cercle 3	2
Triangle 1	3

Travaux en attente
Segment 1
Cercle 4
Segment 2
Segment 3
Segment 4
Segment 5

Fig 28

Après scrutation de la table, des travaux en cours, par le processeur maître, on trouve le processeur objet n° 1 qui est libre, et auquel on allouera le prochain travail:

Travaux en cours	N° PO
Cercle 1	0
Cercle 3	2
Triangle 1	3
Segment 1	1

Travaux en attente
Cercle 4
Segment 2
Segment 3
Segment 4
Segment 5

Fig 29

**2ème CAS:**

Aucun processeur objet n'est libre. A ce moment, le processeur maître doit attendre jusqu'à ce qu'il reçoit un message de fin de traitement d'une tâche allouée à un processeur objet. Une fois que le processeur maître reçoit le message de fin de traitement, il supprime le travail, qui vient de se terminer, et le numéro du processeur correspondant de la table des travaux en cours. Après quoi, nous nous retrouvons dans le 1er cas (cas où il y a un processeur objet libre). Donc, à partir de là, le processeur maître n'a qu'à faire le même travail que dans le premier cas.

**Exemple:**

Soit la situation suivante:

Travaux en cours	N° PO
Cercle 1	0
Cercle 2	1
Cercle 3	2
Triangle 1	3

Fig 30

Supposons que le processeur objet n° 1 a terminé sa tâche. Il envoie un message, au processeur maître, pour le prévenir de la fin du traitement. Dès que, le processeur maître reçoit le message, il remet la table à jour:

Travaux en cours	N° PO
Cercle 1	0
Cercle 3	2
Triangle 1	3

Fig 31

## **8 - ALLOCATION DE LA MEMOIRE DE TRAVAIL:**

C'est le processeur maître qui s'occupe de l'allocation de la mémoire de travail aux processeurs objets. Avant d'allouer le traitement d'un objet donné au processeur objet, le processeur maître calcule le nombre de pages nécessaires à ce traitement en calculant le rectangle dans lequel l'objet est inscrit. Au moment, de l'allocation de ce traitement à un processeur objet, on lui alloue aussi le nombre de pages de mémoire de travail nécessaires pour ce traitement.

**Exemple:**

Supposons que le prochain objet à traiter soit un triangle. Le processeur maître va essayer de trouver le rectangle, dans lequel le triangle est inscrit:

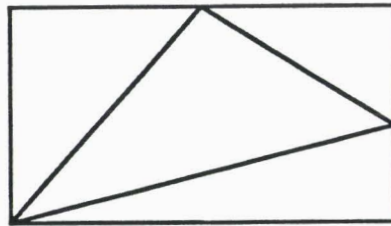


Fig 32

A partir de là, le processeur maître peut calculer le nombre de pixels, et par conséquent, la place mémoire équivalente nécessaire:

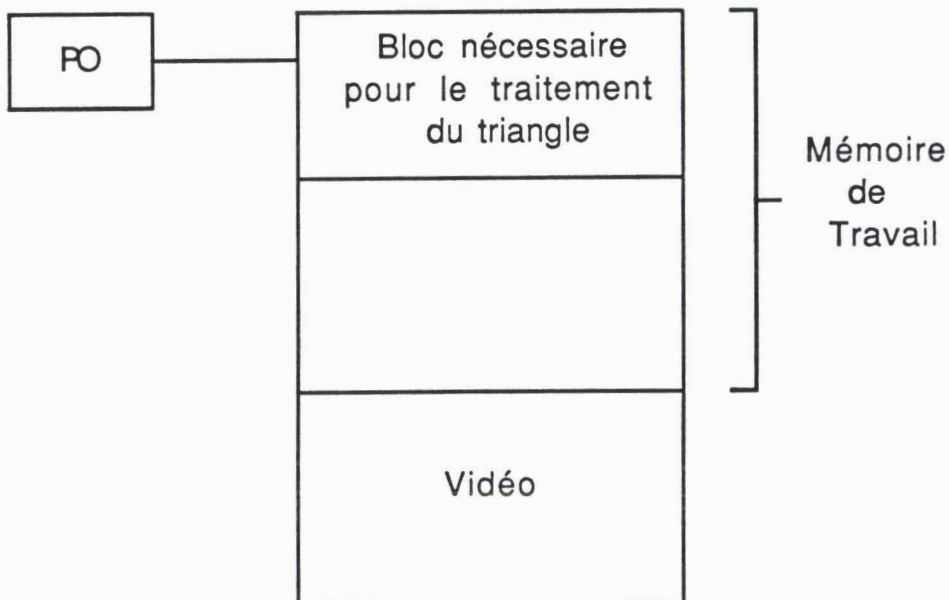


Fig 33

A la fin de traitement d'une tâche, le processeur maître restitue la place mémoire de travail allouée. On remarque qu'il est nécessaire d'avoir une gestion d'espaces libres de la mémoire de travail.



## 9 - COMMUNICATION:

On distingue deux communications: la communication processeur maître-processeur objet et celle du processeur maître-processeur de cohérence (file). Pour la première communication: puisque les processeurs objets sont complètement identifiés par des numéros, le processeur maître utilisera ces numéros pour communiquer avec les processeurs objets.

La communication processeur objet -> processeur maître, consiste soit à prévenir le processeur maître de la fin des travaux qui lui a été alloués, soit à envoyer, au processeur maître, l'accusé de réception du message. Tandis que les communications processeur maître -> processeur de cohérence (file) et processeur maître -> processeur objet consistent à allouer aux processeur objet et processeur de cohérence des tâches à effectuer.

## IV - EVALUATION:

On va faire cette évaluation en prenant l'exemple d'une tâche triangulaire.

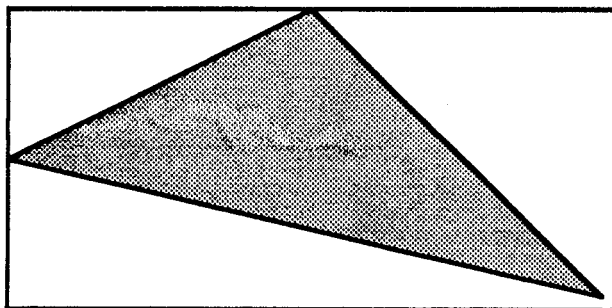


Fig 34

Le triangle qui sera utilisé dans cette évaluation a, pour extrémités, les trois couples (x, y) de coordonnées suivants: (0,240), (0, 320) et (630, 470).

\* Essayons de calculer le temps nécessaire pour qu'un TMS 34010 trace 1000 triangles remplis (triangle dont la taille est celle décrite ci-dessus).

Après simulation, on constate que le TMS 34010 met un temps d'environ 12 min 55 sec pour tracer ces 1000 triangles.

\* Maintenant, essayons de trouver le temps nécessaire pour que quatre TMS 34010 traite ces 1000 triangles en parallèle. Donc, ça reviendrait à calculer le temps nécessaire pour qu'un TMS 34010 trace 250 triangles remplis.

Après simulation, on remarque que le TMS 34010 met un temps d'environ 3 min 14 sec pour tracer ces 250 triangles. On remarque que ce temps est le quart du temps mis pour le tracage des 1000 triangles par un seul processeur.

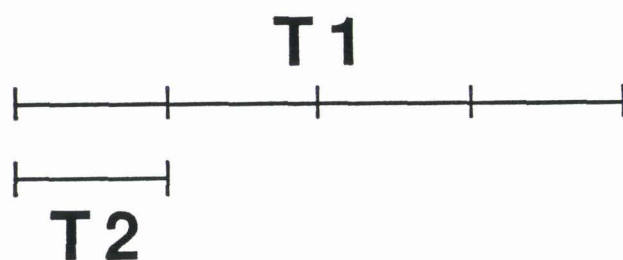


Fig 35

T1 : temps nécessaire au TMS 34010 pour tracer 1000 triangles  
T2 : temps nécessaire au TMS 34010 pour tracer 250 triangles

Ce qui est tout à fait normal, dans le sens où chaque processeur trace, en parallèle, 250 triangles qui est le quart des 1000 triangles tracés par un seul processeur.

L'opération de translation se fait sur un pavé (rectangle) de pixels. Donc, pour que le processeur de cohérence translate ces 1000 triangles de la mémoire de travail vers la mémoire image, il faudrait trouver le rectangle dans lequel est inscrit le triangle (le rectangle qui encadrerait le triangle). Et pour ça, on qu'à chercher parmi les trois couples de coordonnées des extrémités de ce triangle, le Xmin, Xmax, Ymin, Ymax. Le rectangle sera obtenu, en prenant pour le point le plus haut et le plus à gauche du rectangle le couple de coordonnées (Xmin, Ymin), et pour le point le plus bas et le plus à droite du rectangle le couple de coordonnées (Xmax, Ymax). Donc, dans le cadre de cet évaluation, le processeur de cohérence va traduire des rectangles définis par les deux couples (x, y) de coordonnées: (0, 0) et (630, 470).

C'est l'instruction "Pixblts" du TMS 34010 qui réalise la translation. Le temps d'exécution, de cette opération, dépend de la taille du pavé de pixels à traduire. Il est de:

$$4 \times M \times L + 5 + T_s \quad \text{unités de temps}$$

- T<sub>s</sub> : temps nécessaire à certaines initialisations (setup time = 12)
- L : nombre de lignes du pavé de pixels (=630)
- M : nombre de pixels par ligne (=470)

Donc le temps de translation d'un rectangle (triangle) est de:

$$4 \times 630 \times 470 + 17 \quad \text{unités de temps}$$

On peut négliger le 17 devant  $4 \times 630 \times 470$ . Ce qui fait un temps de 1 184 400 unités de temps.

Donc, pour traduire les 1000 triangles (rectangles), le processeur de cohérence met un temps de 1 184 400 000 unités de temps. L'unité de temps du TMS 34010 est de 160 ns. Donc le temps mis pour traduire ces 1000 triangles est d'environ 2 min 59 sec,

c'est à dire environ 3 min. ET le temps nécessaire pour transférer un triangle, par le processeur de cohérence, est donc d'environ 178 msec.

Il ne faut pas oublier de calculer, le temps nécessaire pour que le premier processeur objet termine le traitement du premier triangle, après quoi, le processeur de cohérence commencera son transfert. Ce temps est d'environ 776 msec.

On remarque que le temps du transfert d'un triangle représente un peu moins que le quart de celui mis pour son traitement. Essayons d'illustrer tout ça sur le chronogramme suivant:

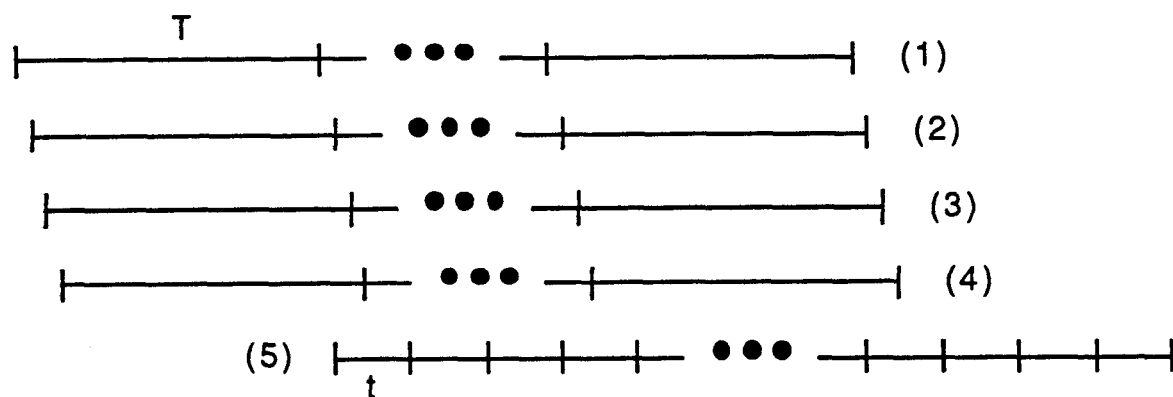


Fig 36

- (1) : temps nécessaire au processeur objet 1 pour tracer 250 triangles
- (2) : temps nécessaire au processeur objet 2 pour tracer 250 triangles
- (3) : temps nécessaire au processeur objet 3 pour tracer 250 triangles
- (4) : temps nécessaire au processeur objet 4 pour tracer 250 triangles
- (5) : temps nécessaire au processeur de cohérence pour translater les 1000 triangles
- T : temps nécessaire au processeur objet pour tracer 1 triangle (=776 msec)
- t : temps nécessaire au processeur de cohérence pour translater 1 triangle (=178 msec)

D'après le chronogramme, le décalage entre le début de traitement, du processeur objet  $i$ , et celui du processeur objet  $i+1$ , correspond au temps nécessaire au processeur maître pour allouer la tâche au processeur objet  $i+1$ . De même, le décalage entre la fin du traitement du premier triangle du processeur objet 1, et le début de son transfert par le processeur de cohérence, correspond au temps  $t_c$  nécessaire au processeur maître pour charger le processeur de cohérence de ce transfert. Le temps de transfert des quatre derniers triangles, traités en parallèle, par les quatre processeurs objets, augmenté de  $t_c$ , peut être majoré par le temps nécessaire pour le traitement d'un triangle c'est à dire 776 msec. Donc le temps global mis pour le traitement en parallèle et le transfert de ces 1000 triangles est d'environ 3 min 14 sec 776 msec c'est à dire 3 min 15 sec. Donc, cette configuration parallèle suivant l'arborescence d'objets, nous permet de multiplier par quatre les performances (au niveau vitesse).

## V - CONCLUSION:

On a vu que le partage objet peut se faire suivant trois configurations:

- \* partage suivant le type d'objets (processeurs typés)
- \* partage suivant les zones d'objets
- \* partage suivant l'arborescence d'objets

Les deux premières solutions soulèvent quelques problèmes comme le problème d'équilibrage de charges, l'impossibilité de traiter un groupement d'objets de types différents et le problème de la localisation d'objets mobiles. Aussi, elles ne permettent pas d'obtenir de bonnes performances. Alors que la troisième solution, nous permet d'avoir de très bons résultats tout en utilisant au mieux toutes les performances du processeur graphique spécialisé.

## **CONCLUSION**

L'optimisation des performances d'un système graphique passe par soit la conception de circuits spécialisés soit la parallélisation. Notre étude porte a pour objectif de définir et d'étudier la parallélisation des processeurs graphiques spécialisés, en tirant avantage des deux aspects. On distingue trois grandes possibilités de parallélisme: découpage fonctionnel, découpage géométrique, et découpage objet.

1 - Le découpage fonctionnel est à rejeter, puisque celui-ci, permet le regroupement de processeurs, chacun exécutant une tâche élémentaire, alors que le processeur spécialisé offre déjà toutes ces opérations. Donc, le découpage fonctionnel ne permet pas de profiter de la puissance des processeurs graphiques spécialisés.

2 - Pour le découpage géométrique, on distingue trois solutions:

\* La solution où le processeur s'occupe d'un seul pavé représentant une zone de l'écran contigue. Cette solution pose des problèmes pour les tracés offerts par le processeur graphique spécialisé, comme le tracé de segment, tracé de cercle, ... . En effet, en utilisant, cette solution, on ne peut pas tirer avantage des opérations cablées offertes par le processeur graphique spécialisé et des symétries utilisées pour certains tracés. Elle pose, aussi, des difficultés pour le calcul des intersections du tracé avec les frontières des pavés. Cette solution, ne permet d'obtenir de bonnes performances.

\* La solution où le processeur d'occupe de plusieurs pavés. L'ensemble de ces pavés forment une partie de l'écran non contigue. Tout ce qui a été dit auparavant, pour la solution précédente, reste valable ici. Donc, cette solution, comme la précédente, ne permet pas d'avoir de bons résultats, au niveau vitesse d'exécution.

\* La dernière solution, est celle où le processeur s'occupe de plusieurs pavés, mais ces pavés sont limités à un pixel. Là aussi, l'ensemble de ces pavés forment une partie de l'écran non contigue. L'inconvénient de cette solution, c'est qu'elle ne profite pas de toute la puissance du processeur graphique spécialisé (comme les instructions cablées par exemple). Par contre, elle permet d'obtenir de bonnes performances pour toutes les tâches non traitées par le processeur graphique spécialisé (TMS 34010) comme le remplissage, l'anti-aliassage, ... .

3 - Pour le découpage objet, on distingue aussi trois solutions:

\* Tout d'abord, celle du partage suivant le type d'objets: cette solution soulève quelques problèmes comme le problème d'équilibrage de charges, et celui de l'impossibilité de traiter un groupement d'objets de types différents. Aussi, elle ne permet pas d'obtenir de bonnes performances.

\* La solution du partage suivant les zones d'objets: cette solution soulève, aussi, quelques problèmes comme le problème d'équilibrage de charges, et celui de la localisation d'objets mobiles. Aussi, elle ne permet pas d'avoir de bons résultats, au niveau vitesse d'exécution.

\* La dernière solution, est celle du partage suivant l'arborescence d'objets: cette solution nous permet d'obtenir de très bonnes performances tout en profitant de toute la puissance du processeur graphique spécialisé.

Il apparait, à la suite de cette étude, que le niveau de parallélisme dépend du mode de partage.



**ANNEXE:**  
**PROGRAMMES**

**PROGRAMME DE:**

**TRACE DE SEGMENT (DU TMS 34010)**

```
1 #include "colors.h"
2
3 main()
4 {
5     int i,x0,y0,x1,y1;
6     long color;
7
8     init_sdb();
9     init_palet();
10    erase_screen();
11    color = 0x77777777;
12    x0=10;
13    y0=300;
14    x1=450;
15    y1=15;
16    set_color1(color);
17    for (i=1;i<=10000;i++){
18        line (x0,y0,x1,y1);
19    }
20    asm ("          TRAP 29");
21    printf ("ok !!!!\n");
22    for (;;)
23    }
```

```

1
2 *      (c) Copyright 1986, Texas Instruments, Incorporated
3 *-----
4 *----- TMS34010 Graphics Function Library -----
5 *-----
6 * line function
7 *
8 * This version of the function uses the LINE instruction, and will run
9 * only on TMX34010A samples and above (revisions 2.0 and higher).
10 * Another version of line is provided to run on TMX34010
11 * (revision 1.0) samples.
12 *
13 * Draw a line from point (xs,ys) to point (xe,ye) using Bresenham's
14 * algorithm.
15 *
16 * This function is designed to be called from a GSPC program.
17 *-----
18 * Usage: line(xs, ys, xe, ye);
19 *
20 * Description of the arguments:
21 * int xs, ys; /* starting line coordinates */
22 * int xe, ye; /* ending line coordinates */
23 *
24 * Returned in register A8: Void (undefined).
25 *
26 * Registers altered: A8
27 *-----
28 * Revision history:
29 * 12/02/86...Original version written.....Mike Asal
30 *-----
31 .title 'draw a line'
32 .file 'line.asm'
33 .nolist
34 .copy macros.hdr
35 .list
36 ;
37 ;
38 ; DECLARE GLOBAL FUNCTION NAME
39 ;
40 .globl _line
41 ;
42 ;
43 ; ENTRY POINT
44 ;
45 _line:
46 MMTM SP,B2,B7,B10,B11,B12,B13,B14
47 * Calculate XY addresses for line start and end points.
48 MOVE A14,B14
49 MOVE *-B14,B2,1 ; Get start x
50 MOVE *-B14,B11,1 ; Get start y
51 SLL 16,B11
52 MOVY B11,B2 ; B2 = (y0,x0)
53 MOVE *-B14,B10,1 ; Get end x
54 MOVE *-B14,B11,1 ; Get end y
55 SLL 16,B11
56 MOVY B11,B10 ; B10 = (y1,x1)
57 MOVE B14,A14
58 * Determine which octant line is in, and set up accordingly.
59 CLR B7
60 SUBXY B2,B10 ; B10 = (y1-y0,x1-x0) = (b,a)

```

```

61         JRYZ    horiz
62         JRXZ    vert
63         JRYNN   bpos
64         JRXNN   bneg_apos
65 bneg_aneq: SUBXY  B10,B7          ; B7 = (|b|,|a|)
66         MOVI   -1,B11          ; B11 = (-1,-1)
67         JRUC    cmp_b_a
68 bneg_apos: SUBXY  B10,B7
69         MOVX   B10,B7          ; B7 = (|b|,|a|)
70         MOVI   >FFFF0001,B11  ; B11 = (-1,1)
71         JRUC    cmp_b_a
72 bpos:      JRXNN   bpos_apos
73 bpos_aneq: SUBXY  B10,B7
74         MOVY   B10,B7          ; B7 = (|b|,|a|)
75         MOVI   >0001FFFF,B11  ; B11 = (1,-1)
76         JRUC    cmp_b_a
77 bpos_apos: MOVE   B10,B7          ; B7 = (|b|,|a|)
78         MOVI   >00010001,B11  ; B11 = (1,1)
79 cmp_b_a:   CLR     B12
80         MOVI   -1,B13          ; B13 = FFFFFFFF (set pattern to all 1's)
81         MOVE   B7,B0
82         SRL   16,B0           ; B0 = b
83         CLR    B10
84         MOVX   B7,B10          ; B10 = a
85         CMP    B0,B10
86         JRGT   a_ge_b
87 a_lt_b:    MOVE   B0,B10
88         MOVX   B7,B0
89         RL     16,B7           ; a and b swapped
90         MOVY   B11,B12
91         SLL   1,B0
92         SUB   B10,B0           ; B0 = 2b - a
93         ADDK  1,B10
94 * If drawing in +Y direction, use LINE 0.  Otherwise, use LINE 1.
95         MOVE   B11,B11          ; if drawing in +Y direction, use LINE 0
96         JRN   line1           ; otherwise use LINE 1
97 line0:    LINE    0
98         JRUC   done
99 a_ge_b:   MOVX   B11,B12
100        SLL   1,B0
101        SUB   B10,B0           ; B0 = 2b - a
102        MOVE   B11,B11          ; if drawing in -Y direction, use LINE 1
103        JRNN  line0           ; otherwise use LINE 0
104 line1:    LINE    1
105        JRUC   done
106 * Handle special case of horizontal line.
107 horiz:   JRXZ    pixel
108         JRXNN  do_fill
109         ADDXY  B10,B2          ; change start to (y1,x1)
110         SUBXY  B10,B7          ; make dx positive
111         MOVE   B7,B10
112 * Handle special case of vertical line.
113 vert:    JRYNN   do_fill
114         ADDXY  B10,B2          ; change start to (y1,x1)
115         NEG    B10             ; make dy positive
116 * Draw horizontal or vertical line.
117 do_fill: MOVE   B10,B7
118         ADDI   >10001,B7      ; no check for dx or dy overflow
119         FILL   XY
120         JRUC   done

```

```
121 * Draw dot if start and end points are the same.  
122 pixel:          DRAV    B12,B2  
123 * Restore registers and return.  
124 done:          MMFM    SP,B2,B7,B10,B11,B12,B13,B14  
125                RETS    2                ; Return to calling routine  
126                .end
```

**PROGRAMME DE:**

**TRACE DE SEGMENT (REECRIT)**

```
1 #include "colors.h"
2
3 main()
4 {
5     int i,x0,y0,x1,y1;
6     long color;
7
8     init_sdb();
9     init_palet();
10    erase_screen();
11    color = 0x77777777;
12    x0=10;
13    y0=300;
14    x1=450;
15    y1=15;
16    set_color1(color);
17    for (i=1;i<=10000;i++){
18        lines(x0,y0,x1,y1);
19    }
20    asm ("          TRAP 29");
21    printf ("ok !!!!\n");
22    for (;;)
23    }
```



```

1
2 *           (c) Copyright 1986, Texas Instruments, Incorporated
3 *-----
4 *----- TMS34010 Graphics Function Library -----
5 *-----
6 * line function
7 *
8 *   This version of the function uses the LINE instruction, and will run
9 *   only on TMX34010A samples and above (revisions 2.0 and higher).
10 *   Another version of line is provided to run on TMX34010
11 *   (revision 1.0) samples.
12 *
13 *   Draw a line from point (xs,ys) to point (xe,ye) using Bresenham's
14 *   algorithm.
15 *
16 *   This function is designed to be called from a GSPC program.
17 *-----
18 * Usage:  line(xs, ys, xe, ye);
19 *
20 * Description of the arguments:
21 *   int xs, ys; /* starting line coordinates */
22 *   int xe, ye; /* ending line coordinates  */
23 *
24 * Returned in register A8:  Void (undefined).
25 *
26 * Registers altered:  A8
27 *-----
28 * Revision history:
29 *   12/02/86...Original version written.....Mike Asal
30 *-----
31         .title   'draw a line'
32         .file     'lines.asm'
33         .nolist
34         .copy     macros.hdr
35         .list
36 ;
37 ;
38 ;   DECLARE GLOBAL FUNCTION NAME
39 ;
40         .globl   _lines
41 ;
42 ;
43 ;   ENTRY POINT
44 ;
45 _lines:
46         MMTM     SP,A0,A1,A2,A3,A4,A5,A6,A7,A8,A9,A10,A11,A12,A13
47 * Calculate XY addresses for line start and end points.
48         MOVE     *-A14,A0,1           ; Get start x
49         MOVE     *-A14,A1,1           ; Get start y
50         SLL      16,A1
51         MOVY     A1,A0                 ; B2 = (y0,x0)
52         MOVE     *-A14,A1,1           ; Get end x
53         MOVE     *-A14,A2,1           ; Get end y
54         SLL      16,A2
55         MOVY     A2,A1                 ; B10 = (y1,x1)
56 * Determine which octant line is in, and set up accordingly.
57         CLR      A2
58         SUBXY    A0,A1                 ; B10 = (y1-y0,x1-x0) = (b,a)
59         JRZ      fin
60         JRYNN    bpos

```

```

61      JRXNN    bneg_apos
62 bneg_aneq:  SUBXY    A1,A2          ; B7 = (|b|,|a|)
63          MOVI    >-1,A3          ; B11 = (-1,-1)
64          JRUC    cmp_b_a
65 bneg_apos:  SUBXY    A1,A2
66          MOVX    A1,A2          ; B7 = (|b|,|a|)
67          MOVI    >FFFF0001,A3    ; B11 = (-1,1)
68          JRUC    cmp_b_a
69 bpos:      JRXNN    bpos_apos
70 bpos_aneq:  SUBXY    A1,A2
71          MOVY    A1,A2          ; B7 = (|b|,|a|)
72          MOVI    >0001FFFF,A3    ; B11 = (1,-1)
73          JRUC    cmp_b_a
74 bpos_apos:  MOVE    A1,A2          ; B7 = (|b|,|a|)
75          MOVI    >00010001,A3    ; B11 = (1,1)
76 cmp_b_a:   CLR     A4
77          MOVE    A2,A5
78          SRL    16,A5          ; B0 = b
79          CLR    A1
80          MOVX    A2,A1          ; B10 = a
81          CMP    A5,A1
82          JRGT    a_ge_b
83 a_lt_b:    MOVE    A5,A1
84          MOVX    A2,A5
85          RL     16,A2          ; a and b swapped
86          MOVY    A3,A4
87          SLL    1,A5
88          SUB    A1,A5          ; B0 = 2b - a
89          JRUC    label0
90 * If drawing in +Y direction, use LINE 0.  Otherwise, use LINE 1.
91 a_ge_b:    MOVX    A3,A4
92          SLL    1,A5
93          SUB    A1,A5          ; B0 = 2b - a
94 label0:   ADDK    1,A1
95          CLR    A6
96          MOVY    A2,A7
97          SRL    16,A7
98          SLL    1,A7
99          MOVX    A2,A6
100         SLL    1,A6
101         NEG    A6
102         ADD    A7,A6
103 label13:  CMPI    0,A1
104         JRLE    label10
105 label19:  CMPI    0,A10
106         JRLT    label113
107         DRAV    A3,A0
108         ADD    A6,A10
109         JRUC    label115
110 label113: DRAV    A4,A0
111         ADD    A7,A10
112 label115: SUBK    1,A1
113         JRNZ    label19
114         JRUC    label10
115 fin:     DRAV    A1,A0
116 label10:  MMFM    SP,A0,A1,A2,A3,A4,A5,A6,A7,A8,A9,A10,A11,A12,A13
117         RETS    2
118         .end

```

**PROGRAMME DE:**

**TRACE DE SEGMENT PARALLELE (2X2)**

```
1 #include "colors.h"
2
3 main()
4 {
5     int i,x0,y0,x1,y1;
6     long color;
7
8     init_sdb();
9     init_palet();
10    erase_screen();
11    color = 0x77777777;
12    x0=10;
13    y0=300;
14    x1=450;
15    y1=300;
16        set_color1(color);
17    for (i=1;i<=10000;i++){
18        lines2(x0,y0,x1,y1,2);
19    }
20    asm ("          TRAP 29");
21    printf ("ok !!!!\n");
22    for (;;)
23    }
```

```
1 #include "colors.h"
2
3 main()
4 {
5     int i,x0,y0,x1,y1;
6     long color;
7
8     init_sdb();
9     init_palet();
10    erase_screen();
11    color = 0x77777777;
12    x0=150;
13    y0=450;
14    x1=225;
15    y1=400;
16    set_color1(color);
17    for (i=1;i<=100;i++){
18        lines2(x0,y0,x1,y1,2);
19        lines2(x0,y0,x1,y1,1);
20        lines2(x0,y0,x1,y1,3);
21        lines2(x0,y0,x1,y1,4);
22    }
23    asm ("          TRAP 29");
24    printf ("ok !!!!\n");
25    for (;;)
26 }
```

```

1
2 *          (c) Copyright 1986, Texas Instruments, Incorporated
3 *-----
4 *----- TMS34010 Graphics Function Library -----
5 *-----
6 * line function
7 *
8 * This version of the function uses the LINE instruction, and will run
9 * only on TMX34010A samples and above (revisions 2.0 and higher).
10 * Another version of line is provided to run on TMX34010
11 * (revision 1.0) samples.
12 *
13 * Draw a line from point (xs,ys) to point (xe,ye) using Bresenham's
14 * algorithm.
15 *
16 * This function is designed to be called from a GSPC program.
17 *-----
18 * Usage: line(xs, ys, xe, ye);
19 *
20 * Description of the arguments:
21 * int xs, ys; /* starting line coordinates */
22 * int xe, ye; /* ending line coordinates */
23 *
24 * Returned in register A8: Void (undefined).
25 *
26 * Registers altered: A8
27 *-----
28 * Revision history:
29 * 12/02/86...Original version written.....Mike Asal
30 *-----
31 .title 'draw a line'
32 .file 'lines2.asm'
33 .nolist
34 .copy macros.hdr
35 .list
36 ;
37 ;
38 ; DECLARE GLOBAL FUNCTION NAME
39 ;
40 .globl _lines2
41 ;
42 ;
43 ; ENTRY POINT
44 ;
45 _lines2:
46 MMTM SP,A0,A1,A2,A3,A4,A5,A6,A7,A8,A9,A10,A11,A12,A13
47 * Calculate XY addresses for line start and end points.
48 MOVE *-A14,A0,1 ; Get start x
49 MOVE *-A14,A1,1 ; Get start y
50 SLL 16,A1
51 MOVY A1,A0 ; B2 = (y0,x0)
52 MOVE *-A14,A1,1 ; Get end x
53 MOVE *-A14,A2,1 ; Get end y
54 SLL 16,A2
55 MOVY A2,A1 ; B10 = (y1,x1)
56 * Determine which octant line is in, and set up accordingly.
57 MOVE A1,A13
58 CLR A2
59 SUBXY A0,A1 ; B10 = (y1-y0,x1-x0) = (b,a)
60 JRNZ a1

```

```

61          JRN      fin
62 a1:      JRNC     bpos
63          JRNV     bneg_apos
64 bneg_aneq: SUBXY    A1,A2          ; B7 = (|b|,|a|)
65          MOVI    >FFFEFFFE,A3      ; B11 = (-1,-1)
66          JRUC     cmp_b_a
67 bneg_apos: SUBXY    A1,A2
68          MOVX    A1,A2          ; B7 = (|b|,|a|)
69          MOVI    >FFFE0002,A3      ; B11 = (-1,1)
70          JRUC     cmp_b_a
71 bpos:      JRXNN   bpos_apos
72 bpos_aneq: SUBXY    A1,A2
73          MOVY    A1,A2          ; B7 = (|b|,|a|)
74          MOVI    >0002FFFE,A3      ; B11 = (1,-1)
75          JRUC     cmp_b_a
76 bpos_apos: MOVE     A1,A2          ; B7 = (|b|,|a|)
77          MOVI    >00020002,A3      ; B11 = (1,1)
78 cmp_b_a:   CLR      A4
79          MOVE     A2,A5
80          SRL     16,A5          ; B0 = b
81          CLR     A1
82          MOVX    A2,A1          ; B10 = a
83          CMP     A5,A1
84          JRGT   a_ge_b
85 a_lt_b:   MOVE     A5,A1
86          MOVX    A2,A5
87          RL      16,A2          ; a and b swapped
88          MOVY    A3,A4
89          SLL     1,A5
90          SUB     A1,A5          ; B0 = 2b - a
91          JRUC   label0
92 * If drawing in +Y direction, use LINE 0. Otherwise, use LINE 1.
93 a_ge_b:   MOVX    A3,A4
94          SLL     1,A5
95          SUB     A1,A5          ; B0 = 2b - a
96 label0:  SRL     1,A1
97          ADDK    1,A1
98          CLR     A6
99          MOVY    A2,A7
100         SRL     16,A7
101         MOVE     A7,A9
102         SLL     1,A7
103         MOVX    A2,A6
104         SLL     1,A6
105         NEG     A6
106         ADD     A7,A6
107         MOVE     A6,A8
108         SRA     1,A8
109         MOVE     A5,A10
110         SRA     1,A10
111         BTST    0,A5
112         JRZ     label1
113         BTST    31,A5
114         JRZ     label1
115         SUBK    1,A10
116 label1:  CLR     A12
117         MOVE     *-A14,A2,1
118         CLR     A5
119         MOVX    A4,A5
120         MOVE     A5,A5

```

```
121      JRNZ    label2
122      SUBK    1,A2
123      JRZ     label3
124      SUBK    1,A2
125      JRNZ    label4
126      MOVE    A8,A11
127      SUB     A9,A11
128      ADD     A11,A10
129      BTST    15,A3
130      JRZ     label20
131      MOVK    1,A12
132      SLL     16,A12
133 label20:  MOVX    A3,A12
134      SRA     1,A12
135      ADDXY   A12,A0
136      JRUC    label3
137 label4:  SUBK    1,A2
138      JRNZ    label5
139      ADD     A9,A10
140      MOVY    A3,A12
141      SRA     1,A12
142      ADDXY   A12,A0
143      JRUC    label3
144 label5:  ADD     A8,A10
145      MOVE    A3,A12
146      BTST    15,A3
147      JRZ     label21
148      ORI     >00010000,A12
149 label21: SRA     1,A12
150      ADDXY   A12,A0
151      JRUC    label3
152 label2:  SUBK    1,A2
153      JRZ     label3
154      SUBK    1,A2
155      JRNZ    label6
156      ADD     A9,A10
157      BTST    15,A3
158      JRZ     label22
159      MOVK    1,A12
160      SLL     16,A12
161 label22: MOVX    A3,A12
162      SRA     1,A12
163      ADDXY   A12,A0
164      JRUC    label3
165 label6:  SUBK    1,A2
166      JRNZ    label5
167      MOVE    A8,A11
168      SUB     A9,A11
169      ADD     A11,A10
170      MOVY    A3,A12
171      SRA     1,A12
172      ADDXY   A12,A0
173 label3:  CMPI    0,A1
174      JRLE    label10
175 label18: CLR     A11
176      CLR     A12
177      CLR     A5
178      MOVX    A4,A5
179      MOVE    A5,A5
180      JRZ     label7
```



```
181          BTST      15,A5
182          JRNZ     label8
183          MOVX     A0,A11
184          MOVX     A13,A12
185          CMP      A12,A11
186          JRLE     label9
187          JRUC     label10
188 label8:    MOVX     A0,A11
189          MOVX     A13,A12
190          CMP      A11,A12
191          JRLE     label9
192          JRUC     label10
193 label7:    CLR      A5
194          MOVY     A4,A5
195          MOVE     A5,A5
196          JRN      label11
197          MOVY     A0,A11
198          MOVY     A13,A12
199          CMP      A12,A11
200          JRLE     label9
201          JRUC     label10
202 label11:   MOVY     A0,A11
203          MOVY     A13,A12
204          CMP      A11,A12
205          JRLE     label9
206          JRUC     label10
207 label9:   CMPI     0,A10
208          JRLT     label13
209          CMP      A8,A10
210          JRLT     label12
211          CMP      A9,A10
212          JRGE     label12
213          DRAV     A3,A0
214          JRUC     label14
215 label12:   ADDXY    A3,A0
216 label14:   ADD      A6,A10
217          JRUC     label15
218 label13:   CMP      A8,A10
219          JRLT     label16
220          CMP      A9,A10
221          JRGE     label16
222          DRAV     A4,A0
223          JRUC     label17
224 label16:   ADDXY    A4,A0
225 label17:   ADD      A7,A10
226 label15:   SUBK     1,A1
227          JRNZ     label18
228          JRUC     label10
229 fin:      DRAV     A1,A0
230 label10:   MMFM     SP,A0,A1,A2,A3,A4,A5,A6,A7,A8,A9,A10,A11,A12,A13
231          RETS     2
232          .end
```

**PROGRAMME DE:**

**TRACE DE SEGMENT PARALLELE (4X4)**

```
1 #include "colors.h"
2
3 main()
4 {
5     int i,x0,y0,x1,y1;
6     long color;
7
8     init_sdb();
9     init_palet();
10    erase_screen();
11    color = 0x77777777;
12    x0=10;
13    y0=300;
14    x1=450;
15    y1=15;
16    set_color1(color);
17    for (i=1;i<=10000;i++){
18        lines4(x0,y0,x1,y1,16);
19    }
20    asm ("          TRAP 29");
21    printf ("ok !!!!\n");
22    for (;;);
23 }
```

```
1 #include "colors.h"
2
3 main()
4 {
5     int i,x0,y0,x1,y1;
6     long color;
7     init_sdb();
8     init_palet();
9     erase_screen();
10    color = 0x77777777;
11    asm ("          TRAP 29");
12    x0=10;
13    y0=100;
14    x1=250;
15    y1=15;
16    set_color1(color);
17    for (i=1;i<=100;i++){
18        lines4(x0,y0,x1,y1,1);
19        lines4(x0,y0,x1,y1,2);
20        lines4(x0,y0,x1,y1,3);
21        lines4(x0,y0,x1,y1,4);
22        lines4(x0,y0,x1,y1,5);
23        lines4(x0,y0,x1,y1,6);
24        lines4(x0,y0,x1,y1,7);
25        lines4(x0,y0,x1,y1,8);
26        lines4(x0,y0,x1,y1,9);
27        lines4(x0,y0,x1,y1,10);
28        lines4(x0,y0,x1,y1,11);
29        lines4(x0,y0,x1,y1,12);
30        lines4(x0,y0,x1,y1,13);
31        lines4(x0,y0,x1,y1,14);
32        lines4(x0,y0,x1,y1,15);
33        lines4(x0,y0,x1,y1,16);
34    }
35    asm ("          TRAP 29");
36    printf ("ok !!!!\n");
37    for (;;);
38 }
```

```

1
2 *           (c) Copyright 1986, Texas Instruments, Incorporated
3 *-----
4 *----- TMS34010 Graphics Function Library -----
5 *-----
6 * line function
7 *
8 * This version of the function uses the LINE instruction, and will run
9 * only on TMX34010A samples and above (revisions 2.0 and higher).
10 * Another version of line is provided to run on TMX34010
11 * (revision 1.0) samples.
12 *
13 * Draw a line from point (xs,ys) to point (xe,ye) using Bresenham's
14 * algorithm.
15 *
16 * This function is designed to be called from a GSPC program.
17 *-----
18 * Usage:  line(xs, ys, xe, ye);
19 *
20 * Description of the arguments:
21 *   int xs, ys; /* starting line coordinates */
22 *   int xe, ye; /* ending line coordinates */
23 *
24 * Returned in register A8:  Void (undefined).
25 *
26 * Registers altered:  A8
27 *-----
28 * Revision history:
29 *   12/02/86...Original version written.....Mike Asal
30 *-----
31         .title   'draw a line'
32         .file     'lines4.asm'
33         .nolist
34         .copy     macros.hdr
35         .list
36 ;
37 ;
38 ;   DECLARE GLOBAL FUNCTION NAME
39 ;
40         .globl   _lines4
41 ;
42 ;
43 ;   ENTRY POINT
44 ;
45 _lines4:
46         MMTM     SP,A0,A1,A2,A3,A4,A5,A6,A7,A8,A9,A10,A11,A12,A13
47 * Calculate XY addresses for line start and end points.
48         MOVE     *-A14,A0,1           ; Get start x
49         MOVE     *-A14,A1,1           ; Get start y
50         SLL      16,A1
51         MOVY     A1,A0                 ; B2 = (y0,x0)
52         MOVE     *-A14,A1,1           ; Get end x
53         MOVE     *-A14,A2,1           ; Get end y
54         SLL      16,A2
55         MOVY     A2,A1                 ; B10 = (y1,x1)
56 * Determine which octant line is in, and set up accordingly.
57         MOVE     A1,A13
58         CLR      A2
59         SUBXY    A0,A1                 ; B10 = (y1-y0,x1-x0) = (b,a)
60         JRZ      fin

```

```

61          JRYNN    bpos
62          JRXNN    bneg_apos
63 bneg_aneg: SUBXY   A1,A2          ; B7 = (|b|,|a|)
64          MOVI    >FFFCFFFC,A3    ; B11 = (-1,-1)
65          JRUC    cmp_b_a
66 bneg_apos: SUBXY   A1,A2
67          MOVX    A1,A2          ; B7 = (|b|,|a|)
68          MOVI    >FFFC0004,A3    ; B11 = (-1,1)
69          JRUC    cmp_b_a
70 bpos:      JRXNN    bpos_apos
71 bpos_aneg: SUBXY   A1,A2
72          MOVY    A1,A2          ; B7 = (|b|,|a|)
73          MOVI    >0004FFFC,A3    ; B11 = (1,-1)
74          JRUC    cmp_b_a
75 bpos_apos: MOVE    A1,A2          ; B7 = (|b|,|a|)
76          MOVI    >00040004,A3    ; B11 = (1,1)
77 cmp_b_a:   CLR     A4
78          MOVE    A2,A5
79          SRL     16,A5          ; B0 = b
80          CLR     A1
81          MOVX    A2,A1          ; B10 = a
82          CMP     A5,A1
83          JRGT    a_ge_b
84 a_lt_b:   MOVE    A5,A1
85          MOVX    A2,A5
86          RL      16,A2          ; a and b swapped
87          MOVY    A3,A4
88          SLL     1,A5
89          SUB     A1,A5          ; B0 = 2b - a
90          JRUC    label0
91 * If drawing in +Y direction, use LINE 0.  Otherwise, use LINE 1.
92 a_ge_b:   MOVX    A3,A4
93          SLL     1,A5
94          SUB     A1,A5          ; B0 = 2b - a
95 label0:   SRL     2,A1
96          ADDK    1,A1
97          CLR     A6
98          MOVY    A2,A7
99          SRL     16,A7
100         MOVE    A7,A9
101         SLL     1,A7
102         MOVX    A2,A6
103         SLL     1,A6
104         NEG     A6
105         ADD     A7,A6
106         MOVE    A6,A8
107         SRA     1,A8
108         SLL     1,A6
109         SLL     1,A7
110         MOVE    A5,A10
111         SRA     1,A10
112         BTST    0,A5
113         JRZ     label1
114         BTST    31,A5
115         JRZ     label1
116         SUBK    1,A10
117 label1:   CLR     A12
118         CLR     A11
119         MOVE    *-A14,A2,1
120         CLR     A5

```

```
121      MOVX    A4,A5
122      MOVE    A5,A5
123      JRNZ    label2
124      SUBK    1,A2
125      JRZ     label3
126      MOVE    A8,A5
127      SUB     A9,A5
128      SUBK    1,A2
129      JRNZ    label20
130      ADD     A5,A10
131      MOVX    A3,A12
132      SRA     2,A12
133      ADDXY   A12,A0
134      JRUC    label3
135 label20:  SUBK    1,A2
136          JRNZ    label21
137          SLL    1,A5
138          ADD     A5,A10
139          MOVX    A3,A12
140          SRA     1,A12
141          ADDXY   A12,A0
142          JRUC    label3
143 label21:  SUBK    1,A2
144          JRNZ    label22
145          ADD     A5,A10
146          SLL    1,A5
147          ADD     A5,A10
148          MOVX    A3,A12
149          SRA     1,A12
150          MOVX    A3,A11
151          SRA     2,A11
152          ADDXY   A11,A12
153          ADDXY   A12,A0
154          JRUC    label3
155 label22:  SUBK    1,A2
156          JRNZ    label23
157          ADD     A9,A10
158          MOVY   A3,A12
159          SRA     2,A12
160          ADDXY   A12,A0
161          JRUC    label3
162 label23:  SUBK    1,A2
163          JRNZ    label24
164          ADD     A8,A10
165          MOVE    A3,A12
166          SRA     2,A12
167          ADDXY   A12,A0
168          JRUC    label3
169 label24:  SUBK    1,A2
170          JRNZ    label25
171          ADD     A8,A10
172          ADD     A5,A10
173          MOVY   A3,A12
174          SRA     1,A12
175          MOVX    A3,A12
176          SRA     1,A12
177          ADDXY   A12,A0
178          JRUC    label3
179 label25:  SUBK    1,A2
180          JRNZ    label26
```

```
181      ADD      A8,A10
182      SLL      1,A5
183      ADD      A5,A10
184      MOVX     A3,A11
185      SRA      1,A11
186      MOVE     A3,A12
187      SRA      2,A12
188      ADDXY    A11,A12
189      ADDXY    A12,A0
190      JRUC     label3
191 label26:  SUBK     1,A2
192      JRNZ     label27
193      ADD      A9,A10
194      ADD      A9,A10
195      MOVY     A3,A12
196      SRA      1,A12
197      ADDXY    A12,A0
198      JRUC     label3
199 label27:  SUBK     1,A2
200      JRNZ     label28
201      ADD      A9,A10
202      ADD      A9,A10
203      ADD      A5,A10
204      MOVX     A3,A12
205      SRA      1,A12
206      MOVY     A3,A12
207      SRA      1,A12
208      ADDXY    A12,A0
209      JRUC     label3
210 label28:  SUBK     1,A2
211      JRNZ     label29
212      ADD      A8,A10
213      ADD      A8,A10
214      MOVE     A3,A12
215      SRA      1,A12
216      ADDXY    A12,A0
217      JRUC     label3
218 label29:  SUBK     1,A2
219      JRNZ     label30
220      ADD      A8,A10
221      ADD      A8,A10
222      ADD      A5,A10
223      MOVE     A3,A12
224      SRA      1,A12
225      MOVX     A3,A11
226      SRA      2,A11
227      ADDXY    A11,A12
228      ADDXY    A12,A0
229      JRUC     label3
230 label30:  SUBK     1,A2
231      JRNZ     label31
232      ADD      A9,A10
233      ADD      A9,A10
234      ADD      A9,A10
235      MOVY     A3,A12
236      SRA      1,A12
237      MOVY     A3,A11
238      SRA      2,A11
239      ADDXY    A11,A12
240      ADDXY    A12,A0
```



```
241      JRUC      label3
242 label31:  SUBK      1,A2
243          JRNZ      label32
244          ADD      A8,A10
245          ADD      A9,A10
246          ADD      A9,A10
247          MOVE     A3,A12
248          SRA      2,A12
249          MOVY     A3,A11
250          SRA      1,A11
251          ADDXY    A11,A12
252          ADDXY    A12,A0
253          JRUC      label3
254 label32:  SUBK      1,A2
255          JRNZ      label5
256          ADD      A8,A10
257          ADD      A8,A10
258          ADD      A9,A10
259          MOVE     A3,A12
260          SRA      1,A12
261          MOVY     A3,A11
262          SRA      2,A11
263          ADDXY    A11,A12
264          ADDXY    A12,A0
265          JRUC      label3
266 label5:  ADD      A8,A10
267          ADD      A8,A10
268          ADD      A8,A10
269          MOVE     A3,A12
270          SRA      1,A12
271          MOVE     A3,A11
272          SRA      2,A11
273          ADDXY    A11,A12
274          ADDXY    A12,A0
275          JRUC      label3
276 label2:  SUBK      1,A2
277          JRZ      label3
278          MOVE     A8,A5
279          SUB      A9,A5
280          SUBK      1,A2
281          JRNZ      label40
282          ADD      A9,A10
283          MOVX     A3,A12
284          SRA      2,A12
285          ADDXY    A12,A0
286          JRUC      label3
287 label40: SUBK      1,A2
288          JRNZ      label41
289          ADD      A9,A10
290          ADD      A9,A10
291          MOVX     A3,A12
292          SRA      1,A12
293          ADDXY    A12,A0
294          JRUC      label3
295 label41: SUBK      1,A2
296          JRNZ      label42
297          ADD      A9,A10
298          ADD      A9,A10
299          ADD      A9,A10
300          MOVX     A3,A12
```

```
301      SRA      2,A12
302      MOVX     A3,A11
303      SRA      1,A11
304      ADDXY    A11,A12
305      ADDXY    A12,A0
306      JRUC     label3
307 label42:    SUBK     1,A2
308      JRNZ     label43
309      ADD      A5,A10
310      MOVY     A3,A12
311      SRA      2,A12
312      ADDXY    A12,A0
313      JRUC     label3
314 label43:    SUBK     1,A2
315      JRNZ     label44
316      ADD      A8,A10
317      MOVE     A3,A12
318      SRA      2,A12
319      ADDXY    A12,A0
320      JRUC     label3
321 label44:    SUBK     1,A2
322      JRNZ     label45
323      ADD      A9,A10
324      ADD      A8,A10
325      MOVY     A3,A12
326      SRA      1,A12
327      MOVX     A3,A12
328      SRA      1,A12
329      ADDXY    A12,A0
330      JRUC     label3
331 label45:    SUBK     1,A2
332      JRNZ     label46
333      ADD      A9,A10
334      ADD      A9,A10
335      ADD      A8,A10
336      MOVE     A3,A12
337      SRA      2,A12
338      MOVX     A3,A11
339      SRA      1,A11
340      ADDXY    A11,A12
341      ADDXY    A12,A0
342      JRUC     label3
343 label46:    SUBK     1,A2
344      JRNZ     label47
345      SLL      1,A5
346      ADD      A5,A10
347      MOVY     A3,A12
348      SRA      1,A12
349      ADDXY    A12,A0
350      JRUC     label3
351 label47:    SUBK     1,A2
352      JRNZ     label48
353      ADD      A8,A10
354      ADD      A5,A10
355      MOVX     A3,A12
356      SRA      1,A12
357      MOVY     A3,A12
358      SRA      1,A12
359      ADDXY    A12,A0
360      JRUC     label3
```

```
361 label48:  SUBK    1,A2
362          JRNZ   label49
363          ADD    A8,A10
364          ADD    A8,A10
365          MOVE   A3,A12
366          SRA    1,A12
367          ADDXY  A12,A0
368          JRUC   label13
369 label49:  SUBK    1,A2
370          JRNZ   label50
371          ADD    A8,A10
372          ADD    A8,A10
373          ADD    A9,A10
374          MOVE   A3,A12
375          SRA    1,A12
376          MOVX   A3,A11
377          SRA    2,A11
378          ADDXY  A11,A12
379          ADDXY  A12,A0
380          JRUC   label13
381 label50:  SUBK    1,A2
382          JRNZ   label51
383          ADD    A5,A10
384          SLL    1,A5
385          ADD    A5,A10
386          MOVY   A3,A12
387          SRA    2,A12
388          MOVY   A3,A11
389          SRA    1,A11
390          ADDXY  A11,A12
391          ADDXY  A12,A0
392          JRUC   label13
393 label51:  SUBK    1,A2
394          JRNZ   label52
395          SLL    1,A5
396          ADD    A5,A10
397          ADD    A8,A10
398          MOVE   A3,A12
399          SRA    2,A12
400          MOVY   A3,A11
401          SRA    1,A11
402          ADDXY  A11,A12
403          ADDXY  A12,A0
404          JRUC   label13
405 label52:  SUBK    1,A2
406          JRNZ   label15
407          ADD    A9,A10
408          ADD    A8,A10
409          ADD    A8,A10
410          MOVE   A3,A12
411          SRA    1,A12
412          MOVY   A3,A11
413          SRA    2,A11
414          ADDXY  A11,A12
415          ADDXY  A12,A0
416 label13:  CMPI    0,A1
417          JRLE   label10
418 label18:  CLR     A11
419          CLR     A12
420          CLR     A5
```

```
421      MOVX    A4,A5
422      MOVE    A5,A5
423      JRZ     label7
424      JRN     label8
425      MOVX    A0,A11
426      MOVX    A13,A12
427      CMP     A12,A11
428      JRLE   label9
429      JRUC   label10
430 label8:    MOVX    A0,A11
431      MOVX    A13,A12
432      CMP     A11,A12
433      JRLE   label9
434      JRUC   label10
435 label7:    CLR     A5
436      MOVY    A4,A5
437      MOVE    A5,A5
438      JRN     label11
439      MOVY    A0,A11
440      MOVY    A13,A12
441      CMP     A12,A11
442      JRLE   label9
443      JRUC   label10
444 label11:   MOVY    A0,A11
445      MOVY    A13,A12
446      CMP     A11,A12
447      JRLE   label9
448      JRUC   label10
449 label9:   CMPI    0,A10
450      JRLT   label13
451      CMP     A8,A10
452      JRLT   label12
453      CMP     A9,A10
454      JRGE   label12
455      DRAV   A3,A0
456      JRUC   label14
457 label12:  ADDXY   A3,A0
458 label14:  ADD     A6,A10
459      JRUC   label15
460 label13:  CMP     A8,A10
461      JRLT   label16
462      CMP     A9,A10
463      JRGE   label16
464      DRAV   A4,A0
465      JRUC   label17
466 label16:  ADDXY   A4,A0
467 label17:  ADD     A7,A10
468 label15:  SUBK    1,A1
469      JRNZ   label18
470      JRUC   label10
471 fin:     DRAV   A1,A0
472 label10:  MMFM   SP,A0,A1,A2,A3,A4,A5,A6,A7,A8,A9,A10,A11,A12,A13
473      RETS    2
474      .end
```

**PROGRAMME DE:**  
**TRACE DE CERCLE**

```
1 #include "colors.h"
2
3 main()
4 {
5     int r,x,y,i;
6     long color;
7
8     init_sdb();
9     init_palet();
10    erase_screen();
11    color = 0x77777777;
12    x=350;
13    y=250;
14    r=200;
15        set_color1(color);
16        for (i=1;i<=100;i++){
17            circle(r,x,y);
18        }
19    asm ("          TRAP 29");
20    printf ("ok !!!!\n");
21    for (;;)
22    }
```

```

1      .width      132
2
3      *          (c) Copyright 1987, Texas Instruments, Incorporated
4      *-----
5      *----- TMS34010 Graphics Function Library -----
6      *-----
7      * circle function
8      *
9      * Draw outline of circle. Radius of circle is specified by argument
10     * r. Center point is specified by arguments x and y.
11     *
12     * This function is designed to be called from a GSP-C program.
13     *-----
14     * Usage: circle(r, x, y);
15     *
16     * Description of stack arguments:
17     * int r; /* radius */
18     * int x, y; /* center coordinates */
19     *
20     * Returned in register A8: Void (undefined)
21     *
22     * Registers altered: A8
23     *-----
24     * Revision history:
25     * 1/9/87.....Original version written.....Jerry Van Aken
26     *-----
27     ;
28     .title 'circle'
29     .file 'circle.asm'
30     ;
31     ;
32     DECLARE GLOBAL FUNCTION NAME
33     ;
34     .globl _circle
35     ;
36     ;
37     ENTRY POINT
38     ;
39     _circle:
40
41     MMTM      SP,A0,A1,A2,A3,A4,A5,A6,A10,A11,A12,A13,A14
42     MMTM      SP,B0,B1,B2,B7,B10,B11,B12,B13,B14
43     MOVE      *-A14,A8,1 ;get argument 'r'
44     MOVE      *-A14,A0,1 ;get argument 'x'
45     MOVE      *-A14,A1,1 ;get argument 'y'
46     TRAP      29
47     * Form XY address of circle's center point.
48     SLL      16,A1 ;concatenate x and y
49     MOVY     A1,A0 ;
50     * Get starting XY addresses for arcs in 8 octants.
51     MOVE     A8,A1 ;copy r
52     JRZ     C3 ;jump if r = 0
53     SLL     16,A1 ;XY displacement +r::0 in A1
54     MOVE     A1,A2 ;
55     NEG     A2 ;XY displacement -r::0 in A2
56     MOVE     A2,A3 ;
57     SRL     16,A3 ;XY displacement 0::-r in A3
58     ADDXY   A0,A1 ;A1 = XY pointer in octant 2
59     ADDXY   A0,A2 ;A2 = XY pointer in octant 5
60     ADDXY   A0,A3 ;

```

```

61      ADDXY      A8,A0          ;A0 = XY pointer in octant 0
62      MOVE      A1,B0          ;B0 = XY pointer in octant 1
63      MOVE      A3,B1          ;B1 = XY pointer in octant 3
64      MOVE      A3,B2          ;B2 = XY pointer in octant 4
65      MOVE      A2,B7          ;B7 = XY pointer in octant 6
66      MOVE      A0,A3          ;A3 = XY pointer in octant 7
67 * Set up XY increments for horizontal, vertical and diagonal moves.
68      MOVI      >00010000,A10      ;deltay = +1, deltax = 0
69      MOVI      >0001FFFF,A11      ;deltay = +1, deltax = -1
70      MOVI      >0000FFFF,A12      ;deltay = 0, deltax = -1
71      MOVI      -1,A13          ;deltay = -1, deltax = -1
72      MOVI      >FFFF0000,A14      ;deltay = -1, deltax = 0
73      MOVE      A10,B10         ;deltay = +1, deltax = 0
74      MOVI      >00010001,B11      ;deltay = +1, deltax = +1
75      MOVK      >00000001,B12      ;deltay = 0, deltax = +1
76      MOVI      >FFFF0001,B13      ;deltay = -1, deltax = +1
77      MOVE      A14,B14         ;deltay = -1, deltax = 0
78 * Set up initial values for loop control variables.
79      MOVE      A8,A4          ;initially d = 5 - 4*r
80      SLL       2,A4          ;
81      NEG       A4           ;
82      ADDK      5,A4          ;
83      MOVK      4,A5          ;initially p = 4
84      MOVE      A8,A6          ;initially q = 4 - 8*r
85      SLL       3,A6          ;
86      NEG       A6           ;
87      ADDK      4,A6          ;
88 * Draw 4 starting pixels at top, bottom and sides of circle.
89      DRAV      A10,A0         ;draw & advance in octant 0
90      ADDXY     B12,B0         ;----- advance in octant 1
91      DRAV      A12,A1         ;draw & advance in octant 2
92      DRAV      B10,B1         ;draw & advance in octant 3
93      ADDXY     B14,B2         ;----- advance in octant 4
94      DRAV      A12,A2         ;draw & advance in octant 5
95      ADDXY     B12,B7         ;----- advance in octant 6
96      ADDXY     A14,A3         ;----- advance in octant 7
97      SUBK      1,A8          ;decrement loop count by 1
98      JRLE     C5           ;jump if r < 2 (all done)
99      ADDK      8,A5          ;p += 8
100     ADDK      8,A6          ;q += 8
101     ADD       A5,A4          ;d += p
102     JRNN     C2           ;jump if d >= 0 (and r < 5)
103 *-----BEGIN INNER LOOP OF CIRCLE ALGORITHM-----
104 * Move arc in horizontal or vertical direction in each of the 8 octants.
105 C1:
106     DRAV      A10,A0         ;draw & advance in octant 0
107     DRAV      B12,B0         ;draw & advance in octant 1
108     DRAV      A12,A1         ;draw & advance in octant 2
109     DRAV      B10,B1         ;draw & advance in octant 3
110     DRAV      B14,B2         ;draw & advance in octant 4
111     DRAV      A12,A2         ;draw & advance in octant 5
112     DRAV      B12,B7         ;draw & advance in octant 6
113     DRAV      A14,A3         ;draw & advance in octant 7
114     SUBK      1,A8          ;decrement loop count by 1
115     JRLE     C5           ;jump if at end of octant
116     ADDK      8,A5          ;p += 8
117     ADDK      8,A6          ;q += 8
118     ADD       A5,A4          ;d += p
119     JRN      C1           ;jump if d < 0
120 * Move arc in diagonal direction in each of the 8 octants.

```



```

121 C2:
122     DRAV     A11,A0           ;draw & advance in octant 0
123     DRAV     B13,B0           ;draw & advance in octant 1
124     DRAV     A13,A1           ;draw & advance in octant 2
125     DRAV     B11,B1           ;draw & advance in octant 3
126     DRAV     B13,B2           ;draw & advance in octant 4
127     DRAV     A11,A2           ;draw & advance in octant 5
128     DRAV     B11,B7           ;draw & advance in octant 6
129     DRAV     A13,A3           ;draw & advance in octant 7
130     SUBK     2,A8             ;decrement loop count by 2
131     JRLE     C4               ;jump if at end of octant
132     ADDK     8,A5             ;p += 8
133     ADDK     16,A6            ;q += 16
134     ADD      A6,A4            ;d += q
135     JRN      C1               ;jump if d < 0
136     JRUC     C2               ;jump if d >= 0
137 * In special case in which r = 0, draw a single point.
138 C3:
139     DRAV     A0,A0           ;
140     JRUC     C5               ;
141 * Check whether 4 final pixels must be drawn so that arcs touch.
142 C4:
143     JRNZ     C5               ;jump if arcs already touch
144     DRAV     A8,A0           ;draw pixel between oct's 0,1
145     DRAV     A8,A1           ;draw pixel between oct's 2,3
146     DRAV     A8,A2           ;draw pixel between oct's 4,5
147     DRAV     A8,A3           ;draw pixel between oct's 6,7
148 * Restore registers and return.
149 C5:
150     MMFM     SP,B0,B1,B2,B7,B10,B11,B12,B13,B14
151     MMFM     SP,A0,A1,A2,A3,A4,A5,A6,A10,A11,A12,A13,A14
152     SUBI     3*32,A14         ;adjust parameter stack ptr
153     RETS     2                ;return
154     .end

```

**PROGRAMME DE:**

**TRACE D'UN QUART DE CERCLE**

```
1 #include "colors.h"
2
3 main()
4 {
5     int r,x,y,i;
6     long color;
7
8     init_sdb();
9     init_palet();
10    erase_screen();
11    color = 0x77777777;
12    x=350;
13    y=250;
14    r=200;
15        set_color1(color);
16    for (i=1;i<=100;i++){
17        circles(r,x,y);
18    }
19    asm ("          TRAP 29");
20    printf ("ok !!!!\n");
21    for (;;)
22    }
```

```

1      .width      132
2
3      *          (c) Copyright 1987, Texas Instruments, Incorporated
4      *-----
5      *----- TMS34010 Graphics Function Library -----
6      *-----
7      * circle function
8      *
9      * Draw outline of circle. Radius of circle is specified by argument
10     * r.          Center point is specified by arguments x and y.
11     *
12     * This function is designed to be called from a GSP-C program.
13     *-----
14     * Usage: circle(r, x, y);
15     *
16     * Description of stack arguments:
17     * int r; /* radius */
18     * int x, y; /* center coordinates */
19     *
20     * Returned in register A8: Void (undefined)
21     *
22     * Registers altered: A8
23     *-----
24     * Revision history:
25     * 1/9/87.....Original version written.....Jerry Van Aken
26     *-----
27     ;
28     .title      'circles'
29     .file        'circles.asm'
30     ;
31     ;
32     DECLARE GLOBAL FUNCTION NAME
33     ;
34     .globl      _circles
35     ;
36     ;
37     ENTRY POINT
38     ;
39     _circles:
40
41     MMTM          SP,A0,A1,A4,A5,A6,A10,A11,A12,A13,A14
42     MMTM          SP,B0,B1,B2,B10,B11,B12,B13
43     MOVE          *-A14,A8,1          ;get argument 'r'
44     MOVE          *-A14,A0,1          ;get argument 'x'
45     MOVE          *-A14,A1,1          ;get argument 'y'
46     TRAP          29
47     * Form XY address of circle's center point.
48     SLL           16,A1          ;concatenate x and y
49     MOVY          A1,A0          ;
50     * Get starting XY addresses for arcs in 8 octants.
51     MOVE          A8,A1          ;copy r
52     JRZ           C3          ;jump if r = 0
53     SLL           16,A1          ;XY displacement +r::0 in A1
54     MOVE          A1,B0          ;
55     NEG           B0          ;XY displacement -r::0 in A2
56     MOVE          B0,B1          ;
57     SRL           16,B1          ;XY displacement 0::-r in A3
58     MOVE          A0,B2
59     ADDXY         A0,A1          ;A1 = XY pointer in octant 2
60     ADDXY         B2,B0          ;A2 = XY pointer in octant 5

```

```

61      ADDXY      B2,B1          ;
62      ADDXY      A8,A0          ;A0 = XY pointer in octant 0
63 * Set up XY increments for horizontal, vertical and diagonal moves.
64      MOVI       >00010000,A10      ;deltay = +1, deltax = 0
65      MOVI       >0001FFFF,A11      ;deltay = +1, deltax = -1
66      MOVI       >0000FFFF,A12      ;deltay = 0, deltax = -1
67      MOVI       -1,A13            ;deltay = -1, deltax = -1
68      MOVI       >FFFF0000,B10      ;deltay = -1, deltax = 0
69      MOVI       >00010001,B11      ;deltay = +1, deltax = +1
70      MOVK       >00000001,B12      ;deltay = 0, deltax = +1
71      MOVI       >FFFF0001,B13      ;deltay = -1, deltax = +1
72 * Set up initial values for loop control variables.
73      SLL        1,A8
74      MOVE       A8,A4            ;initially d = 5 - 4*r
75      SLL        2,A4            ;
76      NEG        A4              ;
77      ADDK       5,A4            ;
78      MOVK       4,A5            ;initially p = 4
79      MOVE       A8,A6            ;initially q = 4 - 8*r
80      SLL        3,A6            ;
81      NEG        A6              ;
82      ADDK       4,A6            ;
83 * Draw 4 starting pixels at top, bottom and sides of circle.
84      DRAW       A10,A0          ;draw & advance in octant 0
85      DRAW       A12,A1          ;draw & advance in octant 2
86      DRAW       B10,B1          ;draw & advance in octant 3
87      DRAW       B12,B0          ;draw & advance in octant 5
88      SUBK       1,A8            ;decrement loop count by 1
89      JRLE       C5              ;jump if r < 2 (all done)
90      ADDK       8,A5            ;p += 8
91      ADDK       8,A6            ;q += 8
92      ADD        A5,A4          ;d += p
93      JRNN       C2              ;jump if d >= 0 (and r < 5)
94 *-----BEGIN INNER LOOP OF CIRCLE ALGORITHM-----
95 * Move arc in horizontal or vertical direction in each of the 8 octants.
96 C1:
97      DRAW       A10,A0          ;draw & advance in octant 0
98      DRAW       B12,B0          ;draw & advance in octant 1
99      DRAW       A12,A1          ;draw & advance in octant 2
100     DRAW       B10,B1          ;draw & advance in octant 3
101     SUBK       1,A8            ;decrement loop count by 1
102     JRLE       C5              ;jump if at end of octant
103     ADDK       8,A5            ;p += 8
104     ADDK       8,A6            ;q += 8
105     ADD        A5,A4          ;d += p
106     JRN        C1              ;jump if d < 0
107 * Move arc in diagonal direction in each of the 8 octants.
108 C2:
109     DRAW       A11,A0          ;draw & advance in octant 0
110     DRAW       B11,B0          ;draw & advance in octant 1
111     DRAW       A13,A1          ;draw & advance in octant 2
112     DRAW       B13,B1          ;draw & advance in octant 3
113     SUBK       2,A8            ;decrement loop count by 2
114     JRLE       C4              ;jump if at end of octant
115     ADDK       8,A5            ;p += 8
116     ADDK       16,A6           ;q += 16
117     ADD        A6,A4          ;d += q
118     JRN        C1              ;jump if d < 0
119     JRUC       C2              ;jump if d >= 0
120 * In special case in which r = 0, draw a single point.

```

```
121 C3:
122     DRAV     A0,A0           ;
123     JRUC     C5             ;
124 * Check whether 4 final pixels must be drawn so that arcs touch.
125 C4:
126     JRNZ     C5             ;jump if arcs already touch
127     DRAV     A8,A0         ;draw pixel between oct's 0,1
128     DRAV     A8,A1         ;draw pixel between oct's 2,3
129     DRAV     A8,A2         ;draw pixel between oct's 4,5
130     DRAV     A8,A3         ;draw pixel between oct's 6,7
131 * Restore registers and return.
132 C5:
133     MMFM     SP,B0,B1,B2,B10,B11,B12,B13
134     MMFM     SP,A0,A1,A4,A5,A6,A10,A11,A12,A13,A14
135     SUBI     3*32,A14       ;adjust parameter stack ptr
136     RETS     2              ;return
137     .end
```

**PROGRAMME DE:**

**REPLISSAGE**

```

1 #include "colors.h"
2   int max(tab,n)
3   int tab[],n;
4   { int m,i;
5   m=0;
6   for (i=1;i<=n;i++) {
7   if (tab[i]>m) m=tab[i]; }
8   return m;
9   }
10  t1(yi,yf,dyi)
11  int yi,yf,*dyi;
12  {
13  if ((yf-yi)>0) *dyi=1;
14  else if ((yf-yi)<0) *dyi= -1;
15  else *dyi=0;
16  }
17  segment1(xx0,yy0,xx1,yy1,m)
18  int xx0,yy0,xx1,yy1,m;
19  { long color;
20  remp(xx0,yy0,xx1,yy1,m,1);
21  remp(xx0,yy0,xx1,yy1,m,2);
22  remp(xx0,yy0,xx1,yy1,m,3);
23  remp(xx0,yy0,xx1,yy1,m,4);
24  remps(xx0+1,yy0,xx1+1,yy1,m,1);
25  remps(xx0+1,yy0,xx1+1,yy1,m,2);
26  remps(xx0+1,yy0,xx1+1,yy1,m,3);
27  remps(xx0+1,yy0,xx1+1,yy1,m,4);
28  }
29  remplis(x0,y0,x1,y1,x2,y2,x3,y3,m)
30  int x0,y0,x1,y1,x2,y2,x3,y3,m;
31  { int dy0,dy1,dx1,dy2;
32  t1(y0,y1,&dy0);
33  t1(y1,y2,&dy1);
34  t1(x1,x2,&dx1);
35  t1(y2,y3,&dy2);
36  if (dy1==0)
37  {
38  if ((dy0==1)&&(dy2==1))
39  {
40  if (dx1==1)
41  {
42  segment1(x2,y2,x2,y2,m); }
43  else {
44  segment1(x1,y1,x1,y1,m); } }
45  if ((dy0== -1)&&(dy2== -1))
46  {
47  if (dx1==1)
48  {
49  segment1(x1+1,y1,x1+1,y1,m); }
50  else {
51  segment1(x2+1,y2,x2+1,y2,m); } } }
52  else {
53  if (dy0==1)
54  {
55  if (dy1==1)
56  {
57  segment1(x1,y1,x1,y1,m);
58  segment1(x1,y1,x2,y2,m); }
59  else {
60  segment1(x1,y1,x2,y2,m); } }

```



```
61 else {
62     if (dy0== -1)
63     {
64         if (dy1== -1)
65         {
66             segment1(x1+1,y1,x1+1,y1,m);
67             segment1(x1,y1,x2,y2,m); }
68         else {
69             segment1(x1,y1,x2,y2,m); } }
70     else {
71         if (dy1==1)
72         {
73             segment1(x1,y1,x2,y2,m); }
74         else {
75             segment1(x1,y1,x2,y2,m); } } } }
76     }
77 main()
78 {
79     int xtab[100],ytab[100];
80     int n,i,m,j;
81
82     init_sdb();
83     init_palet();
84     erase_screen();
85     n=17;
86     xtab[1]=250;
87     ytab[1]=50;
88     xtab[2]=200;
89     ytab[2]=150;
90     xtab[3]=175;
91     ytab[3]=100;
92     xtab[4]=100;
93     ytab[4]=175;
94     xtab[5]=100;
95     ytab[5]=275;
96     xtab[6]=50;
97     ytab[6]=325;
98     xtab[7]=75;
99     ytab[7]=375;
100    xtab[8]=125;
101    ytab[8]=300;
102    xtab[9]=150;
103    ytab[9]=450;
104    xtab[10]=225;
105    ytab[10]=400;
106    xtab[11]=275;
107    ytab[11]=425;
108    xtab[12]=325;
109    ytab[12]=350;
110    xtab[13]=375;
111    ytab[13]=250;
112    xtab[14]=425;
113    ytab[14]=225;
114    xtab[15]=400;
115    ytab[15]=200;
116    xtab[16]=350;
117    ytab[16]=75;
118    xtab[17]=300;
119    ytab[17]=125;
120    for (j=1;j<100;j++){
```

```
121 m=max(xtab,n);
122 remplis(xtab[n],ytab[n],xtab[1],ytab[1],xtab[2],ytab[2],
xtab[3],ytab[3],m);
123 for (i=2;i<=n-2;i++) {
124 remplis(xtab[i-1],ytab[i-1],xtab[i],ytab[i],xtab[i+1],ytab[i+1],
xtab[i+2],ytab[i+2],m);
125 }
126 remplis(xtab[n-2],ytab[n-2],xtab[n-1],ytab[n-1],xtab[n],ytab[n],
xtab[1],ytab[1],m);
127 remplis(xtab[n-1],ytab[n-1],xtab[n],ytab[n],xtab[1],ytab[1],
xtab[2],ytab[2],m);
128 }
129 asm ("          TRAP 29");
130 printf ("ok !!!!\n");
131 for (;;)
132 }
```

```

1
2 *          (c) Copyright 1986, Texas Instruments, Incorporated
3 *-----
4 *----- TMS34010 Graphics Function Library -----
5 *-----
6 * line function
7 *
8 * This version of the function uses the LINE instruction, and will run
9 * only on TMX34010A samples and above (revisions 2.0 and higher).
10 * Another version of line is provided to run on TMX34010
11 * (revision 1.0) samples.
12 *
13 * Draw a line from point (xs,ys) to point (xe,ye) using Bresenham's
14 * algorithm.
15 *
16 * This function is designed to be called from a GSPC program.
17 *-----
18 * Usage:  line(xs, ys, xe, ye);
19 *
20 * Description of the arguments:
21 *   int xs, ys; /* starting line coordinates */
22 *   int xe, ye; /* ending line coordinates  */
23 *
24 * Returned in register A8:  Void (undefined).
25 *
26 * Registers altered:  A8
27 *-----
28 * Revision history:
29 *   12/02/86...Original version written.....Mike Asal
30 *-----
31         .title   'draw a line'
32         .file    'remp.asm'
33         .nolist
34         .copy    macros.hdr
35         .list
36 ;
37 ;
38 ;   DECLARE GLOBAL FUNCTION NAME
39 ;
40         .globl   _remp
41 ;
42 ;
43 ;   ENTRY POINT
44 ;
45 _remp:
46         MMTM    SP,A0,A1,A2,A3,A4,A5,A6,A7,A8,A9,A10,A11,A12,A13
47         MMTM    SP,B10,B11,B12,B13,B14
48 * Calculate XY addresses for line start and end points.
49         MOVE    *-A14,A0,1           ; Get start x
50         MOVE    *-A14,A1,1           ; Get start y
51         SLL     16,A1
52         MOVY    A1,A0                 ; B2 = (y0,x0)
53         MOVE    *-A14,A1,1           ; Get end x
54         MOVE    *-A14,A2,1           ; Get end y
55         SLL     16,A2
56         MOVY    A2,A1                 ; B10 = (y1,x1)
57 * Determine which octant line is in, and set up accordingly.
58         MOVE    *-A14,A2,1
59         MOVE    A2,B10
60         MOVI    >00000002,B12

```

```

61      MOVE      A1,A13
62      CLR       A2
63      MOVI      >0028,A2
64      MOVb      A2,@>C00000B8
65      CLR       A2
66      SUBXY     A0,A1          ; B10 = (y1-y0,x1-x0) = (b,a)
67      JRN2     a1
68      JRN2     a1
69      MOVE     *-A14,A2,1
70      SUBK     1,A2
71      JRZ      fin
72      JRUc     label10
73      a1:
74      JRNv     bneg_apos
75      SUBXY     A1,A2          ; B7 = (|b|,|a|)
76      MOVI     >FFFFFFF,A3   ; B11 = (-1,-1)
77      JRUc     cmp_b_a
78      bneg_apos:
79      MOVX     A1,A2          ; B7 = (|b|,|a|)
80      MOVI     >FFFF0002,A3   ; B11 = (-1,1)
81      JRUC     cmp_b_a
82      bpos:
83      SUBXY     A1,A2          ; B7 = (|b|,|a|)
84      MOVY     A1,A2          ; B11 = (1,-1)
85      MOVI     >0002FFFF,A3   ; B7 = (|b|,|a|)
86      JRUC     cmp_b_a          ; B11 = (1,1)
87      bpos_apos:
88      MOVI     >00020002,A3   ; B11 = (1,1)
89      cmp_b_a:
90      CLR      A4
91      MOVE     A2,A5          ; B0 = b
92      SRL     16,A5
93      CLR     A1
94      MOVX     A2,A1          ; B10 = a
95      CMP     A5,A1
96      JRGT     a_ge_b
97      MOVE     A5,A1
98      MOVX     A2,A5
99      RL      16,A2          ; a and b swapped
100     MOVY     A3,A4
101     SLL     1,A5
102     SUB     A1,A5          ; B0 = 2b - a
103     * If drawing in +Y direction, use LINE 0. Otherwise, use LINE 1.
104     a_ge_b:
105     MOVX     A3,A4
106     SLL     1,A5
107     SUB     A1,A5          ; B0 = 2b - a
108     label0:
109     SRL     1,A1
110     ADDK     A6
111     MOVY     A2,A7
112     SRL     16,A7
113     MOVE     A7,A9
114     SLL     1,A7
115     MOVX     A2,A6
116     SLL     1,A6
117     NEG     A6
118     ADD     A7,A6
119     MOVE     A6,A8
120     SRA     1,A8
121     MOVE     A5,A10

```

```

121      SRA      1,A10
122      BTST    0,A5
123      JRZ     label1
124      BTST    31,A5
125      JRZ     label1
126      SUBK    1,A10
127 label1:    CLR     A12
128      MOVE    *-A14,A2,1
129      CLR     A5
130      MOVX    A4,A5
131      MOVE    A5,A5
132      JRNZ    label2
133      SUBK    1,A2
134      JRZ     label3
135      SUBK    1,A2
136      JRNZ    label4
137      MOVE    A8,A11
138      SUB     A9,A11
139      ADD     A11,A10
140      BTST    15,A3
141      JRZ     label25
142      MOVK    1,A12
143      SLL     16,A12
144 label25:  MOVX    A3,A12
145      SRA     1,A12
146      ADDXY   A12,A0
147      JRUC    label3
148 label4:  SUBK    1,A2
149      JRNZ    label5
150      ADD     A9,A10
151      MOVY    A3,A12
152      SRA     1,A12
153      ADDXY   A12,A0
154      JRUC    label3
155 label5:  ADD     A8,A10
156      MOVE    A3,A12
157      BTST    15,A3
158      JRZ     label26
159      ORI     >00010000,A12
160 label26: SRA     1,A12
161      ADDXY   A12,A0
162      JRUC    label3
163 label2:  SUBK    1,A2
164      JRZ     label3
165      SUBK    1,A2
166      JRNZ    label6
167      ADD     A9,A10
168      BTST    15,A3
169      JRZ     label27
170      MOVK    1,A12
171      SLL     16,A12
172 label27: MOVX    A3,A12
173      SRA     1,A12
174      ADDXY   A12,A0
175      JRUC    label3
176 label6:  SUBK    1,A2
177      JRNZ    label5
178      MOVE    A8,A11
179      SUB     A9,A11
180      ADD     A11,A10

```

```
181          MOVY    A3,A12
182          SRA     1,A12
183          ADDXY   A12,A0
184 label3:    CLR     A5
185          CMPI    0,A1
186          JRLE   label10
187 label18:  CLR     A11
188          CLR     A12
189          MOVX   A4,A11
190          MOVE   A11,A11
191          JRZ    label7
192          BTST   15,A11
193          JRNZ   label8
194          CLR     A11
195          MOVX   A0,A11
196          MOVX   A13,A12
197          CMP    A12,A11
198          JRLE   label9
199          JRUC   label10
200          CLR     A11
201 label8:   MOVX   A0,A11
202          MOVX   A13,A12
203          CMP    A11,A12
204          JRLE   label9
205          JRUC   label10
206 label7:   CLR     A11
207          MOVY   A4,A11
208          MOVE   A11,A11
209          JRN    label11
210          CLR     A11
211          MOVY   A0,A11
212          MOVY   A13,A12
213          CMP    A12,A11
214          JRLE   label9
215          JRUC   label10
216          CLR     A11
217 label11:  MOVY   A0,A11
218          MOVY   A13,A12
219          CMP    A11,A12
220          JRLE   label9
221          JRUC   label10
222 label9:   CMPI    0,A10
223          JRLT   label13
224          CMP    A8,A10
225          JRLT   label12
226          CMP    A9,A10
227          JRGE   label12
228 label30:  MOVE   A0,B11
229          MOVY   B11,B10
230 label20:  CMP    B10,B11
231          JRGT   label12
232          DRAV   B12,B11
233          JRUC   label20
234 label12:  ADDXY   A3,A0
235          CLR     A5
236 label14:  ADD     A6,A10
237          JRUC   label15
238 label13:  CMP    A8,A10
239          JRLT   label16
240          CMP    A9,A10
```

```
241          JRGE      label16
242 label31:  MOVE      A0,B11
243          MOVY      B11,B10
244 label21:  CMP        B10,B11
245          JRGT      label16
246          DRAV      B12,B11
247          JRUC      label21
248 label16:  ADDXY     A4,A0
249          MOVK      1,A5
250 label17:  ADD        A7,A10
251 label15:  SUBK      1,A1
252          JRNZ     label18
253          JRUC      label10
254 fin:     MOVE      A0,B11
255          MOVY      B11,B10
256 label22:  CMP        B10,B11
257          JRGT      label10
258          DRAV      B12,B11
259          JRUC      label22
260 label10:  MMFM      SP,B10,B11,B12,B13,B14
261          MMFM      SP,A0,A1,A2,A3,A4,A5,A6,A7,A8,A9,A10,A11,A12,A13
262          RETS      2
263          .end
```

```

1
2 *           (c) Copyright 1986, Texas Instruments, Incorporated
3 *-----
4 *----- TMS34010 Graphics Function Library -----
5 *-----
6 * line function
7 *
8 *   This version of the function uses the LINE instruction, and will run
9 *   only on TMX34010A samples and above (revisions 2.0 and higher).
10 *   Another version of line is provided to run on TMX34010
11 *   (revision 1.0) samples.
12 *
13 *   Draw a line from point (xs,ys) to point (xe,ye) using Bresenham's
14 *   algorithm.
15 *
16 *   This function is designed to be called from a GSPC program.
17 *-----
18 * Usage:  line(xs, ys, xe, ye);
19 *
20 * Description of the arguments:
21 *   int xs, ys; /* starting line coordinates */
22 *   int xe, ye; /* ending line coordinates */
23 *
24 * Returned in register A8:  Void (undefined).
25 *
26 * Registers altered:  A8
27 *-----
28 * Revision history:
29 *   12/02/86...Original version written.....Mike Asal
30 *-----
31         .title   'draw a line'
32         .file    'remps.asm'
33         .nolist
34         .copy    macros.hdr
35         .list
36 ;
37 ;
38 ;   DECLARE GLOBAL FUNCTION NAME
39 ;
40         .globl   _remps
41 ;
42 ;
43 ;   ENTRY POINT
44 ;
45 _remps:
46         MMTM    SP,A0,A1,A2,A3,A4,A5,A6,A7,A8,A9,A10,A11,A12,A13
47         MMTM    SP,B10,B11,B12,B13,B14
48 * Calculate XY addresses for line start and end points.
49         MOVE    *-A14,A0,1          ; Get start x
50         MOVE    *-A14,A1,1          ; Get start y
51         SLL     16,A1
52         MOVY    A1,A0                ; B2 = (y0,x0)
53         MOVE    *-A14,A1,1          ; Get end x
54         MOVE    *-A14,A2,1          ; Get end y
55         SLL     16,A2
56         MOVY    A2,A1                ; B10 = (y1,x1)
57 * Determine which octant line is in, and set up accordingly.
58         MOVE    *-A14,A2,1
59         MOVE    A2,B10
60         MOVI    >00000002,B12

```



```

61         MOVE     A1,A13
62         CLR      A2
63         MOVI     >0028,A2
64         MOVB    A2,@>C00000B8
65         CLR      A2
66         SUBXY   A0,A1             ; B10 = (y1-y0,x1-x0) = (b,a)
67         JRNZ    a1
68         JRNN    a1
69         MOVE    *-A14,A2,1
70         SUBK    1,A2
71         JRZ     fin
72         JRUC    label10
73 a1:      JRNC    bpos
74         JRNv    bneg_apos
75 bneg_aneq: SUBXY   A1,A2             ; B7 = (|b|,|a|)
76         MOVI    >FFFEFFFE,A3       ; B11 = (-1,-1)
77         JRUC    cmp_b_a
78 bneg_apos: SUBXY   A1,A2
79         MOVX    A1,A2             ; B7 = (|b|,|a|)
80         MOVI    >FFFE0002,A3       ; B11 = (-1,1)
81         JRUC    cmp_b_a
82 bpos:    JRXNN   bpos_apos
83 bpos_aneq: SUBXY   A1,A2
84         MOVY    A1,A2             ; B7 = (|b|,|a|)
85         MOVI    >0002FFFE,A3       ; B11 = (1,-1)
86         JRUC    cmp_b_a
87 bpos_apos: MOVE    A1,A2             ; B7 = (|b|,|a|)
88         MOVI    >00020002,A3       ; B11 = (1,1)
89 cmp_b_a: CLR      A4
90         MOVE    A2,A5
91         SRL     16,A5             ; B0 = b
92         CLR     A1
93         MOVX    A2,A1             ; B10 = a
94         CMP     A5,A1
95         JRGT   a_ge_b
96 a_lt_b:  MOVE    A5,A1
97         MOVX    A2,A5
98         RL      16,A2             ; a and b swapped
99         MOVY    A3,A4
100        SLL     1,A5
101        SUB     A1,A5             ; B0 = 2b - a
102        JRUC    label0
103 * If drawing in +Y direction, use LINE 0.  Otherwise, use LINE 1.
104 a_ge_b:  MOVX    A3,A4
105        SLL     1,A5
106        SUB     A1,A5             ; B0 = 2b - a
107 label0: SRL     1,A1
108        ADDK    1,A1
109        CLR     A6
110        MOVY    A2,A7
111        SRL     16,A7
112        MOVE    A7,A9
113        SLL     1,A7
114        MOVX    A2,A6
115        SLL     1,A6
116        NEG     A6
117        ADD     A7,A6
118        MOVE    A6,A8
119        SRA     1,A8
120        MOVE    A5,A10

```

```
121      SRA      1,A10
122      BTST     0,A5
123      JRZ      label1
124      BTST     31,A5
125      JRZ      label1
126      SUBK     1,A10
127 label1:    CLR      A12
128      MOVE     *-A14,A2,1
129      CLR      A5
130      MOVX     A4,A5
131      MOVE     A5,A5
132      JRNZ     label2
133      SUBK     1,A2
134      JRZ      label3
135      SUBK     1,A2
136      JRNZ     label4
137      MOVE     A8,A11
138      SUB      A9,A11
139      ADD      A11,A10
140      BTST     15,A3
141      JRZ      label25
142      MOVK     1,A12
143      SLL      16,A12
144 label25:  MOVX     A3,A12
145      SRA      1,A12
146      ADDXY    A12,A0
147      JRUC     label3
148 label4:    SUBK     1,A2
149      JRNZ     label5
150      ADD      A9,A10
151      MOVY     A3,A12
152      SRA      1,A12
153      ADDXY    A12,A0
154      JRUC     label3
155 label5:    ADD      A8,A10
156      MOVE     A3,A12
157      BTST     15,A3
158      JRZ      label26
159      ORI      >00010000,A12
160 label26:  SRA      1,A12
161      ADDXY    A12,A0
162      JRUC     label3
163 label2:    SUBK     1,A2
164      JRZ      label3
165      SUBK     1,A2
166      JRNZ     label6
167      ADD      A9,A10
168      BTST     15,A3
169      JRZ      label27
170      MOVK     1,A12
171      SLL      16,A12
172 label27:  MOVX     A3,A12
173      SRA      1,A12
174      ADDXY    A12,A0
175      JRUC     label3
176 label6:    SUBK     1,A2
177      JRNZ     label5
178      MOVE     A8,A11
179      SUB      A9,A11
180      ADD      A11,A10
```

```
181      MOVY      A3,A12
182      SRA       1,A12
183      ADDXY     A12,A0
184 label3:      CLR       A5
185      CMPI      0,A1
186      JRLE     label10
187 label18:     CLR       A11
188      CLR       A12
189      MOVX     A4,A11
190      MOVE     A11,A11
191      JRZ      label7
192      BTST    15,A11
193      JRNZ    label8
194      CLR     A11
195      MOVX   A0,A11
196      MOVX   A13,A12
197      CMP    A12,A11
198      JRLE   label9
199      JRUC   label10
200      CLR    A11
201 label8:    MOVX   A0,A11
202      MOVX   A13,A12
203      CMP    A11,A12
204      JRLE   label9
205      JRUC   label10
206 label7:    CLR     A11
207      MOVY   A4,A11
208      MOVE   A11,A11
209      JRN    label11
210      CLR    A11
211      MOVY   A0,A11
212      MOVY   A13,A12
213      CMP    A12,A11
214      JRLE   label9
215      JRUC   label10
216      CLR    A11
217 label11:   MOVY   A0,A11
218      MOVY   A13,A12
219      CMP    A11,A12
220      JRLE   label9
221      JRUC   label10
222 label9:    CMPI   0,A10
223      JRLT   label13
224      CMP    A8,A10
225      JRLT   label12
226      CMP    A9,A10
227      JRGE   label12
228 label30:   CVXYL   A0,A2
229      MOVE   A2,B14
230      MOVB   *B14,B14
231      MOVE   A0,A2
232      SUBK   1,A2
233      CVXYL   A2,A2
234      MOVE   A2,B13
235      MOVB   *B13,B13
236      CMP    B13,B14
237      JRZ    label12
238      MOVE   A0,B11
239      MOVY   B11,B10
240 label20:   CMP     B10,B11
```

```
241          JRGT      label12
242          DRAV      B12,B11
243          JRUC      label20
244 label112:  ADDXY    A3,A0
245          CLR       A5
246 label114:  ADD      A6,A10
247          JRUC      label115
248 label113:  CMP      A8,A10
249          JRLT     label116
250          CMP      A9,A10
251          JRGE     label116
252 label31:  CVXYL    A0,A2
253          MOVE     A2,B14
254          MOVB     *B14,B14
255          MOVE     A0,A2
256          SUBK     1,A2
257          CVXYL    A2,A2
258          MOVE     A2,B13
259          MOVB     *B13,B13
260          CMP      B13,B14
261          JRZ      label116
262          MOVE     A0,B11
263          MOVY     B11,B10
264 label21:  CMP      B10,B11
265          JRGT     label116
266          DRAV     B12,B11
267          JRUC     label21
268 label16:  ADDXY    A4,A0
269          MOVK     1,A5
270 label17:  ADD      A7,A10
271 label15:  SUBK     1,A1
272          JRNZ     label118
273          JRUC     label110
274 fin:     MOVE     A0,B11
275          MOVY     B11,B10
276 label22:  CMP      B10,B11
277          JRGT     label110
278          DRAV     B12,B11
279          JRUC     label22
280 label10:  MMFM     SP,B10,B11,B12,B13,B14
281          MMFM     SP,A0,A1,A2,A3,A4,A5,A6,A7,A8,A9,A10,A11,A12,A13
282          RETS     2
283          .end
```

**PROGRAMME DE:**  
**REPLISSAGE PARALLELE**

```

1 #include "colors.h"
2   int max(tab,n)
3   int tab[],n;
4   { int m,i;
5   m=0;
6   for (i=1;i<=n;i++) {
7   if (tab[i]>m) m=tab[i]; }
8   return m;
9   }
10  t1(yi,yf,dyi)
11  int yi,yf,*dyi;
12  {
13  if ((yf-yi)>0) *dyi=1;
14  else if ((yf-yi)<0) *dyi= -1;
15  else *dyi=0;
16  }
17  segment1(xx0,yy0,xx1,yy1,m)
18  int xx0,yy0,xx1,yy1,m;
19  { long color;
20  remp(xx0,yy0,xx1,yy1,m,1);
21  remps(xx0+1,yy0,xx1+1,yy1,m,1);
22  }
23  remplis(x0,y0,x1,y1,x2,y2,x3,y3,m)
24  int x0,y0,x1,y1,x2,y2,x3,y3,m;
25  { int dy0,dy1,dx1,dy2;
26  t1(y0,y1,&dy0);
27  t1(y1,y2,&dy1);
28  t1(x1,x2,&dx1);
29  t1(y2,y3,&dy2);
30  if (dy1==0)
31  {
32  if ((dy0==1)&&(dy2==1))
33  {
34  if (dx1==1)
35  {
36  segment1(x2,y2,x2,y2,m); }
37  else {
38  segment1(x1,y1,x1,y1,m); } }
39  if ((dy0== -1)&&(dy2== -1))
40  {
41  if (dx1==1)
42  {
43  segment1(x1+1,y1,x1+1,y1,m); }
44  else {
45  segment1(x2+1,y2,x2+1,y2,m); } } }
46  else {
47  if (dy0==1)
48  {
49  if (dy1==1)
50  {
51  segment1(x1,y1,x1,y1,m);
52  segment1(x1,y1,x2,y2,m); }
53  else {
54  segment1(x1,y1,x2,y2,m); } }
55  else {
56  if (dy0== -1)
57  {
58  if (dy1== -1)
59  {
60  segment1(x1+1,y1,x1+1,y1,m);

```

```

61     segment1(x1,y1,x2,y2,m); }
62     else {
63         segment1(x1,y1,x2,y2,m); } }
64     else {
65         if (dyl==1)
66         {
67             segment1(x1,y1,x2,y2,m); }
68             else {
69                 segment1(x1,y1,x2,y2,m); } } } }
70     }
71 main()
72 {
73     int xtab[100],ytab[100];
74     int n,i,m,j;
75
76     init_sdb();
77     init_palet();
78     erase_screen();
79     n=17;
80     xtab[1]=250;
81     ytab[1]=50;
82     xtab[2]=200;
83     ytab[2]=150;
84     xtab[3]=175;
85     ytab[3]=100;
86     xtab[4]=100;
87     ytab[4]=175;
88     xtab[5]=100;
89     ytab[5]=275;
90     xtab[6]=50;
91     ytab[6]=325;
92     xtab[7]=75;
93     ytab[7]=375;
94     xtab[8]=125;
95     ytab[8]=300;
96     xtab[9]=150;
97     ytab[9]=450;
98     xtab[10]=225;
99     ytab[10]=400;
100    xtab[11]=275;
101    ytab[11]=425;
102    xtab[12]=325;
103    ytab[12]=350;
104    xtab[13]=375;
105    ytab[13]=250;
106    xtab[14]=425;
107    ytab[14]=225;
108    xtab[15]=400;
109    ytab[15]=200;
110    xtab[16]=350;
111    ytab[16]=75;
112    xtab[17]=300;
113    ytab[17]=125;
114    for (j=1;j<=100;j++){
115        m=max(xtab,n);
116        remplis(xtab[n],ytab[n],xtab[1],ytab[1],xtab[2],ytab[2],
117            xtab[3],ytab[3],m);
118        for (i=2;i<=n-2;i++) {
119            remplis(xtab[i-1],ytab[i-1],xtab[i],ytab[i],xtab[i+1],ytab[i+1],
120                xtab[i+2],ytab[i+2],m);

```

```
119 }
120 remplis(xtab[n-2],ytab[n-2],xtab[n-1],ytab[n-1],xtab[n],ytab[n],
xtab[1],ytab[1],m);
121 remplis(xtab[n-1],ytab[n-1],xtab[n],ytab[n],xtab[1],ytab[1],
xtab[2],ytab[2],m);
122 }
123 asm ("          TRAP 29");
124 printf ("ok !!!!\n");
125 for (;;)
126 }
```



```

1
2 *           (c) Copyright 1986, Texas Instruments, Incorporated
3 *-----
4 *----- TMS34010 Graphics Function Library -----
5 *-----
6 * line function
7 *
8 * This version of the function uses the LINE instruction, and will run
9 * only on TMX34010A samples and above (revisions 2.0 and higher).
10 * Another version of line is provided to run on TMX34010
11 * (revision 1.0) samples.
12 *
13 * Draw a line from point (xs,ys) to point (xe,ye) using Bresenham's
14 * algorithm.
15 *
16 * This function is designed to be called from a GSPC program.
17 *-----
18 * Usage: line(xs, ys, xe, ye);
19 *
20 * Description of the arguments:
21 * int xs, ys; /* starting line coordinates */
22 * int xe, ye; /* ending line coordinates */
23 *
24 * Returned in register A8: Void (undefined).
25 *
26 * Registers altered: A8
27 *-----
28 * Revision history:
29 * 12/02/86...Original version written.....Mike Asal
30 *-----
31 .title 'draw a line'
32 .file 'remp.asm'
33 .nolist
34 .copy macros.hdr
35 .list
36 ;
37 ;
38 ; DECLARE GLOBAL FUNCTION NAME
39 ;
40 .globl _remp
41 ;
42 ;
43 ; ENTRY POINT
44 ;
45 _remp:
46 MMTM SP,A0,A1,A2,A3,A4,A5,A6,A7,A8,A9,A10,A11,A12,A13
47 MMTM SP,B10,B11,B12,B13,B14
48 * Calculate XY addresses for line start and end points.
49 MOVE *-A14,A0,1 ; Get start x
50 MOVE *-A14,A1,1 ; Get start y
51 SLL 16,A1
52 MOVY A1,A0 ; B2 = (y0,x0)
53 MOVE *-A14,A1,1 ; Get end x
54 MOVE *-A14,A2,1 ; Get end y
55 SLL 16,A2
56 MOVY A2,A1 ; B10 = (y1,x1)
57 * Determine which octant line is in, and set up accordingly.
58 MOVE *-A14,A2,1
59 MOVE A2,B10
60 MOVI >00000002,B12

```

```

61      MOVE     A1,A13
62      CLR      A2
63      MOVI     >0028,A2
64      MOVNB   A2,@>C00000B8
65      CLR      A2
66      SUBXY   A0,A1          ; B10 = (y1-y0,x1-x0) = (b,a)
67      JRNZ    a1
68      JRNN    a1
69      MOVE    *-A14,A2,1
70      SUBK    1,A2
71      JRZ     fin
72      JRUC    label10
73 a1:      JRNC    bpos
74          JRNV   bneg_apos
75 bneg_aneq: SUBXY   A1,A2          ; B7 = (|b|,|a|)
76          MOVI   >FFFFFFFE,A3      ; B11 = (-1,-1)
77          JRUC   cmp_b_a
78 bneg_apos: SUBXY   A1,A2
79          MOVX   A1,A2          ; B7 = (|b|,|a|)
80          MOVI   >FFFE0002,A3      ; B11 = (-1,1)
81          JRUC   cmp_b_a
82 bpos:      JRXNN   bpos_apos
83 bpos_aneq: SUBXY   A1,A2
84          MOVY   A1,A2          ; B7 = (|b|,|a|)
85          MOVI   >0002FFFE,A3      ; B11 = (1,-1)
86          JRUC   cmp_b_a
87 bpos_apos: MOVE    A1,A2          ; B7 = (|b|,|a|)
88          MOVI   >00020002,A3      ; B11 = (1,1)
89 cmp_b_a:   CLR      A4
90          MOVE   A2,A5
91          SRL    16,A5          ; B0 = b
92          CLR    A1
93          MOVX   A2,A1          ; B10 = a
94          CMP    A5,A1
95          JRGT   a_ge_b
96 a_lt_b:   MOVE    A5,A1
97          MOVX   A2,A5
98          RL     16,A2          ; a and b swapped
99          MOVY   A3,A4
100         SLL    1,A5
101         SUB    A1,A5          ; B0 = 2b - a
102         JRUC   label10
103 * If drawing in +Y direction, use LINE 0. Otherwise, use LINE 1.
104 a_ge_b:   MOVX   A3,A4
105         SLL    1,A5
106         SUB    A1,A5          ; B0 = 2b - a
107 label10:  SRL    1,A1
108         ADDK   1,A1
109         CLR    A6
110         MOVY   A2,A7
111         SRL    16,A7
112         MOVE   A7,A9
113         SLL    1,A7
114         MOVX   A2,A6
115         SLL    1,A6
116         NEG    A6
117         ADD    A7,A6
118         MOVE   A6,A8
119         SRA    1,A8
120         MOVE   A5,A10

```

```
121      SRA      1,A10
122      BTST    0,A5
123      JRZ     label1
124      BTST    31,A5
125      JRZ     label1
126      SUBK    1,A10
127 label1:    CLR     A12
128          MOVE  *-A14,A2,1
129          CLR     A5
130          MOVX  A4,A5
131          MOVE  A5,A5
132          JRNZ  label2
133          SUBK  1,A2
134          JRZ   label3
135          SUBK  1,A2
136          JRNZ  label4
137          MOVE  A8,A11
138          SUB   A9,A11
139          ADD   A11,A10
140          BTST  15,A3
141          JRZ   label25
142          MOVK  1,A12
143          SLL   16,A12
144 label25:  MOVX  A3,A12
145          SRA   1,A12
146          ADDXY A12,A0
147          JRUC  label3
148 label4:  SUBK  1,A2
149          JRNZ  label5
150          ADD   A9,A10
151          MOVY  A3,A12
152          SRA   1,A12
153          ADDXY A12,A0
154          JRUC  label3
155 label5:  ADD   A8,A10
156          MOVE  A3,A12
157          BTST  15,A3
158          JRZ   label26
159          ORI   >00010000,A12
160 label26: SRA   1,A12
161          ADDXY A12,A0
162          JRUC  label3
163 label2:  SUBK  1,A2
164          JRZ   label3
165          SUBK  1,A2
166          JRNZ  label6
167          ADD   A9,A10
168          BTST  15,A3
169          JRZ   label27
170          MOVK  1,A12
171          SLL   16,A12
172 label27: MOVX  A3,A12
173          SRA   1,A12
174          ADDXY A12,A0
175          JRUC  label3
176 label6:  SUBK  1,A2
177          JRNZ  label5
178          MOVE  A8,A11
179          SUB   A9,A11
180          ADD   A11,A10
```

```
181      MOVY    A3,A12
182      SRA     1,A12
183      ADDXY   A12,A0
184 label3:    CLR     A5
185      CMPI    0,A1
186      JRLE   label10
187 label18:  CLR     A11
188      CLR     A12
189      MOVX   A4,A11
190      MOVE   A11,A11
191      JRZ    label7
192      BTST   15,A11
193      JRNZ   label8
194      CLR     A11
195      MOVX   A0,A11
196      MOVX   A13,A12
197      CMP    A12,A11
198      JRLE   label9
199      JRUC   label10
200      CLR     A11
201 label8:   MOVX   A0,A11
202      MOVX   A13,A12
203      CMP    A11,A12
204      JRLE   label9
205      JRUC   label10
206 label7:   CLR     A11
207      MOVY   A4,A11
208      MOVE   A11,A11
209      JRN    label11
210      CLR     A11
211      MOVY   A0,A11
212      MOVY   A13,A12
213      CMP    A12,A11
214      JRLE   label9
215      JRUC   label10
216      CLR     A11
217 label11:  MOVY   A0,A11
218      MOVY   A13,A12
219      CMP    A11,A12
220      JRLE   label9
221      JRUC   label10
222 label9:   CMPI    0,A10
223      JRLT   label13
224      CMP    A8,A10
225      JRLT   label12
226      CMP    A9,A10
227      JRGE   label12
228 label30:  MOVE   A0,B11
229      MOVY   B11,B10
230 label20:  CMP    B10,B11
231      JRGT   label12
232      DRAV   B12,B11
233      JRUC   label20
234 label12:  ADDXY   A3,A0
235      CLR     A5
236 label14:  ADD     A6,A10
237      JRUC   label15
238 label13:  CMP    A8,A10
239      JRLT   label16
240      CMP    A9,A10
```

```
241          JRGE    label16
242 label31:  MOVE    A0,B11
243          MOVY    B11,B10
244 label21:  CMP     B10,B11
245          JRGT    label16
246          DRAV    B12,B11
247          JRUC    label21
248 label16:  ADDXY   A4,A0
249          MOVK    1,A5
250 label17:  ADD     A7,A10
251 label15:  SUBK    1,A1
252          JRNZ    label18
253          JRUC    label10
254 fin:     MOVE    A0,B11
255          MOVY    B11,B10
256 label22:  CMP     B10,B11
257          JRGT    label10
258          DRAV    B12,B11
259          JRUC    label22
260 label10:  MMFM    SP,B10,B11,B12,B13,B14
261          MMFM    SP,A0,A1,A2,A3,A4,A5,A6,A7,A8,A9,A10,A11,A12,A13
262          RETS    2
263          .end
```

```

1
2 *          (c) Copyright 1986, Texas Instruments, Incorporated
3 *-----
4 *----- TMS34010 Graphics Function Library -----
5 *-----
6 * line function
7 *
8 * This version of the function uses the LINE instruction, and will run
9 * only on TMX34010A samples and above (revisions 2.0 and higher).
10 * Another version of line is provided to run on TMX34010
11 * (revision 1.0) samples.
12 *
13 * Draw a line from point (xs,ys) to point (xe,ye) using Bresenham's
14 * algorithm.
15 *
16 * This function is designed to be called from a GSPC program.
17 *-----
18 * Usage:  line(xs, ys, xe, ye);
19 *
20 * Description of the arguments:
21 *   int xs, ys; /* starting line coordinates */
22 *   int xe, ye; /* ending line coordinates  */
23 *
24 * Returned in register A8:  Void (undefined).
25 *
26 * Registers altered:  A8
27 *-----
28 * Revision history:
29 *   12/02/86...Original version written.....Mike Asal
30 *-----
31     .title   'draw a line'
32     .file    'remps.asm'
33     .nolist
34     .copy    macros.hdr
35     .list
36 ;
37 ;
38 ;   DECLARE GLOBAL FUNCTION NAME
39 ;
40     .globl  _remps
41 ;
42 ;
43 ;   ENTRY POINT
44 ;
45 _remps:
46     MMTM    SP,A0,A1,A2,A3,A4,A5,A6,A7,A8,A9,A10,A11,A12,A13
47     MMTM    SP,B10,B11,B12,B13,B14
48 * Calculate XY addresses for line start and end points.
49     MOVE    *-A14,A0,1          ; Get start x
50     MOVE    *-A14,A1,1          ; Get start y
51     SLL     16,A1
52     MOVY    A1,A0                ; B2 = (y0,x0)
53     MOVE    *-A14,A1,1          ; Get end x
54     MOVE    *-A14,A2,1          ; Get end y
55     SLL     16,A2
56     MOVY    A2,A1                ; B10 = (y1,x1)
57 * Determine which octant line is in, and set up accordingly.
58     MOVE    *-A14,A2,1
59     MOVE    A2,B10
60     MOVI    >00000002,B12

```

```

61      MOVE     A1,A13
62      CLR      A2
63      MOVI     >0028,A2
64      MOVB     A2,@>C00000B8
65      CLR      A2
66      SUBXY    A0,A1          ; B10 = (y1-y0,x1-x0) = (b,a)
67      JRNZ     a1
68      JRNN     a1
69      MOVE     *-A14,A2,1
70      SUBK     1,A2
71      JRZ      fin
72      JRUC     label10
73 a1:      JRNC     bpos
74      JRVN     bneg_apos
75 bneg_aneq: SUBXY    A1,A2          ; B7 = (|b|,|a|)
76      MOVI     >FFFEFFFE,A3      ; B11 = (-1,-1)
77      JRUC     cmp_b_a
78 bneg_apos: SUBXY    A1,A2
79      MOVX     A1,A2          ; B7 = (|b|,|a|)
80      MOVI     >FFFE0002,A3      ; B11 = (-1,1)
81      JRUC     cmp_b_a
82 bpos:      JRXNN    bpos_apos
83 bpos_aneq: SUBXY    A1,A2
84      MOVY     A1,A2          ; B7 = (|b|,|a|)
85      MOVI     >0002FFFE,A3      ; B11 = (1,-1)
86      JRUC     cmp_b_a
87 bpos_apos: MOVE     A1,A2          ; B7 = (|b|,|a|)
88      MOVI     >00020002,A3      ; B11 = (1,1)
89 cmp_b_a:   CLR      A4
90      MOVE     A2,A5
91      SRL     16,A5          ; B0 = b
92      CLR      A1
93      MOVX     A2,A1          ; B10 = a
94      CMP     A5,A1
95      JRGT     a_ge_b
96 a_lt_b:   MOVE     A5,A1
97      MOVX     A2,A5
98      RL      16,A2          ; a and b swapped
99      MOVY     A3,A4
100     SLL     1,A5
101     SUB     A1,A5          ; B0 = 2b - a
102     JRUC     label0
103 * If drawing in +Y direction, use LINE 0.  Otherwise, use LINE 1.
104 a_ge_b:   MOVX     A3,A4
105     SLL     1,A5
106     SUB     A1,A5          ; B0 = 2b - a
107 label0:   SRL     1,A1
108     ADDK    1,A1
109     CLR     A6
110     MOVY    A2,A7
111     SRL    16,A7
112     MOVE    A7,A9
113     SLL    1,A7
114     MOVX    A2,A6
115     SLL    1,A6
116     NEG    A6
117     ADD    A7,A6
118     MOVE    A6,A8
119     SRA    1,A8
120     MOVE    A5,A10

```

```
121      SRA      1,A10
122      BTST     0,A5
123      JRZ      label1
124      BTST     31,A5
125      JRZ      label1
126      SUBK     1,A10
127 label1:    CLR      A12
128      MOVE     *-A14,A2,1
129      CLR      A5
130      MOVX     A4,A5
131      MOVE     A5,A5
132      JRNZ     label2
133      SUBK     1,A2
134      JRZ      label3
135      SUBK     1,A2
136      JRNZ     label4
137      MOVE     A8,A11
138      SUB      A9,A11
139      ADD      A11,A10
140      BTST     15,A3
141      JRZ      label25
142      MOVK     1,A12
143      SLL      16,A12
144 label25:   MOVX     A3,A12
145      SRA      1,A12
146      ADDXY    A12,A0
147      JRUC     label3
148 label4:    SUBK     1,A2
149      JRNZ     label5
150      ADD      A9,A10
151      MOVY     A3,A12
152      SRA      1,A12
153      ADDXY    A12,A0
154      JRUC     label3
155 label5:    ADD      A8,A10
156      MOVE     A3,A12
157      BTST     15,A3
158      JRZ      label26
159      ORI      >00010000,A12
160 label26:   SRA      1,A12
161      ADDXY    A12,A0
162      JRUC     label3
163 label2:    SUBK     1,A2
164      JRZ      label3
165      SUBK     1,A2
166      JRNZ     label6
167      ADD      A9,A10
168      BTST     15,A3
169      JRZ      label27
170      MOVK     1,A12
171      SLL      16,A12
172 label27:   MOVX     A3,A12
173      SRA      1,A12
174      ADDXY    A12,A0
175      JRUC     label3
176 label6:    SUBK     1,A2
177      JRNZ     label5
178      MOVE     A8,A11
179      SUB      A9,A11
180      ADD      A11,A10
```



```

181      MOVY      A3,A12
182      SRA       1,A12
183      ADDXY     A12,A0
184 label13:    CLR       A5
185      CMPI      0,A1
186      JRLE     label10
187 label18:    CLR       A11
188      CLR       A12
189      MOVX     A4,A11
190      MOVE     A11,A11
191      JRZ      label7
192      BTST     15,A11
193      JRNZ     label8
194      CLR      A11
195      MOVX     A0,A11
196      MOVX     A13,A12
197      CMP      A12,A11
198      JRLE     label9
199      JRUC     label10
200      CLR      A11
201 label8:     MOVX     A0,A11
202      MOVX     A13,A12
203      CMP      A11,A12
204      JRLE     label9
205      JRUC     label10
206 label7:    CLR      A11
207      MOVY     A4,A11
208      MOVE     A11,A11
209      JRN      label11
210      CLR      A11
211      MOVY     A0,A11
212      MOVY     A13,A12
213      CMP      A12,A11
214      JRLE     label9
215      JRUC     label10
216      CLR      A11
217 label11:   MOVY     A0,A11
218      MOVY     A13,A12
219      CMP      A11,A12
220      JRLE     label9
221      JRUC     label10
222 label9:    CMPI     0,A10
223      JRLT     label13
224      CMP      A8,A10
225      JRLT     label12
226      CMP      A9,A10
227      JRGE     label12
228 label30:   CVXYL    A0,A2
229      MOVE     A2,B14
230      MOVB     *B14,B14
231      MOVE     A0,A2
232      SUBK     1,A2
233      CVXYL    A2,A2
234      MOVE     A2,B13
235      MOVB     *B13,B13
236      CMP      B13,B14
237      JRZ      label12
238      MOVE     A0,B11
239      MOVY     B11,B10
240 label20:   CMP      B10,B11

```

```
241          JRGT      label12
242          DRAV      B12,B11
243          JRUC      label20
244 label12:  ADDXY    A3,A0
245          CLR       A5
246 label14:  ADD      A6,A10
247          JRUC      label15
248 label13:  CMP      A8,A10
249          JRLT     label16
250          CMP      A9,A10
251          JRGE     label16
252 label31:  CVXYL    A0,A2
253          MOVE     A2,B14
254          MOVB     *B14,B14
255          MOVE     A0,A2
256          SUBK     1,A2
257          CVXYL    A2,A2
258          MOVE     A2,B13
259          MOVB     *B13,B13
260          CMP      B13,B14
261          JRZ      label16
262          MOVE     A0,B11
263          MOVY     B11,B10
264 label21:  CMP      B10,B11
265          JRGT     label16
266          DRAV     B12,B11
267          JRUC     label21
268 label16:  ADDXY    A4,A0
269          MOVK     1,A5
270 label17:  ADD      A7,A10
271 label15:  SUBK     1,A1
272          JRNZ     label18
273          JRUC     label10
274 fin:     MOVE     A0,B11
275          MOVY     B11,B10
276 label22:  CMP      B10,B11
277          JRGT     label10
278          DRAV     B12,B11
279          JRUC     label22
280 label10:  MMFM     SP,B10,B11,B12,B13,B14
281          MMFM     SP,A0,A1,A2,A3,A4,A5,A6,A7,A8,A9,A10,A11,A12,A13
282          RETS     2
283          .end
```

## **BIBLIOGRAPHIE**

## BIBLIOGRAPHIE

- \* [AMD 86] - Advanced Micro Device  
"Product description AM95C60 Quad Pixel Dataflow Manager (QPDM)"  
Advanced Micro Device, Avril 1986
  
- \* [AMD 87] - Advanced Micro Device  
"Quad Pixel Dataflow Manager (QPDM) AM95C60"  
Technical Manual Revision B  
Advanced Micro Device, 1987
  
- \* [ANI 87] - Intel  
"82786 Hardware Configuration"  
Application note - Intel - Ap 270, 1987
  
- \* [BRE 65] - J.E. Bresenham  
"Algorithm for computer control of a digital plotter"  
IBM System Journal, Vol. 4, N° 1, 1965
  
- \* [BRE 77] - J.E. Bresenham  
"A linear algorithm for incremental digital display of circular arcs"  
Graphics and image processeing, Vol. 20, N° 2, 1977
  
- \* [BRU 86] - R. BRUSQ  
"Synthèse d'images par lancer de rayon (ray-tracing): la machine Cristal"  
Résultats et perspectives, 2 ème colloque image  
CESTA, 1986, pp. 404 - 410
  
- \* [CAR 86] - R. Carrell and J.R. Killebrew  
"The TMS 34010 Graphics System Processor"  
Graphics Algorithms  
Byte, Décembre 1986
  
- \* [CEI 82] - CEA-EDF-INRIA  
"La réalisation de logiciels graphiques interactifs"  
Collection de la direction des études et recherches d'électricité de France  
Editions Eyrolles, 1982

- \* [CHA 84] - B. Chazelle and J. Incerpi  
 "Triangulating and shape complexity"  
 ACM transactions on graphics, Vol. 13, N° 2, Avril 1984, pp. 135 - 152
  
- \* [CLA 80] - J. CLARK  
 "A vlsi geometric processor for graphics"  
 Computer, Juillet 1980, pp. 59 - 68
  
- \* [CLA 82] - J. CLARK  
 "The geometry engine: a vlsi geometry system for graphics"  
 Computer Graphics, Vol. 16, N° 3, Juillet 1982, pp. 127 - 133
  
- \* [CLE 83] - J.G. Cleary, B. Wyvill, G.M. Birtwistle and R. Vatt  
 "Multiprocessor ray tracing"  
 Technical Report n° 83/128/17, Université of Calgary  
 Alberta, Octobre 1983
  
- \* [COR 78] - V. Cordonnier  
 "Architecture pipeline"  
 Support du cours IRIA sur le traitement parallèle  
 Lille, Mai 1978
  
- \* [COR 81] - V. Cordonnier  
 "The MAP project: an associative processor for speech processing"  
 10 th International Conference on Parallel Processing  
 Bellaire, Michigan, Aout 1981
  
- \* [DIP 84] - M. Dippe and J. Swensen  
 "An adaptive subdivision algorithm and parallel architecture for realistic  
 image synthesis"  
 Computer Graphics, Vol. 18, N° 3, 1984, pp. 149 - 158
  
- \* [DUN 83] - M.R. Dunlavey  
 "Efficient polygon filling algorithms for raster displays"  
 ACM Transactions on Graphic, Vol. 2, N° 4, Octobre 1983
  
- \* [DUR 83] - P. Durif  
 "Etude d'une machine parallèle de synthèse d'images à découpage par  
 objets"  
 Thèse de Docteur de 3 ème cycle, Lille, Décembre 1983

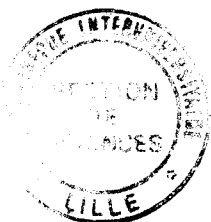
- \* [FAK 83] - E.T. Fathi and M. Krieger  
 "Multiple Microprocessor Systems: What, Why, Who"  
 Computer, Mars 1983
  
- \* [FLY 72] - M.J. Flynn  
 "Some computer organisation and their effectiveness"  
 I.E.E.E. Transactions on Computer, Septembre 1972, pp. 59 - 76
  
- \* [FOU 84] - A. Fournier and D. Montuno  
 "Triangulating simple polygons and equivalent problems"  
 ACM Transactions on Graphic, Vol. 3, N° 2, Avril 1984
  
- \* [FUC 81] - H. Fuchs and J. Poulton  
 "Pixel planes: a vlsi oriented design for raster graphics engine"  
 Vlsi Design, N° 36, 1981, pp. 20 - 28
  
- \* [FUC 88] - H. Fuchs and AL  
 "Pixel planes 4: a summary"  
 Advances in Computer Graphics Hardware II, Springer-Verlag 1988
  
- \* [GOU 80] - H. Gouraud  
 "Continuous shading of curved surfaces"  
 Interactive Computer Graphics, 1980, pp. 302 - 308
  
- \* [HEG 85] - G. Hegron  
 "Synthèse d'images: algorithmes élémentaires"  
 Dunod Informatique, 1985, pp. 20 - 25
  
- \* [HEM 87] - F. Hemery  
 "Etude d'un réseau cellulaire multipipeline - simulation sur transputer  
 en langage OCCAM"  
 Mémoire de D.E.A., Lille, 1987
  
- \* [HER 83] - S. Hertel and K. Melhorn  
 "Fast triangulating of simple polygons"  
 Proceedings of the 1983 International FCT Conférence,  
 Aout 1983, pp. 207 - 218

- \* [HIR 85] - S. Hiroyuki, J. Mitsuo, S. Keiji, I. Morio, J. Hiroaki,  
K. Masandri, H. Katsuhiko and J. Kouichi  
"Fast image generation of constructive solid geometry using a cellular  
array processor"  
Computer Graphics, Vol. 19, N° 3, 1985, pp. 95 - 102
- \* [INT 87] - Intel  
"82786 Chmos Graphics Processor"  
Advance Information - Intel - 1987
- \* [LAN 83] - J.M. Lane  
"An algorithm for filling regions on graphics display devices"  
ACM Transactions on Graphics, Vol. 2, N° 3, Juillet 1983
- \* [LEP 86] - E. Lepretre, M. Mériaux et A. Atamenia  
"A transputer based architecture for graphics"  
7 th OCCAM Users Group Workshop, 1986
- \* [LEP 88] - E. Lepretre et M. Mériaux  
"Line drawing algorithms for cellular parallel machines"  
Publication n° 63, USTLFA, Avril 1988
- \* [LEP 89] - E. Lepretre  
"Algorithms parallèles et architectures cellulaires pour la synthèse  
d'images"  
Thèse de Docteur en Informatique, Lille, Juin 1989
- \* [LOC 80] - M. Loceff  
"The line"  
Computer, Juin 1980, pp. 57
- \* [LUC 77] - M. Lucas  
"Contribution à l'étude des techniques de communication graphique avec un  
ordinateur"  
Thèse d'état IMAG, 1977
- \* [LUC 82] - M. Lucas  
"La réalisation de logiciels graphiques interactifs"  
Editions Eyrolles, 1982

- \* [MAR 82] - F. Martinez  
"Vers une approche systématique de la synthèse d'images"  
Thèse d'état INP, Novembre 1982
  
- \* [MAR 84] - F. Martinez  
"La synthèse d'images, concepts logiciels et matériels"  
Editions Editest, 1986
  
- \* [MAR 86] - F. Martinez  
"Comparaison et évaluation des architectures de systèmes de synthèse d'images"  
Revue de CFAO et d'infographie, Vol. 1, N° 1, 1986, pp. 45 - 62
  
- \* [MAZ 88] - G. Mazare  
"Une nouvelle architecture cellulaire pour la reconstruction d'images"  
PIXIM 88, Editions Hermès, Octobre 1988
  
- \* [MER 79] - M. Mériaux  
"Etude et réalisation d'un terminal graphique couleur tridimensionnel fonctionnant par tâches"  
Thèse de Docteur Ingénieur, Lille 1979
  
- \* [MER 84] - M. Mériaux  
"Contribution à l'imagerie informatique: aspects algorithmiques et architecturaux"  
Thèse de Docteur es sciences mathématiques, Lille, Juillet 1984
  
- \* [MMS 87] - Mini-Micro-Systems  
"Gauging the great graphics is race"  
Graphics Chip Technology  
Mini-Micro-Systems, Octobre 1987, pp. 68 - 102
  
- \* [MOR 76] - P. Morvan et M. Lucas  
"Images et ordinateur, introduction à l'infographie interactive"  
Editions Larrousse, Université série informatique, 1976
  
- \* [NEW 81] - W.N. Newman and R.F. Sproull  
"Principles of interactive computer graphics"  
Second Edition, Mac Graw Hill International, 1981



- \* [NIS 83] - H. Nishimura, H. Ohno, T. Kawata, I. Shirakawa and K. Omura  
"LINKS-1: a parallel pipelined multimicro computer system for image creation"  
Proc. of the 10 th symposium on Computer Architecture  
SIGARCH, 1983, pp. 387 - 394
  
- \* [OME 88] - D. Ould Brahim et M. Mériaux  
"Triangularisation de polygones quelconques"  
Publication n° 56, USTLFA, Février 1988
  
- \* [OUL 88] - D. Ould Brahim  
"Etude d'un nouveau modèle de primitive pour la description des images numériques: le macro-pixel"  
Thèse de Docteur Ingénieur, Lille, Septembre 1988
  
- \* [PAV 82] - T. Pavlidis  
"Algorithms for graphics and image processing"  
Springer - Verlag, 1982
  
- \* [PEL 85] - M. Pelerin  
"Synthèse d'images et parallélismes: algorithmes et architectures"  
Thèse de Docteur de 3 ème cycle, Lille, Janvier 1985
  
- \* [PER 88] - B. Peroche et AL  
"La synthèse d'images"  
Hermès traité des nouvelles technologies, 1988
  
- \* [PHO 75] - B.T. Phong  
"Illumination for computer generated pictures"  
Communications ACM, Vol. 18, N° 6, Juin 1975
  
- \* [RED 84] - M. REDJIMI  
"Etude et réalisation d'un système parallèle pour le traitement graphique"  
Thèse de Docteur Ingénieur, Lille, Septembre 1984
  
- \* [TEX 87] - Texas Instruments  
"TMS 34010 Users Guide"  
Texas Instruments, 1987



\* [ULL 83] - M.K. ULLNER  
"Parallel machines for computer graphics"  
Ph.D. Thesis - California Institute of Technology  
Pasadena - California, 1983

**ETUDE D'ARCHITECTURES PARALLELES**  
**A BASE DE**  
**PROCESSEURS GRAPHIQUES SPECIALISES**

Les besoins de performances, en temps d'exécution et capacité de traitement, pour des applications graphiques, font évoluer les systèmes informatiques concernés vers soit des architectures parallèles soit des architectures spécialisées.

Ce travail a pour objectif de définir et d'étudier la parallélisation des processeurs graphiques spécialisés, en tirant avantage des deux aspects. On distingue trois grandes possibilités de parallélisme: découpage géométrique, découpage fonctionnel, et découpage par objet.

Pour chacun de ces découpages, une étude décrit les différentes solutions et compare leurs performances, afin de retenir les meilleures d'entre elles. L'étude prend en compte, à la fois, le parallélisme des processeurs et les fonctions spécifiques résultant de leur spécialisation. Il apparaît que le niveau de parallélisme varie suivant le mode de partage.

**Mots - clés:**

Synthèse d'images, parallélisme, algorithmique graphique, processeur graphique spécialisé, partage objet, partage géométrique.